

STRATEGII DE DETECȚIE A PĂTRUNDERILOR NEAUTORIZATE ÎN SISTEME INFORMATICE

Teză destinată obținerii
titlului științific de doctor inginer
la
Universitatea "Politehnica" din Timișoara
în domeniul INGINERIA SISTEMELOR
de către

Ing. Emanuel Ciprian Sasu

Conducător științific: prof.univ.dr.ing. Octavian Proștean
Referenți științifici: prof.univ.dr.ing. Mihail Abrudean
prof.univ.dr.ing. Valentina Bălaș
prof.univ.dr.ing. Mircea Vlăduțiu

Ziua susținerii tezei: 22.11.2013

Seriile Teze de doctorat ale UPT sunt:

- | | |
|---|--|
| 1. Automatică | 9. Inginerie Mecanică |
| 2. Chimie | 10. Știința Calculatoarelor |
| 3. Energetică | 11. Știința și Ingineria Materialelor |
| 4. Ingineria Chimică | 12. Ingineria sistemelor |
| 5. Inginerie Civilă | 13. Inginerie energetică |
| 6. Inginerie Electrică | 14. Calculatoare și tehnologia informației |
| 7. Inginerie Electronică și Telecomunicații | 15. Ingineria materialelor |
| 8. Inginerie Industrială | 16. Inginerie și Management |

Universitatea „Politehnica” din Timișoara a inițiat seriile de mai sus în scopul diseminării expertizei, cunoștințelor și rezultatelor cercetărilor întreprinse în cadrul școlii doctorale a universității. Seriile conțin, potrivit H.B.Ex.S Nr. 14 / 14.07.2006, tezele de doctorat susținute în universitate începând cu 1 octombrie 2006.

Copyright © Editura Politehnica – Timișoara, 2013

Această publicație este supusă prevederilor legii dreptului de autor. Multiplicarea acestei publicații, în mod integral sau în parte, traducerea, tipărirea, reutilizarea ilustrațiilor, expunerea, radiodifuzarea, reproducerea pe microfilme sau în orice altă formă este permisă numai cu respectarea prevederilor Legii române a dreptului de autor în vigoare și permisiunea pentru utilizare obținută în scris din partea Universității „Politehnica” din Timișoara. Toate încălcările acestor drepturi vor fi penalizate potrivit Legii române a drepturilor de autor.

România, 300159 Timișoara, Bd. Republicii 9,
tel. 0256 403823, fax. 0256 403221
e-mail: editura@edipol.upt.ro

Cuvânt înainte

Teza de doctorat a fost elaborată pe parcursul activității mele în cadrul Departamentului de Automatică și Informatică Aplicată, din cadrul Universității „Politehnica” din Timișoara.

Lucrarea de față se adresează tuturor celor interesați de domeniul securizării rețelelor de calculatoare împotriva pătrunderilor neautorizate. Cercetarea s-a focalizat pe unul dintre posibilele atacuri, și anume cel realizat prin intermediul falsificării adreselor fizice ale interfeței de rețea, numite adrese MAC. Luându-se în considerare tendințele actuale în acest domeniu, teza de față își aduce propria contribuție prin dezvoltarea unei noi metode de detecție a falsificării adreselor MAC, metodă care stabilește identitatea unei stații pe baza unei amprente alcătuite din destinațiile cu care stația comunică în mod constant.

Consider că lucrarea de față reprezintă un suport științific important în cercetările viitoare care au ca subiect detecția adreselor MAC falsificate.

Timișoara, octombrie 2013

Emanuel Ciprian SASU

Alese mulțumiri și profundă recunoștință se cuvin adresate conducătorului de doctorat **prof.dr.ing. Octavian PROȘTEAN** pentru consilierea permanentă și îndrumarea atentă pe tot parcursul realizării lucrării.

Doresc să mulțumesc domnului **prof.dr.ing. Ioan FILIP** și domnului **ș.l.dr.ing. Cristian VAȘAR** pentru sprijinul acordat pe durata stagiului doctoral și pentru sugestiile importante referitoare la elaborarea acestui material.

Mulțumesc, de asemenea domnului **prof.dr.ing. Mihail ABRUDEAN**, doamnei **prof.dr.ing. Valentina BĂLAȘ** și domnului **prof.dr.ing. Mircea VLĂDUȚIU**, în calitate de referenți ai lucrării și domnului **prof.dr.ing. Radu Emil PRECUP** în calitate de președinte al comisiei.

Nu în ultimul rând, doresc să mulțumesc familiei mele pentru suportul și încrederea acordată în toată perioada stagiului doctoral.

Sasu, Emanuel Ciprian

Strategii de detecție a pătrunderilor neautorizate în sisteme informatice

Teze de doctorat ale UPT, Seria 12, Nr. 8, Editura Politehnica, 2013, 124 pagini, 70 figuri, 10 tabele.

ISSN: 2068-7990

ISBN: 978-606-554-730-8

Cuvinte cheie: securitate, adrese MAC, atacuri cibernetice, pătrunderi neautorizate, amprente de trafic validare identitate

Rezumat,

Prin subiectul abordat, teza de doctorat răspunde unor probleme de maximă actualitate privind securizarea rețelelor de calculatoare împotriva pătrunderilor neautorizate, atacuri realizate prin intermediul falsificării adreselor MAC. Luându-se în considerare tendințele actuale, teza își aduce propriile contribuții prin dezvoltarea unei metode noi prin care se detectează pătrunderile neautorizate prin falsificarea adreselor MAC. Metoda se numește „*Destination Traffic Fingerprint*” (DTF) și validează adresele MAC întâlnite în trafic pe baza unei amprente care are în componența sa destinațiile IP cu care stația comunică în mod constant.

Concluzia lucrării este că utilizarea acestei metode de detecție aduce o serie de avantaje importante și oferă o bună recunoaștere a identității adreselor MAC întâlnite în trafic.

CUPRINS

| | |
|---|----|
| Notății și abrevieri..... | 7 |
| Lista de tabele..... | 9 |
| Lista de figuri..... | 10 |
| 1. Introducere..... | 14 |
| 1.1. Oportunitate și obiective..... | 14 |
| 1.2. Prezentarea conținutului lucrării..... | 15 |
| 2. Securizarea rețelelor de calculatoare împotriva pătrunderilor neautorizate..... | 16 |
| 2.1. Necesitatea securizării rețelelor împotriva pătrunderilor neautorizate..... | 16 |
| 2.2. Pătrunderi neautorizate prin falsificarea adreselor MAC..... | 17 |
| 2.3. Abordarea sistemică a detecției adreselor MAC falsificate..... | 18 |
| 2.4. Validarea adreselor MAC prin analizarea unor parametri din cadrul pachetelor..... | 20 |
| 2.4.1 Validarea adreselor MAC prin verificarea ID-ului de VLAN..... | 20 |
| 2.4.2 Validarea adreselor MAC prin verificarea numărului de secvență și a parametrului „interarrival time”..... | 22 |
| 2.4.3 Validarea adreselor MAC prin verificarea parametrului „hop-count”..... | 23 |
| 2.5. Validarea adreselor MAC prin analizarea unor amprente ale echipamentelor wireless | 25 |
| 2.5.1 Validarea adreselor MAC prin verificarea răspunsului echipamentelor wireless la mesaje deformate..... | 25 |
| 2.5.2 Validarea adreselor MAC prin verificarea distribuției frame-urilor de tip „probe request”..... | 25 |
| 2.5.3 Validarea adreselor MAC prin verificarea intensității semnalului recepționat..... | 26 |
| 2.5.4 Validarea adreselor MAC prin verificarea parametrului „clock skew”..... | 27 |
| 2.5.5 Validarea adreselor MAC prin verificarea „Power Hopping”..... | 28 |
| 2.6. O analiză critică a metodelor prezentate, prin prisma răspunsului acestora la anumite situații specifice..... | 29 |
| 2.6.1 Detectarea unui intrus care vine în rețeaua locală, chiar în locul stației autorizate..... | 29 |
| 2.6.2 Limitarea metodelor la rețelele wired sau wireless..... | 30 |
| 2.6.3 Necesitatea instalării unui software pe stația client..... | 32 |
| 2.6.4 Aplicabilitate în absența suprapunerii traficului provenit de la sursa autorizată cu cel provenit de la sursa neautorizată..... | 32 |
| 2.6.5 Aplicabilitate în pofida mobilității stației client, și trecerii acesteia dintr-o subrețea în alta..... | 33 |
| 2.6.6 Aplicabilitate în pofida utilizării de către intrus a unui echipament identic cu cel autorizat..... | 33 |
| 2.6.7 Aplicabilitate pentru echipamente de tip Desktop / Laptop...34 | |
| 2.7. Concluzii..... | 35 |
| 3. Detecția adreselor MAC falsificate prin metoda „Destination Traffic Fingerprint”..... | 36 |
| 3.1. Descrierea generală a metodei..... | 36 |
| 3.2. Domeniul de aplicabilitate al metodei..... | 38 |
| 3.3. Determinarea traficului constant..... | 39 |
| 3.3.1 Procentul de Prezență..... | 40 |

| | |
|---|-----|
| 3.3.1 Procentul de Absență Maximă..... | 52 |
| 3.3.2 Criteriul de prezență pe subintervale egale..... | 53 |
| 3.3.3 Puterea amprente de referință FPW (Fingerprint Power)..... | 53 |
| 3.4. Validarea adreselor MAC. Gradul Global de Recunoaștere ODR (Overall Degree of Recognition)..... | 54 |
| 3.4.1 Calculul standard al gradului global de recunoaștere..... | 55 |
| 3.4.2 Calculul ponderat al gradului global de recunoaștere..... | 57 |
| 3.4.3 Concluzii asupra gradului global de recunoaștere..... | 60 |
| 3.5. Model Matematic pentru descrierea metodei DTF..... | 61 |
| 3.5.1 Definiții și notații..... | 61 |
| 3.5.2 Sistem pentru determinarea amprente de trafic a unei adrese MAC precizate..... | 62 |
| 3.5.3 Sistem pentru validarea unei adrese MAC întâlnite în trafic.. | 65 |
| 3.6. Dezvoltarea unui model Fuzzy pentru determinarea traficului constant..... | 68 |
| 3.6.1 Descrierea sistemului..... | 68 |
| 3.6.2 Structura intrărilor..... | 69 |
| 3.6.3 Structura ieșirii..... | 71 |
| 3.6.4 Definierea regulilor..... | 72 |
| 3.6.5 Utilizarea modelului Fuzzy în determinarea amprente de referință a metodei DTF..... | 73 |
| 3.6.6 Concluzii asupra modelării fuzzy..... | 76 |
| 3.7. Servicii/tehnologii care favorizează utilizarea metodei DTF..... | 77 |
| 3.8. Concluzii..... | 78 |
| 4. Toolbox Software pentru studiul metodei DTF..... | 80 |
| 4.1. Packet Recorder..... | 80 |
| 4.2. Network Detector..... | 81 |
| 4.2.1 Modulul „Network Setup”. Alcătuirea unei pseudo-rețele, formată din înregistrări individuale..... | 81 |
| 4.2.2 Modulul „Fingerprint Generation”. Extragerea amprentelor de trafic..... | 84 |
| 4.2.3 Modulul „Fingerprint Variation Report”..... | 91 |
| 4.2.4 Modulul „Network Simulator”..... | 93 |
| 4.3. Concluzii..... | 95 |
| 5. Rezultate experimentale..... | 96 |
| 5.1. Descrierea testelor..... | 96 |
| 5.2. Rezultate privind variația amprentelor de trafic..... | 98 |
| 5.3. Concluzii..... | 109 |
| 6. Concluzii, contribuții aduse și dezvoltări pentru viitor..... | 110 |
| 6.1. Concluzii finale..... | 110 |
| 6.2. Contribuții originale..... | 114 |
| 6.3. Direcții de cercetare generate de studiile efectuate..... | 116 |
| Bibliografie..... | 117 |
| Anexe | 122 |
| A1 | 122 |

NOTAȚII ȘI ABREVIERI

| | |
|------------------|--|
| AP | Access Point |
| DHCP | Dynamic Host Control Protocol - reprezintă un protocol ce permite atribuirea automată a adresei IP pentru o stație din rețea |
| DIPA | setul format din destinațiile IP aferente amprentei actuale în cadrul metodei DTF |
| DIPR | setul format din destinațiile IP aferente amprentei de referință în cadrul metodei DTF |
| FPW | puterea amprentei de referință în cadrul metodei DTF |
| HCF | reprezintă o metodă de detecție a adreselor MAC falsificate prin filtrare hop-count |
| LP | limita minimă de prezență a unei destinații IP, pentru a putea fi inclusă într-o amprentă de referință |
| LPOS | limita minimă necesară pentru ca o adresă MAC să fie declarată ca posibil validă în cadrul metodei DTF |
| LREC | limita minimă necesară pentru ca o adresă MAC să fie declarată ca validă în cadrul metodei DTF |
| MAC | Media Access Control - adresa interfeței de rețea a unei stații |
| MFPW | valoarea medie a puterii amprentei de referință în cadrul metodei DTF |
| MININTERV | numărul minim de subintervale necesar pentru a admite o destinație IP în amprenta de referință în cadrul metodei DTF |
| NIP | numărul total de adrese din spațiul IPv4 |
| NP | reprezintă un pachet captat din rețea |
| ODR | Overall Degree of Recognition - Gradul Global de Recunoaștere în cadrul metodei DTF |
| PA | procent de absență maximă în cadrul metodei DTF |

| | |
|-------------|--|
| PP | procent de prezență în cadrul metodei DTF |
| RD | gradul de recunoaștere al unei destinații IP în cadrul metodei DTF |
| RFC | reprezintă o publicație a Internet Engineering Task Force cu privire la date tehnice și standarde în Internet |
| RSS | nivelul semnalului wireless recepționat |
| TCP | reprezintă un protocol clasic de comunicare în rețea |
| TDIP | numărul total de destinații IP ce intră în componența amprentei în cadrul metodei DTF |
| TMAC | numărul maxim de minute consecutive, în care nu s-a identificat trafic către destinația IP evaluată, în cadrul metodei DTF |
| TME | numărul total de minute evaluate pentru extragerea amprentei de referință, în cadrul metodei DTF |
| TMP | numărul total de minute în care s-a identificat trafic către o destinație IP, în cadrul metodei DTF |
| TTL | Time-To-Live - este un parametru folosit în cadrul transmiterii informațiilor în rețea |
| TU | reprezintă unitatea de tip pentru care se extrag datele în vederea obținerii amprentei de referință în cadrul metodei DTF |
| UDP | reprezintă un protocol clasic de comunicare în rețea |
| VLAN | reprezintă o rețea virtuală |

LISTA DE TABELE

| | |
|------------|---|
| Tabelul 1 | Exemplu amprentă de trafic |
| Tabelul 2 | Valori pentru procente de prezență în amprenta de referință și cea actuală pentru calculul gradului global de recunoaștere standard |
| Tabelul 3 | Valori pentru procente de prezență în amprenta de referință și cea actuală pentru calculul gradului global de recunoaștere ponderat |
| Tabelul 4 | Răspunsul algoritmilor la situații concrete |
| Tabelul 5 | Vizualizarea suprapunerii sursei autorizate cu cele falsificate |
| Tabelul 6 | Adrese MAC semnificative, identificate în procesul de verificare automată a datelor înregistrate prin Packet Recorder |
| Tabelul 7 | Opriri identificate în perioada evaluată |
| Tabelul 8 | Amprentă de trafic formată din cinci destinații IP cu trafic constant |
| Tabelul 9 | Înregistrări ale programului Packet Recorder pe aproximativ 100 calculatoare |
| Tabelul 10 | Observații generale asupra rezultatelor experimentale |

LISTA DE FIGURI

- Fig. 2.1 Detectarea pătrunderilor neautorizate într-o rețea de calculatoare
- Fig. 2.2 Schemă bloc pentru validarea adreselor MAC
- Fig. 2.3 LANA – Sistem pentru transfer bazat pe autentificare
- Fig. 2.4 Exemplu de structură de rețea în vederea determinării valorii „hop-count”
- Fig. 2.5 Transmiterea pachetelor folosind puteri diferite ale semnalului
- Fig. 3.1 Prezență foarte ridicată pentru destinația 30.24.0.0
- Fig. 3.2 Prezență foarte ridicată pentru destinația 94.176.105.3
- Fig. 3.3 Prezență foarte ridicată pentru destinația 157.130.89.170
- Fig. 3.4 Prezență foarte ridicată pentru destinația 200.4.0.0
- Fig. 3.5 Prezență foarte ridicată pentru destinația 239.192.152.143
- Fig. 3.6 Prezență moderată dar constantă pentru destinația 4.79.0.0
- Fig. 3.7 Prezență moderată dar constantă pentru destinația 193.252.115.186
- Fig. 3.8 Prezență moderată dar constantă pentru destinația 200.13.0.0
- Fig. 3.9 Prezență scăzută dar constantă pentru destinația 65.55.17.39
- Fig. 3.10 Prezență scăzută dar constantă pentru destinația 93.113.235.93
- Fig. 3.11 Prezență scăzută dar constantă pentru destinația 200.46.0.25
- Fig. 3.12 Prezență scăzută dar constantă pentru destinația 239.255.255.250
- Fig. 3.13 Prezență concentrată pe perioadă scurtă pentru destinația 67.195.186.249
- Fig. 3.14 Prezență concentrată pe perioadă scurtă pentru destinația 98.138.26.127
- Fig. 3.15 Prezență concentrată pe perioadă scurtă pentru destinația 212.161.8.3
- Fig. 3.16 Prezență punctuală pentru destinația 109.100.97.47

| | |
|-----------|---|
| Fig. 3.17 | Prezență punctuală pentru destinația 109.227.232.48 |
| Fig. 3.18 | Prezență punctuală pentru destinația 209.85.149.100 |
| Fig. 3.19 | Prezență punctuală pentru destinația 212.233.167.81 |
| Fig. 3.20 | Schema bloc MATLAB pentru determinarea ODR standard pentru o amprentă cu cinci componente |
| Fig. 3.21 | Schema bloc MATLAB pentru determinarea ODR ponderat pentru o amprentă cu cinci componente |
| Fig. 3.22 | Schema bloc a sistemului destinat determinării amprentei de trafic, prin metoda DTF |
| Fig. 3.23 | Schema bloc a sistemului destinat validării unei adrese MAC în timp real, prin metoda DTF |
| Fig. 3.24 | Schema bloc pentru determinarea gradului global de recunoaștere în metoda DTF |
| Fig. 3.25 | Schema bloc pentru validarea unei adrese MAC prin metoda DTF |
| Fig. 3.26 | Sistem Fuzzy pentru determinarea traficului constant |
| Fig. 3.27 | Structura variabilelor de intrare |
| Fig. 3.28 | Structura ieșirii |
| Fig. 3.29 | Reguli pentru generarea valorii de ieșire |
| Fig. 3.30 | Generarea amprentei de referință folosind calculul standard, respectiv modelarea Fuzzy. |
| Fig. 3.31 | Prezență 100% în prima parte a intervalului și 0% în cea de-a doua parte |
| Fig. 3.32 | Perspectiva de suprafață a modelului fuzzy |
| Fig. 3.33 | „Rule Viewer” pentru modelul fuzzy |
| Fig. 4.1 | Captarea pachetelor din rețea cu PacketRecorder |
| Fig. 4.2 | Modulul NetworkSetup |
| Fig. 4.3 | Modulul Fingerprint Generation |
| Fig. 4.4 | Distribuția în timp, a traficului către destinația 224.0.0.1 |
| Fig. 4.5 | Distribuția în timp, a traficului către destinația 40.1.0.0 |

- Fig. 4.6 Distribuția în timp, a traficului către destinația 239.255.255.250
- Fig. 4.7 Distribuția în timp, a traficului către destinația 255.255.255.255
- Fig. 4.8 Distribuția în timp, a traficului către destinația 239.192.152.143
- Fig. 4.9 Variația amprentei de trafic pentru 14 unități de timp
- Fig. 4.10 Variația gradului global de recunoaștere pentru aproximativ 3500 minute
- Fig. 4.11 Modulul Fingerprint Variation Report
- Fig. 4.12 Modulul Network Simulator
- Fig. 5.1 Exemplu de variație a amprentei de trafic
- Fig. 5.2 Exemplu de variație a amprentei de trafic pentru 13TU
- Fig. 5.3 Exemplu de variație a amprentei de trafic pentru 13TU, cu 5 destinații IP
- Fig. 5.4 Exemplu de variație a amprentei de trafic pentru 23TU, cu valori mici ale procentelor de prezență
- Fig. 5.5 Exemplu de variație a amprentei de trafic pentru 23TU, cu valori mici și medii ale procentelor de prezență
- Fig. 5.6 Exemplu de variație a amprentei de trafic cu valori ridicate ale procentelor de prezență
- Fig. 5.7 Exemplu de variație a amprentei de trafic pentru 21TU
- Fig. 5.8 Exemplu de variație a amprentei de trafic cu 2 destinații IP care prezintă trafic constant
- Fig. 5.9 Exemplu de variație a amprentei de trafic pentru 9TU, cu variații mari de la o unitate de timp la alta
- Fig. 5.10 Exemplu de variații puternice ale procentelor de prezență din cadrul amprentei de trafic, de la unitate de timp la alta
- Fig. 5.11 Adresă MAC cu număr mare de destinații care prezintă trafic pe o durată de 23TU, dar cu variații mari ale procentelor de prezență
- Fig. 5.12 Adresă MAC cu număr mare de destinații care prezintă trafic pe o durată de 17TU, cu variații mari ale procentelor de prezență pentru anumite destinații și constant pentru altele
- Fig. 5.13 Adresă MAC cu număr mic de destinații care prezintă trafic pe o

-
- durată de 17TU, dar cu variații mari ale procentelor de prezență
- Fig. 5.14 Adresă MAC cu număr mare de destinații care prezintă trafic pe o durată de 21TU, cu variații mari ale procentelor de prezență pentru anumite destinații și constant pentru altele
- Fig. 5.15 Adresă MAC pentru care destinațiile IP cu variații mari ale procentelor de prezență, se împletesc cu destinații IP cu variații mici
- Fig. 5.16 Structură aparte ce conține două destinații IP cu variații foarte mici și altele cu variații foarte mari
- Fig. 5.17 Variația amprentei de trafic pentru o adresă MAC ce conține număr mare de destinații IP
- Fig. 5.18 Exemplu de variație a amprentei de trafic ce conține suficiente informații pentru identificarea adresei MAC
- Fig. 5.19 Alt exemplu de variație a amprentei de trafic
- Fig. 5.20 Exemplu de variație a amprentei de trafic, cu procente mici de prezență

1. INTRODUCERE

1.1. Oportunitate și obiective.

Teza își propune să aducă o serie de contribuții în domeniul detecției pătrunderilor neautorizate în rețelele de calculatoare. O dată cu dezvoltarea calculatoarelor, a început să apară tot mai frecvent nevoia de comunicare între acestea, pentru a permite transferul de informație și o prelucrare mult mai facilă a datelor. Dacă două sau mai multe calculatoare pot schimba informație între ele, se spune că sunt legate într-o „rețea de calculatoare”. Andrew S. Tanenbaum afirmă în [Tan-03] că *„diferențele dintre colectarea, transportul, stocarea și procesarea informațiilor dispar rapid. Organizații cu sute de birouri sunt răspândite pe o mare arie geografică și se așteaptă să fie capabile oricând să examineze starea oricăruia, printr-o simplă apăsare de buton”*.

Utilizarea rețelelor este astăzi larg răspândită și oferă utilizatorilor o gamă variată de servicii, de la cele mai simple până la servicii extrem de complexe. Problemele de securitate însă cresc pe măsură ce se dezvoltă rețelele de calculatoare [Sar-13], [Chu-12], [Nat-12], [Gao-11], [Del-10], [Gup-10], [Bea-09], [Nis-05]. Unele dintre acestea sunt pur întâmplătoare dar majoritatea sunt intenționate. Cele din urmă sunt cunoscute în literatură ca „atacuri” și au ca scop întreruperea unor servicii, utilizarea neautorizată a unor servicii, sau chiar furtul de informație. Indiferent de cauza atacului, sistemul este afectat negativ într-un grad mai mic sau mare. Aceste efecte sunt nedorite și trebuie detectate cât mai rapid și eliminate pentru ca sistemul distribuit să poată funcționa la parametrii normali.

Una dintre problemele de securitate majore este dată de pătrunderea în sistem a unor utilizatori neautorizați, fie cu scop distructiv, fie pentru a beneficia de anumite facilități pe care le au utilizatorii autorizați. Aceste pătrunderi neautorizate se folosesc de diverse vulnerabilități ale sistemului, care permit accesul unui intrus și validarea lui ca utilizator autorizat.

Oportunitatea lucrării de față este definită în contextul detectării rapide a pătrunderilor neautorizate prin falsificarea adreselor fizice ale interfețelor de rețea, numite MAC (Media Access Control).

Principalele obiective propuse în lucrarea de față sunt următoarele:

- Evaluarea stadiului actual în domeniul pătrunderilor neautorizate în rețelele de calculatoare prin falsificarea adreselor MAC, pentru determinarea gradului de acoperire pe care aceste metode le au în abordarea problemelor concrete apărute în practică.
- Dezvoltarea unei metode noi de detecție a falsificării adreselor MAC, care să valideze o stație prin compararea unei amprente de trafic de referință, stabilită într-o fază inițială de evaluare, cu amprenta actuală identificată în traficul monitorizat.
- Modelarea, implementarea și analizarea fiabilității sistemului de detecție propus.
- Implementarea unui mediu de simulare adecvat problematicii studiate

1.2. Prezentarea conținutului lucrării.

Conținutul lucrării este dezvoltat pe parcursul a șase capitole.

În primul capitol, sunt prezentate principalele obiective și modul în care acestea determină structurarea lucrării.

Capitolul 2 parcurge stadiul actual de dezvoltare a metodelor de detecție a pătrunderilor neautorizate prin falsificarea adreselor fizice ale interfețelor de rețea (adresele MAC). Se prezintă o analiză critică a metodelor evaluate, prin prisma răspunsului acestora la diverse situații specifice.

În capitolul 3 se dezvoltă o metodă originală de detecție a adreselor MAC falsificate, numită „*Destination Traffic Fingerprint*” (DTF). Se demarează cu o descriere generală a metodei, și stabilirea domeniului de aplicabilitate al acesteia. Se prezintă o serie de parametri care au fost introduși cu scopul de a fi folosiți în procesul de determinare a traficului constant. În continuare se dezvoltă procesul de determinare al Gradului Global de Recunoaștere pentru o adresă MAC, analizând comparativ varianta de calcul standard cu varianta de calcul ponderat. Este realizată o modelare matematică a determinării amprentei de referință și validarea acesteia în timp real. Modelarea Fuzzy este abordată în contextul determinării traficului constant, punându-se în evidență avantajele pe care le aduce în procesul determinării amprentei de referință. Capitolul se încheie cu prezentarea unor servicii și tehnologii, care favorizează utilizarea metodei DTF în practică.

În capitolul 4 se prezintă Toolbox-ul Software care a fost conceput pentru studiul metodei DTF. Este alcătuit în esență din două aplicații software realizate de către autor pentru captarea pachetelor de date din rețea și prelucrarea lor în vederea aplicării metodei DTF. Aplicațiile permit vizualizarea modului de lucru, începând cu faza de extragere a amprentei de referință și până la validarea acesteia în timp real pe baza unor module de simulare.

În capitolul 5 se prezintă rezultatele obținute în urma unor experimente care au avut ca scop demonstrarea aplicabilității metodei DTF. În prima parte sunt descrise caracteristicile experimentului și motivația alegerii cadrului de evaluare. În partea a doua sunt prezentate rezultatele experimentale cu privire la variația în timp a amprentelor de trafic, demonstrând faptul că există destinații IP care sunt prezente în traficul unei stații pe durate lungi de timp, și care pot forma în felul acesta o amprentă a stației, utilă în procesul de validare. Ultima parte prezintă câteva concluzii în urma experimentului realizat.

În finalul lucrării sunt prezentate concluziile, contribuțiile personale și câteva dintre direcțiile de cercetare generate de studiile efectuate. Teza se întinde pe 122 pagini, conține 70 figuri, 10 tabele și 93 referințe bibliografice. Validarea contribuțiilor s-a realizat prin publicarea a 7 lucrări științifice, la care autorul tezei este prim autor, după cum urmează:

- 3 lucrări publicate în volumele unor conferințe indexate ISI Proceedings
- 4 lucrări publicate în volumele unor conferințe indexate BDI

2. SECURIZAREA REȚELELOR DE CALCULATOARE ÎMPOTRIVA PĂTRUNDERILOR NEAUTORIZATE

Capitolul de față abordează câteva aspecte importante din domeniul securizării rețelelor de calculatoare. Se prezintă necesitatea securizării rețelelor și se analizează un caz aparte de securizare împotriva pătrunderilor autorizate prin falsificarea adreselor MAC. Se prezintă o formalizare a detecției adreselor MAC falsificate și o serie de metode actuale, care se aplică în acest context.

La final, se realizează o analiză critică a metodelor prezentate, prin prisma răspunsului acestora la diverse situații concrete. Analiza scoate în evidență atât aspectele „tari” cât și cele „slabe”, oferind o imagine de ansamblu extrem de utilă în vederea înțelegerii modului în care se abordează în momentul de față pătrunderile neautorizate prin falsificarea adreselor MAC.

2.1. Necesitatea securizării rețelelor împotriva pătrunderilor neautorizate.

Într-un sistem distribuit, securitatea comunicării dintre componente este absolut vitală. Funcție de implementarea sistemului distribuit, se pot identifica o serie de probleme care pot afecta securitatea în ansamblul ei. Rețelele de calculatoare reprezintă un mediu de interconectare a modulelor unui sistem distribuit. Problemele de securitate care pot să apară la nivelul unei rețele, sunt foarte diverse, literatura de specialitate abordând pe larg acest domeniu și oferind soluții care pot fi implementate cu succes, în vederea creșterii fiabilității și a gradului de încredere asociat, cum ar fi cele din [Ahm-13], [Kuf-13], [Gau-13], [Yan-11], [Dis-11], [Xin-11], [Bzo-11], [Pop-11], [Dik-10], [Mie-10].

Atacurile sunt frecvente și pot avea consecințe de la cele mai inofensive, până la cele mai grave [Wax-11]. S. Woo și colaboratorii au dezvoltat în [Woo-13] o nouă metodă de detecție a tiparelor folosite în atacuri. Aceste tipare, bazate pe ontologii de comportament, sunt organizate pe ierarhii și reprezintă o nouă direcție de abordare a problemelor de securitate. De asemenea, în [Raz-13], se prezintă cele mai comune amenințări, precum și soluțiile aplicate cel mai frecvent.

Din marea varietate de problematici, lucrarea de față abordează un subdomeniu, și anume accesul neautorizat în sistem. Dacă se face referire la o rețea de calculatoare, accesul neautorizat înseamnă de fapt ca un utilizator, voluntar sau involuntar, să intre în rețea și să acceseze diverse resurse, la care în mod normal, nu ar avea acces. Accesul neautorizat este tratat pe larg în literatură prin diverse lucrări, cum ar fi [Pin-13], [Esw-13], [Zha-12], [Sha-12], [Som-10], [Cor-11], [Xia-10], scopul preocupărilor constând în principal în detectarea cât mai rapidă a pătrunderilor neautorizate, pentru a evita consecințele ce pot deriva din aceste situații.

În [Avi-04], se definește *dependabilitatea* unui sistem ca fiind „*abilitatea de a furniza servicii, care în mod sigur pot fi considerate de încredere*”.

Pentru o rețea de calculatoare, este foarte important să se asigure faptul că utilizatorii rețelei sunt persoane autorizate, demne de încredere. Se definește de asemenea *securitatea* ca fiind „*un compus format din atributele de confidențialitate, integritate și disponibilitate, necesitând existența simultană a disponibilității numai pentru acțiunile autorizate, confidențialității și integrității în sens de autorizare*”. Autorizarea are un rol esențial în securitatea rețelelor de calculatoare.

Problema pătrunderilor neautorizate în sistem se încadrează în categoria atacurilor. Un utilizator extern poate să pătrundă într-un sistem restricționat, fie pentru a produce pagube voite, fie pentru a beneficia de anumite drepturi pe care le au utilizatorii autorizați. De exemplu, se poate ca un utilizator să introducă în rețeaua companiei la care lucrează, laptop-ul personal, doar pentru a beneficia de o conexiune Internet de viteză foarte mare sau de alte servicii oferite. Astfel de utilizatori nu vor distruge informații, dar pot afecta utilizarea lățimii de bandă. Cele mai mari probleme apar atunci când din rea intenție se încearcă să se pătrundă în sistem pentru a determina pagube. Dar, fie că este vorba de o categorie sau alta, sistemul nu trebuie să permită astfel de „spargeri” ale securității sale.

Sunt multe variante prin care se poate încerca pătrunderea neautorizată. Lucrarea de față se ocupă în continuare de unul din acestea, și anume falsificarea adreselor MAC. Aceste adrese, unice pentru fiecare placă de rețea, pot fi utilizate pentru autorizarea sau respingerea cererilor de acces. Dar, datorită faptului că un echipament poate falsifica adresa MAC, este posibil ca un utilizator să intre în sistem, dându-se drept o stație autorizată. Orice vulnerabilitate este exploatată, ca de exemplu cadrele de tip „beacon” în rețelele wireless, după cum reiese și din [Mar-08]. Literatura oferă o serie de soluții pentru detectarea adreselor MAC falsificate, fiecare din ele având avantajele și dezavantajele ei. În ceea ce urmează, se va prezenta o abordare originală, care completează spectrul soluțiilor oferite în domeniul detecției pătrunderii neautorizate într-o rețea de calculatoare.

2.2. Pătrunderi neautorizate prin falsificarea adreselor MAC.

O variantă clasică de detectare a pătrunderilor neautorizate are la bază un software de monitorizare a traficului, care verifică tot traficul și adresele MAC folosite pentru transferul de informație. Orice flux determinat de o adresă MAC regăsită în tabelul cu adresele autorizate, este încadrat ca trafic autorizat. Dar, în momentul în care se sesizează prezența unui trafic care are la bază o adresă MAC neautorizată, software-ul de monitorizare va anunța detectarea unui intrus și va trece la etapa de localizare și eliminare a intrusului.

Problema este că un intrus rău intenționat, poate să dețină un grad ridicat de calificare în domeniul IT și poate încerca să simuleze că ar fi o stație autorizată, prin simpla clonare a adresei MAC a unui calculator autorizat. Fenomenul acesta, cunoscut în literatură sub numele de „*spoofed MAC addresses*” este și azi supus cercetărilor și diverse metode au fost propuse pentru rezolvare.

În literatură au apărut o serie de metode prin care se încearcă o cât mai bună identificare a falsificării adreselor MAC [Chu-12], [Oht-11], [Nag-10], [Gao-10], [Ara-10], [Jan-10], [Goe-09], [Ban-08], [Bra-08], [Bri-08], [Loh-08], [Wan-07], [Lig-06]. Unele dintre acestea se aplică în contexte particulare, cu ar fi metoda

prezentată în [Pua-11] pentru servere Egress NAC, dar în esență, ele s-ar putea împărți în două categorii.

Prima categorie de metode extrage pachetele care circulă printr-un punct al rețelei și urmărește anumiți parametrii din cadrul acestora. Acești parametrii sunt verificați prin prisma anumitor reguli iar încadrarea, sau neîncadrarea lor în rezultatele așteptate, reprezintă un indicator cu privire la validitatea sau falsitatea adreselor MAC.

Cea de-a doua categorie se aplică în mod particular rețelelor wireless. Algoritmii caută să determine anumite semnături pe care echipamente le păstrează în timpul funcționării. Apariția unui trafic care provine de la o sursă a cărei semnătură este diferită de cea așteptată, este un indicator cu privire la falsificarea adreselor MAC. Folosind transformări ale semnalului, se extrag caracteristicile de frecvență ale semnalului pentru diferite contexte date. Ulterior se compară semnalul actual cu cel de referință. Seriile Fourier sunt utilizate des în acest context pentru a evidenția cazurile în care apar atacatorii, văzuți ca surse multiple. Alte metode încearcă determinarea anumitor amprente ale semnalului [Lan-12], [Jan-10], [Ara-10], [Gao-10], [Edm-09], [Cha-09], [Loh-08], [Bra-08], [Bri-08], [Jan-08], [She-08].

În cele ce urmează, se realizează o formalizare a detecției pătrunderilor neautorizate prin falsificarea adreselor MAC și se vor considera câteva din cele mai importante metode, care se adresează concret aspectelor prezentate anterior. Metodele au fost alese astfel încât să confere o imagine de ansamblu asupra abordării actuale a subiectului.

2.3. Abordarea sistemică a detecției adreselor MAC falsificate.

Abordarea sistemică presupune formalizarea problematicii studiate, în contextul dependenței cauză-efect. În acest context, se definesc în primul rând datele problemei:

- se dispune de o rețea de calculatoare;
- accesul în rețea nu este permis decât unor stații autorizate;
- se cere o monitorizare permanentă a traficului din rețea, pentru detectarea rapidă a încercărilor de pătrundere neautorizată.

Pentru a detecta pătrunderile neautorizate, este necesar ca în rețea să existe un modul de monitorizare, care să semnaleze eventualele atacuri. În Fig. 2.1 este reprezentată structura unui astfel de modul.

Traficul este captat și trimis ca intrare către un subansamblu de validare a adreselor MAC identificate în trafic. Validarea însă, necesită o bază de date de unde să se obțină informații relevante în procesul de validare.

O implementare simplă a unei astfel de validări, se poate face pe baza unui tabel cu adresele MAC autorizate. Orice adresă care nu se regăsește în baza de date, este imediat semnalată la exterior. Algoritmii sunt simpli, rapidi, dar din păcate nu este eficient, tocmai datorită posibilității de falsificare a adreselor MAC.

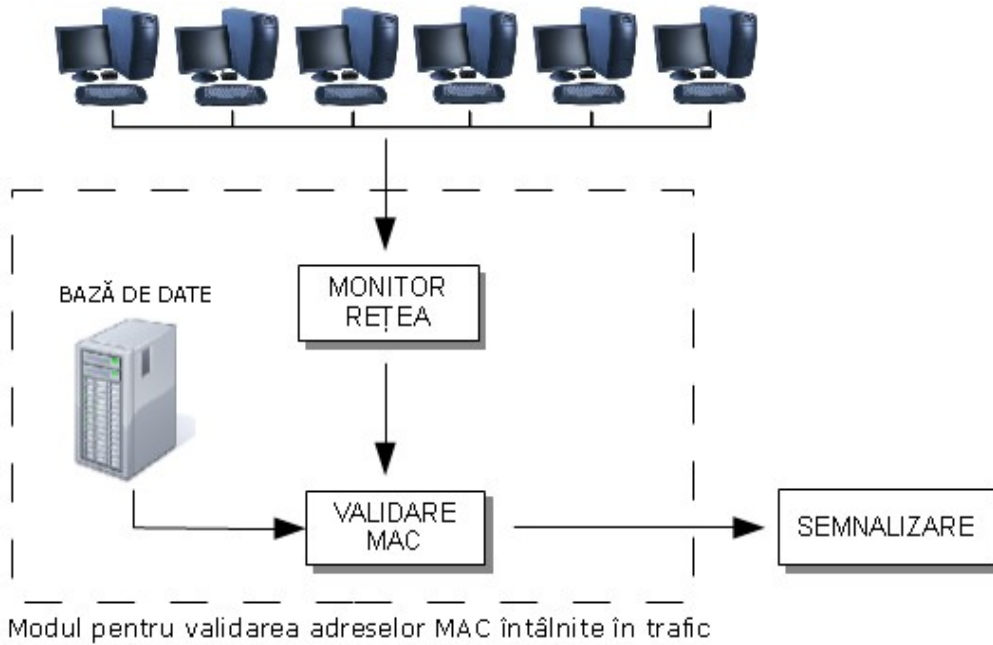


Fig. 2.1 Detectarea pătrunderilor neautorizate într-o rețea de calculatoare

Structura reprezentată în Fig. 2.1 se poate transpune într-o schemă bloc sistemică, reprezentată la rândul ei în Fig. 2.2:

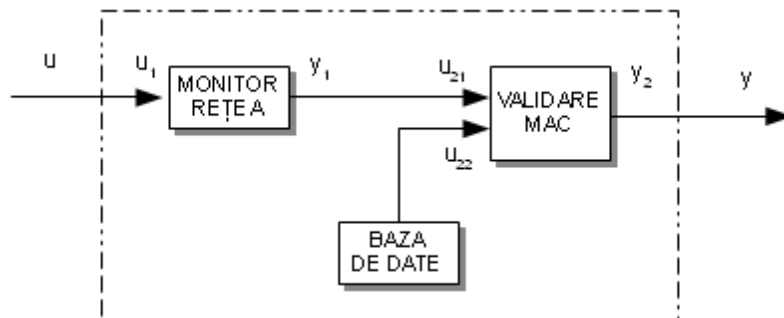


Fig. 2.2 Schemă bloc pentru validarea adreselor MAC

Modulul de validare poate fi descris prin intermediul unei „cutii negre”, având intrarea „ $u(t)$ ” și ieșirea „ $y(t)$ ” (Fig. 2.2).

Ca *intrare* se va considera lista pachetelor captate în rețea la un moment de timp „ t ”. Astfel, intrarea poate fi descrisă printr-o relație de forma:

$$u(t) = M_p \{ P_k | k - \text{variabil}, \text{ funcție de } t \} \quad (1)$$

unde „ M_p ” reprezintă mulțimea tuturor pachetelor captate în rețea la momentul de timp „ t ”.

Ieșirea sistemului la momentul de timp „ t ”, este o listă cu toate adresele MAC identificate în trafic, împreună cu rezultatul validării, dat fie de forma „adevărat” / „fals”, fie sub forma unui grad de recunoaștere, ca procent între 0% – 100%. Pentru un nivel mai mare de generalitate, se va considera identificarea pe baza gradului de recunoaștere. În aceste condiții, adresa MAC_k , va avea asociat gradul de recunoaștere G_k , alcătuind astfel o pereche $P_{MAC}(MAC_k, G_k)$.

Ieșirea sistemului se poate atunci descrie matematic după cum urmează:

$$y(t) = M_{MAC} \{ P_{MAC}(MAC_k, G_k) | G_k \in [0, 100] \} \quad (2)$$

Dacă modulul de validare se definește foarte strict, atunci G_k va lua doar valorile 0 și 100. Însă, așa după cum s-a afirmat deja, nu toate metodele vor fi capabile de un răspuns atât de clar.

În această abordare, sistemul poate fi descris printr-o relație de forma:

$$f : M_p \rightarrow M_{MAC} \quad (3)$$

care permite ca pe baza mulțimii de intrare M_p , să se genereze mulțimea M_{MAC} , cât și intrările și ieșirile intermediare notate y_1, u_{21}, u_{22} , care depind de implementarea concretă a modulului de validare.

2.4. Validarea adreselor MAC prin analizarea unor parametrii din cadrul pachetelor.

În cadrul paragrafului sunt analizate câteva metode care identifică adresele MAC falsificate urmărind evoluția unor parametrii care sunt prelevați din cadrul pachetelor de rețea.

2.4.1 Validarea adreselor MAC prin verificarea ID-ului de VLAN.

În [Ish-01], autorii dezvoltă o metodă proprie de control al accesului în rețea, metodă care este utilă chiar și atunci când utilizatorii falsifică adresele IP sau MAC. Domeniul de aplicabilitate are în vedere rețelele publice, unde oricine poate intra cu computerul personal și primește o adresă IP alocată dinamic.

Pentru validarea adreselor MAC, autorii folosesc un detaliu legat de switch-urile care permit crearea de rețele virtuale (VLAN), și anume ID-ul de VLAN pe care switch-ul îl adaugă în frame-uri pentru identificare. Aceste ID-uri nu pot fi controlate de către utilizatori, și în consecință pot fi luate ca element de siguranță în autentificare.

Pentru implementarea metodei, autorii au dezvoltat un sistem numit LANA, prezentat în Fig. 2.3 și care conectează împreună:

- un server de autentificare RADIUS (RFC 21380);
- un server pentru alocarea adreselor IP (server DHCP);
- un filtru de frame-uri;
- un număr oarecare de switch-uri dotate cu facilități de „VLAN tagging”;
- un server care comunică cu serverul de autentificare și controlează filtrul și switch-urile.

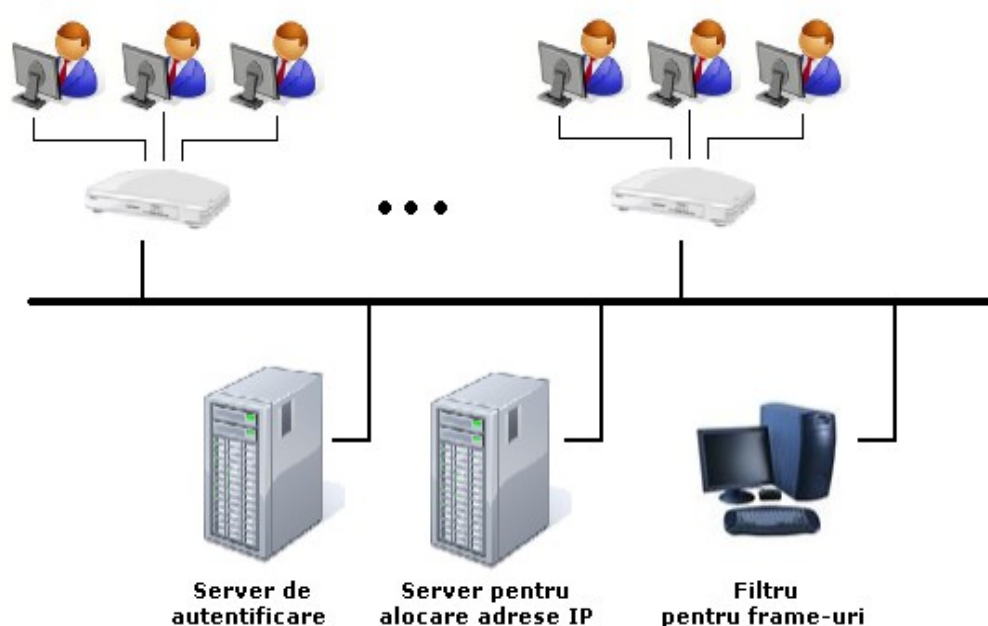


Fig. 2.3 LANA – Sistem pentru transfer bazat pe autentificare

Filtrul permite trecerea doar a frame-urilor care respectă regulile stabilite pe baza adreselor MAC ale sursei și destinației, adreselor de IP ale surselor și a destinațiilor, porturile TCP/UDP ale sursei și destinației și în final identificatorul de VLAN. Aceste înregistrări permit păstrarea unui registru cu privire la activitatea utilizatorilor.

Când un client se conectează în rețea, el comunică direct cu serverul de DHCP pentru a i se alocă o adresă IP. Filtrul monitorizează dialogul și află adresa care i se alocă. Transmite mai departe perechea (adresă IP, adresă MAC) către serverul din rețea. Apoi, serverul va încerca să se conecteze pe o aplicație care ar trebui să fie instalată pe computerul clientului. Dacă această aplicație lipsește, atunci autentificarea este necesară prin alte modalități (cum ar fi acces prin browser). Indiferent de modul de autentificare, după ce aceasta a avut loc, serverul va comunica filtrului o pereche (adresă MAC, adresă IP, ID VLAN) pentru stația

autentificată. Filtrul va permite atunci să treacă toate pachetele care conțin această pereche în interiorul mesajelor.

În urma experimentelor realizate, autorii au dovedit faptul că filtrarea pachetelor necesită o putere de calcul mai mare și caracteristica „network throughput” are de suferit cu proximativ 33%. Pentru testare au folosit utilitarul „Netperf” [NetP].

Concluzii:

Metoda are avantajul faptului că fructifică o idee simplă, legată de identificatorul de VLAN „purtat” de către frame-uri. Acest identificator nu poate fi falsificat de către un atacator, și de aceea folosirea lui permite o bună identificare și validare.

Totuși, metoda descrisă de autori are unele dezavantaje. În primul rând trebuie amintit faptul că este necesară instalarea unei aplicații software pe calculatoarele client, pentru autentificarea stației. Dacă această aplicație lipsește, situația devine și mai dificilă, întrucât se apelează la o metodă „by hand” cu un browser web.

Un al doilea dezavantaj apare atunci când adresa MAC falsificată apare în interiorul aceleiași rețele locale, adică vor folosi același identificator. Se pot face și alte verificări, cum ar fi adresa de IP, dar, în sine, ideea de bază a folosirii identificatorului de VLAN nu are sens decât în rețele locale diferite.

O a treia problemă se poate întâlni în cazul unei rețele wireless, în care există o serie de Access Point-uri. Dacă la un moment dat, stația mobilă trece din zona de acoperire a unui Access Point și intră în zona deservită de altul, sistemul va recepționa o cerere de conectare într-o altă subrețea, folosind un alt identificator de VLAN. Dacă aceste mesaje sunt recepționate chiar înainte de finalizarea procesului de handover, s-ar putea ca pentru un scurt timp, sistemul să considere că a apărut un intrus, ceea ce de fapt nu este adevărat.

În final, metoda devine complicată, necesitând o colaborare continuă între serverele de autentificare și filtru. Chiar autorii afirmă că rețeaua este afectată negativ din punct de vedere al caracteristicii „throughput”, cu aproximativ o treime, ceea ce practic este mult.

2.4.2 Validarea adreselor MAC prin verificarea numărului de secvență și a parametrului „interarrival time”.

În [Liq-06] s-a conceput o metodă de determinare a traficului falsificat, pe baza stabilirii unor reguli sau relații după care traficul este declarat ca normal sau falsificat, într-o modelare matematică adecvată.

Primele reguli stabilite se referă la numerele de secvență, numere care trebuie să urmărească o progresie liniară, crescătoare. Acest număr de secvență este compus din 12 biți și este adăugat în header de către echipamentul de transmisie. La fiecare pachet trimis, numărul de secvență se incrementează cu 1 până când ajunge la 4095, după care se resetează și pornește din nou de la 0. Chiar dacă anumite pachete sunt pierdute, iar numerele lor de secvență vor lipsi, traficul poate fi în continuare recunoscut ca „normal”. Dacă două sau mai multe emițătoare folosesc aceeași adresă MAC, receptorul va putea sesiza faptul că numerele de secvență nu sunt liniar crescătoare ci variază puternic. Chiar dacă atacatorul poate citi numerele de secvență generate de către stația adevărată și își poate ajusta numerele proprii de secvență, receptorul va sesiza duplicate în lista numerelor de

secvență și va interpreta situația tot ca anormală, Folosind un calcul matematic probabilistic, autorii au dovedit că aceste situații pot fi separate în mod evident și se pot trage concluzii valide referitoare la starea traficului. Același mod de abordare este prezentat și în [Wri-03], [Ban-08], [Goe-09]

A doua regulă folosită în detecție se referă la parametrul „interarrival time” pentru pachete. Acest parametru se referă la timpul scurs între două pachete care provin de la aceeași sursă. În mod normal, o sursă va păstra aceleași caracteristici de transmisie, aceeași distribuție, care poate fi măsurată empiric. Dacă există două sau mai multe surse care se dau drept aceeași sursă, distribuția înregistrată va fi diferită. Pe baza unor calcule matematice, se poate stabili gradul de asemănare între cele două distribuții.

Ambele reguli sunt numite „reguli binare” în sensul că oferă doar două rezultate posibile referitoare la atacuri: prezent / absent. Pentru a măsura gradul de severitate al unui atac, nu se mai pot folosi variantele anterioare, ci trebuie utilizată o clasificare „multi-nivel”.

Concluzii:

Metoda este eficientă, autorii demonstrând performanțele ei. Totuși se poate menționa faptul că parametrul „interarrival time” poate suferi modificări destul de semnificative într-o rețea wireless, datorită mediului de propagare și chiar și în rețelele cu fir, congestia va modifica valoarea parametrului. În aceste situații, sistemul de monitorizare și validare a adreselor MAC ar putea semnală în mod eronat traficul care provine de la o sursă autorizată.

De asemenea, numerele de secvență se pot repeta chiar frecvent într-o rețea wireless perturbată de factori externi, cum ar fi vremea, factori care pot duce la pierderea unui mare număr de pachete și implicit la retransmiterea lor. Sistemul poate identifica aceste cazuri ca fiind mai multe surse, ceea ce nu este adevărat.

Problema poate cea mai mare în cazul verificării numărului de secvență, este aceea că numărul de secvență poate fi folosit ca indicator numai dacă stația autorizată funcționează în același timp cu stația intrus. Altfel, numerele de secvență generate de stația intrus vor avea o distribuție normală, și în felul acesta intrusul va trece drept o stație autorizată.

2.4.3 Validarea adreselor MAC prin verificarea parametrului „hop-count”.

[Wan-07] dezvoltă o altă metodă de filtrare a traficului falsificat, pe baza unui contor numit „hop-count”, actualizat de către rutere la fiecare trecere a pachetului printr-un ruter. Este foarte dificil, dacă nu chiar imposibil, ca un atacator să reușească să injecteze un trafic falsificat, dar care să păstreze corect valorile acestui indicator. Mai mult, autorii au identificat faptul că se poate realiza o corespondență între hop-count și câmpul TTL (Time-To-Live) din headerul IP. Pe baza acestor observații, autorii au dezvoltat o metodă numită HCF (Hop-Count-Filtering) care detectează traficul falsificat.

Sistemul conceput, reprezentat intuitiv în Fig. 2.4, are două moduri de lucru. Primul este modul de „învățare”, care nu elimină pachetele ci doar urmărește activitatea din rețea. Doar în momentul în care se detectează pachete falsificate, sistemul trece automat în modul de lucru „filtrare”, mod care va elimina toate pachetele care prezintă contorul „hop-count” cu valoare greșită.

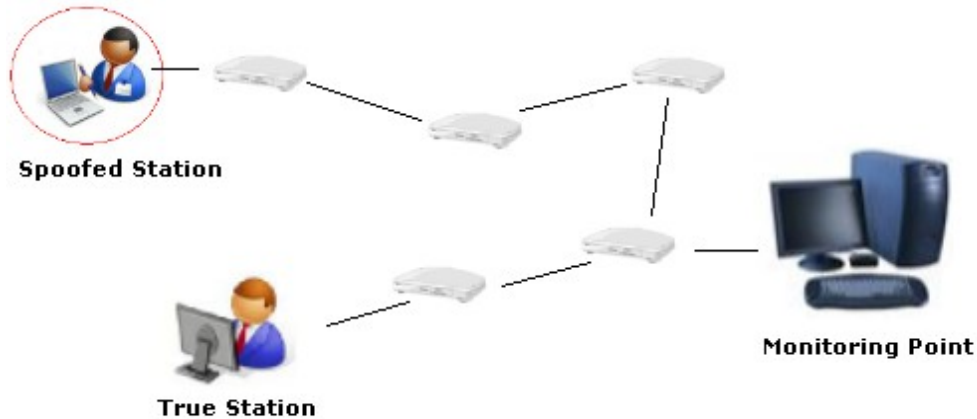


Fig. 2.4 Exemplu de structură de rețea în vederea determinării valorii „hop-count”

Prima problemă pe care autorii au trebuit să o rezolve a fost tocmai determinarea contorului „hop-count”. Acest contor de fapt nu se înregistrează ca o valoare dată în interiorul câmpurilor unui pachet, ci doar s-ar putea deduce din calcule asupra valorii TTL. Această valoare se stabilește inițial la trimiterea pachetului, și fiecare ruter decrementează valoarea. Din păcate, sistemele de operare nu folosesc aceeași valoare inițială, astfel că determinarea contorului „hop-count” poate fi numai aproximativă. Argumentele pe care autorii le aduc vin să dovedească faptul că „distanțele” în Internet de obicei sunt sub 30 de „hop”-uri și datorită acestui aspect, estimează valoarea inițială a valorii TTL ca fiind cea mai mică valoare standard TTL, care totuși este mai mare decât valoarea TTL măsurată la receptor. După stabilirea valorii inițiale se calculează contorul „hop-count” ca diferență dintre valoarea inițială și cea calculată la receptor.

Pe baza înregistrărilor efectuate, se poate păstra un tabel care asociază adresele de IP cu valorile „hop-count” corespunzătoare. Pentru ca atacatorii să nu poată compromite acest tabel, el se actualizează numai pe baza mesajelor „tree-way handshake” din cadrul conexiunilor TCP. Analizând traficul interceptat, se extrage adresa IP și valoarea TTL din fiecare packet și se calculează contorul „hop-count”, care mai apoi este comparat cu indicatorul disponibil în tabel. Dacă valoarea calculată diferă de cea înregistrată, pachetul este declarat ca falsificat.

Valorile TTL sunt folosite și în alte abordări cu scopul de a determina traficul falsificat, cum ar fi de exemplu [Oht-11] și [Moh-10].

Concluzii:

Metoda este eficientă, totuși, rămâne problema dată de necunoașterea exactă a valorii TTL. Aproximarea ei poate duce la semnale false, mai ales atunci când vorbim de o stație mobilă, care se deplasează și schimbă Access Point-ul.

2.5. Validarea adreselor MAC prin analizarea unor amprente ale echipamentelor wireless.

Paragraful consideră o altă categorie de metode de detecție a adreselor MAC falsificate, categorie care se aplică strict echipamentelor wireless, și care încearcă să determine identitatea echipamentului, pe baza unei amprente. În literatură, subiectul este tratat printr-o serie de articole, cum ar fi [Lan-12], [Jan-10], [Ara-10], [Gao-10], [Edm-09], [Cha-09], [Loh-08], [Bra-08], [Bri-08], [Jan-08], [She-08]. Se vor prezenta modelele de amprentare wireless, analizându-se comparativ avantajele și dezavantajele pe care le conferă.

2.5.1 Validarea adreselor MAC prin verificarea răspunsului echipamentelor wireless la mesaje deformate.

În [Bra-08] se demonstrează că se poate extrage o amprentă a echipamentelor wireless, amprentă care poate fi utilizată ulterior în a determina eventualele încercări de falsificare a lor. Această amprentă este extrasă folosind răspunsul pe care echipamentele îl dau la diverse mesaje deformate (alterate). La baza metodei stă observația că diferite implementări ale standardului 802.11b/g [STD-802.11] vor reacționa diferit la evenimente care deviază de la formatul standard.

Testarea comportamentului echipamentelor în cazuri „deviate de la normal” implică de exemplu:

- setarea sau resetarea unor biți în contexte în care aceștia se așteaptă să aibă o anumită valoare dată;
- cereri care nu ar trebui să fie fragmentate și care totuși sunt trimise în felul acesta;
- frame-uri care ar trebui să conțină anumite informații, dar acestea lipsesc;
- frame-uri care nu ar trebui să conțină anumite câmpuri, dar care totuși există;

Sistemul implementat de către autori utilizează două platforme, una „de scanare”, care se ocupă de trimiterea frame-urilor folosite în teste și o platformă de monitorizare a răspunsurilor.

Concluzii:

Metoda permite caracterizarea unor echipamente wireless, neapărat a unor stații din rețea, identice, și din care numai una este autorizată. Din acest motiv, nu se poate aplica în cazul detectării adreselor MAC falsificate, mai ales dacă adresa MAC adevărată și cea falsă au apărut în aceeași rețea locală.

2.5.2 Validarea adreselor MAC prin verificarea distribuției frame-urilor de tip „probe request”.

Autorii din [Loh-08] își aduc propria contribuție la subiectul discutat, printr-o metodă care crează o amprentă de identificare a echipamentelor wireless.

Identificarea se face pe baza unui grup de informații: echipament wireless, driver-ul plăcii de rețea wireless și sistemul de operare. Metoda se folosește de o analiză a frame-urilor de tip „probe request”. Aceste frame-uri sunt folosite de către stații pentru a se conecta la un Acces Point. În mod normal, acestea ar trebui să respecte o anumită ciclicitate. Funcție de driverul interfeței de rețea, intervalele acestea sunt diferite. Dar, studiile autorilor au demonstrat faptul că intervalele de timp sunt influențate și de sistemul de operare și de mașina pe care rulează.

Prima fază este cea de captare a traficului. În această fază sunt colectate frame-urile de tip „probe request” emise de către stațiile client. A doua fază va genera amprenta folosind datele înregistrate. În final, pe baza amprentelor generate se verifică traficul.

Concluzii:

Metoda are două dezavantaje principale. Primul este dat de faptul că poate fi aplicată numai în rețelele wireless, iar al doilea constă în aceea că, dacă există două echipamente fabricate identic și pe care s-a instalat aceeași versiune a sistemului de operare, amprenta lor va fi identică, ceea ce face imposibilă deosebirea lor în traficul captat din rețea.

2.5.3 Validarea adreselor MAC prin verificarea intensității semnalului recepționat.

În [She-08] se dezvoltă o metodă de detecție a pachetelor falsificate, bazată pe nivelul de semnal recepționat. Deși s-a considerat pentru mult timp că distribuțiile puterii semnalului recepționat (RSS) sunt de tip Gaussian, autorii demonstrează că acest lucru nu este totdeauna adevărat. În plus, ținând cont de caracteristica „antena diversity” prin care un emițător dispune de 2 sau chiar mai multe antene, autorii au stabilit o ipoteză prin care mostrele RSS extrase pentru o pereche de antene, din care una este pentru transmisie iar cealaltă este pentru recepție, luate împreună, urmăresc o distribuție Gaussiană. Caracterizarea tiparelor RSS este realizată cu ajutorul modelelor GMM (Gaussian Mixture Models), care sunt de fapt o combinație ponderată a mai multor distribuții Gaussiene. Autorii realizează un profil GMM pentru fiecare pereche de antene ce aparțin unui emițător. Acest profil poate fi actualizat periodic, colectând mostrele RSS.

În [Cha-09] se prezintă o altă metodă care se aplică tot domeniului wireless. Ideea care stă la baza algoritmului conceput de autori se referă tot la măsurarea nivelului de semnal RSSI (Received Signal Strength Indicator), dar combinat și cu alți factori. Acest nivel de semnal al pachetelor transferate prin mediul wireless poate fi măsurat în mai multe puncte, și pe baza măsurărilor, se poate alcătui o amprentă de trafic, care ține cont de următorul grup de informații: adresa MAC a emițătorului, numărul de secvență MAC, tipul pachetului și momentul recepției. Pentru realizarea unei amprente „per pachet” este necesar ca primele trei informații menționate mai sus să fie identice, iar momentele recepției să fie „suficient de apropiate”. Aplicând tehnici specifice, se poate obține o localizare a surselor care au trimis pachetele. Urmărind distanța euclidiană dintre pachetele care se presupune că aparțin aceleiași surse, ar trebui să găsite diferențe mari pentru situația în care există surse multiple (care se dau drept aceeași sursă). Dacă însă atacatorul este localizat la o distanță foarte mică de victimă, metoda nu va da randament întrucât va considera cele două surse ca fiind de fapt una singură.

Modul de detecție parcurge mai multe verificări. Este posibil ca identificarea să se realizeze în anumite cazuri chiar în primele faze, dar pentru alte situații, este necesară parcurgerea întregului algoritm.

Algoritmul propus de autori respectă următorii pași:

- se extrag numerele de secvență din pachete și se caută să se observe dacă acestea au o progresie lineară sau nu;
- se verifică dacă numerele de secvență cresc în mod linear, caz în care se trage concluzia că nu este vorba de un atac. În caz contrar, chiar dacă numerele de secvență nu sunt absolut linear crescătoare, totuși se încearcă să se observe dacă nu cumva diferențele se încadrează în limitele stabilite. Aceste limite au în vedere cazurile de retransmisii. Dacă testul dovedește încadrarea în limite, algoritmul realizează absența atacului;
- în caz contrar, următorul pas verifică tipul pachetelor înregistrate. Pentru pachete de tip „management” sau „regular data frames”, numerele de secvență trebuie să respecte creșterea lineară. În caz contrar, algoritmul identifică prezența unui atac;
- dacă pachetele nu sunt „management” sau „regular data”, algoritmul ia în calcul „QoS priorities”. Dacă acestea sunt identice, este vorba de un atac;
- dacă nu sunt identice, următorul pas aplică algoritmi de localizare pentru pachetele interceptate și calculează distanța Euclidiană. Dacă această distanță depășește limitele stabilite, algoritmul trage concluzia că este vorba de un atac. În caz contrar, este vorba de un trafic normal.

Concluzii:

Metoda nu va detecta situațiile în care atacatorul se află aproape de stația adevărată. În plus, deplasarea rapidă a stațiilor mobile s-ar putea să ducă la semnalizări greșite. Sau, dacă există două echipamente fabricate identic, ele vor produce aceeași amprentă.

2.5.4 Validarea adreselor MAC prin verificarea parametrului „clock skew”.

În [Lan-12], [Ara-10], [Jan-08] și [Jan-10] se prezintă o altă posibilitate de detecție a unor Access Points (AP) falsificate, pe baza parametrului de timp numit „clock skew”. Autorii au observat faptul că acest parametru este constant în timp pentru un Access Point, dar variază foarte mult de la un Access Point la altul. Deși alte abordări care folosesc acest parametru îl calculează din marcajele de timp din TCP/ICMP, [Jan-08] s-au folosit marcajele de timp din cadrul TSF (Time Synchronization Function) din mesajele „beacon / probe response”. Motivația acestei alegeri se referă în primul rând la faptul că aceste frame-uri au o rată mare de transmisie. Pe de altă parte, timpul măsurat prin funcția TSF împarte timpul până la nivelul unei microsecunde. Mai mult, timpul memorat în TSF reprezintă efectiv timpul în care Access Point-ul a trimis frame-ul, spre deosebire de timpul „programat” pentru transmisie, care poate suferi întârzieri.

Calculul efectiv al „clock skew” este realizat prin două metode: LPM (Linear Programming Method) și LSF (Least Square Fitting).

Prima metodă caută să determine o linie care se află deasupra tuturor punctelor care reprezintă offset-urile de timp dintre momentele de transmisie și cele de recepție. Parametrul „clock skew” este de fapt panta acestei drepte.

A doua metodă estimează parametrul tot ca pantă a unei drepte, numai că de data aceasta dreapta este stabilită diferit. Având în vedere că ambele metode sunt aplicabile numai dacă Access Point-ul adevărat și cel fals funcționează la momente de timp diferite, autorii au dezvoltat și o metodă euristică prin care să diferențieze traficul atunci când cele două funcționează simultan.

Concluzii:

Metoda nu poate fi aplicată decât Access Point-urilor, deci nu calculatoarelor care accesează o rețea deservită de un Access Point. Aspectul acesta reprezintă o limitare în sensul că un intrus nu va fi detectat decât dacă încearcă să conecteze în rețea un echipament de tip Access Point.

2.5.5 Validarea adreselor MAC prin verificarea „Power Hopping”.

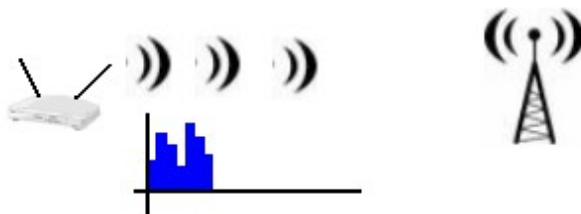


Fig. 2.5 Transmiterea pachetelor folosind puteri diferite ale semnalului

În [Nag-10] s-a propus o nouă metodă pentru detectarea traficului falsificat, ca în Fig. 2.5. Ideea care stă la baza metodei este aceea de a implementa în Access Point un algoritm prin care să accepte pachete numai dacă se încadrează într-un anumit nivel de putere a semnalului.

Întrucât puterea semnalului variază în timp, s-a definit o mulțime P , compusă din totalitatea nivelelor de putere acceptate, cu mențiunea că toate sunt mai mari decât o putere minimă stabilită. Pe baza unei secvențe de numere pseudoaleatoare, generate cu ajutorul unei singure valori „de amestecare”, se pot alege o listă de puteri, din mulțimea P . Metoda este implementată în doi pași: inițializare și „power hop mode”.

Faza de inițializare este reprezentată de o suită de mesaje între Access Point și stația locală:

- AP trimite periodic prin broadcast un „beacon”, care conține nivelul de semnal folosit la transmisie.
- Stația recepționează beacon-ul și înregistrează atât nivelul de semnal calculat la recepție cât și cel înregistrat în beacon.
- Stația trimite o cerere de conexiune către AP.
- După primirea cererii, AP-ul inițiază o conexiune HTTPS cu stația.
- Stația se autentifică pe baza unei parole și comunică prin HTTPS.
- Stația generează o „valoare de amestecare” (seed). Pe baza ei se aleg valori din mulțimea P , valori ce reprezintă puteri cu care AP-ul ar trebui să recepționeze pachetele.
- Valorile sunt recepționate de AP și trimite înapoi un ACK.

A doua fază este cea de filtrare a pachetelor. Pe baza datelor stabilite în faza de inițializare, AP-ul verifică nivelul de semnal primit de la stație în fiecare pachet și îl compară cu nivelul așteptat. Dacă nivelele corespund, se înțelege că este vorba de stația adevărată. Dacă nivelele nu corespund, se înțelege că este vorba de un atac.

Concluzii:

Metoda este complexă, având nevoie de implementări la nivelul protocolului de comunicare wireless. Atât Access Point-urile cât și stațiile trebuie să fie echipate corespunzător pentru a permite metodei să funcționeze.

Puterea semnalului poate fi afectată de mediul de transmisie, ceea ce reprezintă un neajuns al metodei.

2.6. O analiză critică a metodelor prezentate, prin prisma răspunsului acestora la anumite situații specifice.

Tabelul 4 prezintă o analiză comparativă a metodelor discutate anterior, din punct de vedere al modului în care aceste metode pot sau nu pot fi folosite atunci când în practică apar anumite situații particulare. Fiecare metodă are performanțe evidențiate printr-o serie de teste și verificări, însă ceea ce interesează în lucrarea de față este să se analizeze cât de extins sau cât de restrâns este domeniul de aplicabilitate al acestor metode, ținând cont de faptul că în practică se întâlnesc o serie de situații specifice. Tabelul își propune să evidențieze cele mai importante situații particulare, și modul în care metodele descrise anterior, pot gestiona astfel de cazuri.

2.6.1 Detectarea unui intrus care vine în rețeaua locală, chiar în locul stației autorizate.

Aspectul acesta are o importanță deosebit de mare, deoarece de cele mai multe ori se încearcă securizarea rețelelor față de exterior, și nu se pune un accent foarte mare pe posibilitatea ca atacatorul să înceapă să lucreze prin conectare directă în rețeaua locală.

Mai mult, atacatorul s-ar putea să se conecteze chiar în locul stației autorizate. Pentru a-și ascunde cât mai bine identitatea, dacă atacatorul are acces la stația autorizată, atunci ar putea copia adresa MAC, după care să deconecteze din rețeaua stația autorizată și să conecteze un calculator personal.

Cât de bine sunt pregătite metodele de detecție a adreselor MAC falsificate, ca să facă față unor astfel de situații? Ca să se poată răspunde la această întrebare, trebuie luat pe rând fiecare caz în parte. Tabelul 4 sugerează faptul că din cele nouă metode prezentate, cinci sigur nu vor detecta intrusul, iar celelalte patru îl vor detecta numai dacă folosește un dispozitiv diferit de cel autorizat.

Detecția prin ID-ul de VLAN încearcă să urmărească tentativele de pătrundere prin falsificarea adreselor MAC, urmărind ID-ul de VLAN alocat de către switch. Dacă atacatorul este în aceeași rețea, va avea același ID și astfel va trece drept stație autorizată.

Urmărirea numerelor de secvență va conduce la același rezultat. Faptul că atacatorul vine în locul stației autorizate, va determina ca numerele de secvență să aibă o distribuție normală.

Verificarea parametrului „interarrival time” se bazează foarte mult pe echipamentele folosite. În aceste condiții, dacă atacatorul dispune de un calculator identic cu cel autorizat, atunci calculul „interarrival time” va da rezultate identice cu cele ale stației autorizate. Totuși, dacă atacatorul nu dispune de un calculator de același tip, detecția prin „interarrival time” va semnala corespunzător intrusul, întrucât parametrul va fi cu totul diferit de cel al stației autorizate.

Calculul și verificarea contorului „hop-count” nu permite deloc detectarea intrusului. El face parte din rețeaua locală, deci numărul de „salturi” până la punctul de monitorizare rămâne același.

Din cele cinci metode de amprentare wireless, două dintre ele vor ignora complet apariția intrusului. Este vorba despre detecția prin măsurarea nivelului de semnal și „Power Hopping”. Cele două metode identifică o stație după intensitatea cu care se recepționează semnalul într-un punct. Faptul că intrusul vine în locul stației autorizate, înseamnă că nivelul de semnal va corespunde cu cel al stației autorizate. Celelalte trei metode vor semnala corect intrusul, dacă acesta folosește un echipament diferit. În caz contrar, intrusul va trece drept stație autorizată. Rezultatul este eronat deoarece răspunsul la mesaje deformat, parametrul „clock-skew” și „Power Hopping” vor fi identice cu cele ale stației autorizate.

În *concluzie*, apariția unui intrus în rețeaua locală, în locul stației autorizate, reprezintă o reală problemă, care este puțin acoperită prin metodele folosite în prezent. Aspectul acesta conduce la necesitatea dezvoltării unor metode care să permită identificarea unui intrus care folosește adresa MAC a unei stații autorizate, chiar și atunci când reușește să intre în rețeaua locală, în locul stației autorizate.

2.6.2 Limitarea metodelor la rețele wired sau wireless.

Un alt aspect important care trebuie luat în discuție atunci când se consideră în ansamblu metodele analizate, este cel referitor la aplicabilitatea metodelor în orice tip de rețea, sau numai în rețele de un anumit tip (wired sau wireless).

Din Tabelul 4 reiese faptul că cele cinci metode de amprentare wireless nu pot fi aplicate decât în domeniul wireless. Aceasta înseamnă că nu vor putea fi utilizate în contextul rețelelor cu fir.

Metodele care folosesc numerele de secvență, „interarrival time” și „hop-count”, vor putea fi aplicate indiferent de tipul rețelei, ceea ce automat le face să fie general valabile, crescând astfel domeniul de aplicabilitate.

Metoda care ia în calcul ID-ul de VLAN este limitată la rețele care folosesc switch-uri cu VLAN.

În *concluzie*, o serie de metode sunt aplicabile doar în rețelele wireless, ceea ce reduce mult domeniul de utilizare. Totuși ele au o importanță reală, în contextul respectiv, dar pentru o detecție rapidă și eficientă a încercărilor de pătrundere prin falsificarea adreselor MAC, sunt necesare metode care să nu depindă de tipul rețelei, și să poată fi folosite chiar în rețele care conțin atât comunicare wireless cât și comunicare wired.

Tabelul 4 – Răspunsul algoritmilor la problemele concrete

| Caracteristica urmărită | Verificare VLAN ID | Verificare numere secvență | Verificare interarrival time | Verificare „hop-count” | Amprentare wireless prin răspuns la mesaje deformate | Amprentare wireless prin distribuția „probe-request” | Amprentare wireless prin nivelul semnalului recepționat | Amprentare wireless prin parametrul clock-skew | Amprentare wireless prin „Power Hopping” |
|---|--------------------|----------------------------|------------------------------|------------------------|--|--|---|--|--|
| Detectează un intrus care vine în rețeaua locală, în locul stației autorizate. | NU | NU | LIMITAT | NU | LIMITAT | LIMITAT | NU | LIMITAT | NU |
| Suportă orice tip de rețea. | LIMITAT | DA | DA | DA | NU | NU | NU | NU | NU |
| Necesită instalarea unui software pe stația client. | DA | NU | NU | NU | NU | NU | NU | NU | DA |
| Aplicabilă în absența supraunerii traficului de la stația autorizată cu cel provenit de la stația intrus. | NU | NU | LIMITAT | LIMITAT | LIMITAT | LIMITAT | LIMITAT | LIMITAT | LIMITAT |
| Permite stației client să-și schimbe localizarea geografică și să treacă în altă subrețea. | NU | ? | LIMITAT | NU | - | - | - | - | - |
| Aplicabilă chiar dacă intrusul folosește același tip de echipament. | LIMITAT | LIMITAT | LIMITAT | LIMITAT | NU | NU | LIMITAT (dacă poziționarea intrusului este diferită) | NU | DA |
| Aplicabilă pentru computere. | DA | DA | DA | DA | NU | NU | NU | NU | NU |

2.6.3 Necesitatea instalării unui software pe stația client.

O soluție convenabilă atunci când se dorește să creștrea gradului de recunoaștere a unei adrese MAC, este dată de instalarea unui software pe fiecare stație client, software care să fie responsabil de autentificarea și validarea stației în rețea. Dar, abordarea aceasta nu este de dorit, în sensul că necesită o serie de operații pe fiecare stație client. Mai mult, nu în orice situație există permisiunea de a instala programe pe stațiile care trebuie să se conecteze în rețea.

Din metodele discutate, doar două intră în categoria celor care necesită software adițional, și anume verificarea ID-ului de VLAN și amprentarea prin „Power Hopping”.

În *concluzie*, se caută evitarea instalărilor de software adițional, și se preferă metodele care nu necesită un astfel de demers.

2.6.4 Aplicabilitate în absența suprapunerii traficului provenit de la sursa autorizată cu cel provenit de la sursa neautorizată.

Identificarea unui intrus este abordată în anumite situații prin observarea unei devieri în trafic față de comportamentul așteptat, al unei stații care transmite date în rețea. Metodele de acest tip depind în totalitate de suprapunerea, sau nesuprapunerea traficului autorizat cu cel neautorizat. Dacă cel autorizat lipsește, atunci traficul care provine de la o adresă MAC falsificată va fi greșit interpretat ca trafic autorizat.

Din această categorie fac parte metodele care se bazează pe ID-ul de VLAN și numerele de secvență. Acești parametri vor avea o distribuție normală în timp, dacă funcționează numai o singură sursă pentru o adresă MAC. Deși identifică extrem de rapid un intrus, atunci cât traficul produs de acesta se suprapune cu traficul autorizat, metodele nu au eficiența dorită atunci când intrusul lucrează într-o perioadă de timp în care stația validă este oprită.

Parametrul „interarrival time” calculat pentru stația autorizată va fi diferit de cel calculat pentru stația cu adresă MAC falsificată, dacă modelul echipamentului este diferit. Totuși, în situația în care atacatorul poate veni în rețea cu un echipament identic cu cel autorizat, „interarrival time” va conduce la interpretare eronată, întrucât valoarea va corespunde cu cea a echipamentului autorizat.

Metodele de amprentare wireless nu sunt afectate negativ de absența suprapunerii traficului de la cele două surse. Fiecare tip de amprentă caută să identifice anumite caracteristici ale echipamentelor wireless. Totuși, și în cazul acesta trebuie remarcat faptul că în absența traficului autorizat, folosirea de către intrus a unor echipamente wireless de același tip cu cel autorizat, va putea ascunde identitatea reală a sursei.

În *concluzie*, în absența suprapunerii traficului ce provine de la sursa autorizată cu cel ce provine de la sursa neautorizată, metodele prezentate nu oferă totdeauna o certitudine în ceea ce înseamnă identificarea corectă a intrusului. Limitarea provine de obicei datorită faptului că un atacator poate veni cu un echipament similar celui pe care vrea să-l copieze.

2.6.5 Aplicabilitate în pofida mobilității stației client, și trecerii acesteia dintr-o subrețea în alta.

O altă problematică de care trebuie ținut cont este cea legată de mobilitatea stațiilor în timpul funcționării. Această mobilitate va determina ca în punctul de monitorizare, o anumită adresă MAC, care era asociată cu un IP sursă, de la un moment dat va fi asociată cu alt IP. Reasocierea aceasta se va produce foarte rapid, pentru ca stația mobilă să nu-și piardă conectivitatea [Sas-09]. Schimbări rapide în datele asociate cu o adresă MAC pot surveni și în urma apariției unui intrus. De aceea, metodele de detecție trebuie să fie în stare să facă deosebire între cazurile de falsificare și cazurile de trecere a stației mobile într-o altă subrețea.

Nu doar trecerea dintr-o subrețea în altă subrețea poate determina schimbarea IP-ului sursă. Sunt și alte cazuri, cum ar fi de exemplu deconectarea scurtă și reconectarea unei stații în rețea. Serviciul de DHCP poate să aloce o altă adresă IP.

Metodele prezentate nu stau deloc bine la capitolul acesta. În primul rând trebuie remarcat faptul că metodele de amprentare wireless se referă de obicei nu la amprentarea unor calculatoare, ci la amprentarea unor dispozitive de rețea, cum ar fi Acces Point-urile. Din acest motiv, cele cinci metode de amprentare nu pot fi utilizate în contextul identificării unor adrese MAC ce au ca surse calculatoare mobile.

Metodele rămase sunt influențate de trecerea stației mobile într-o altă subrețea. ID-ul de VLAN, numerele de secvență, valoarea „hop-count” sunt direct influențate de trecerea în noua subrețea. Doar parametrul „interarrival time” ar putea să fie folosit, dar și el este limitat deoarece trecerea dintr-o rețea în alta schimbă ratele de transfer, deci implicit se va modifica și timpul mediu între două pachete.

În *concluzie*, metodele existente nu oferă un suport adecvat pentru tratarea corectă a falsificării adreselor MAC, în cazul în care stațiile sunt mobile și își schimbă periodic apartenența de la o subrețea la alta.

2.6.6 Aplicabilitate în pofida utilizării de către intrus a unui echipament identic cu cel autorizat.

Deși în discuțiile anterioare s-au abordat diverse aspecte legate de posibilitatea ca un intrus să folosească un echipament identic cu cel autorizat, se impun unele detalieri.

Riscul ca un atacator să fie în stare să aducă un echipament identic cu cel autorizat depinde de echipamentul în cauză. Dacă se face referire la calculatoare sau echipamente de rețea cu configurații speciale, atunci probabil că va fi dificil ca cineva să aducă un alt echipament identic. Dar, dacă se ține cont de faptul că în multe rețele se folosesc ca stații de lucru calculatoare sau laptop-uri de valoare mică sau medie, este foarte posibil ca în anumite situații, atacatorul să copieze nu numai adresa MAC, ci să aducă efectiv un calculator sau un laptop identic cu cel de la care a clonat adresa MAC.

Metoda de determinare pe baza ID-ului de VLAN dă rezultate cu condiția ca intrusul să facă parte dintr-o rețea cu alt ID. În caz contrar, el va fi considerat ca autorizat.

Folosirea numerelor de secvență este la rândul ei influențată de prezența sau absența traficului de la sursa autorizată, împreună cu cel de la sursa falsificată.

Dacă cele două surse funcționează în paralel, numerele de secvență vor avea o distribuție compromisă și sistemul va identifica rapid situația. Dacă însă traficul înregistrat pe o adresă MAC provine numai de la sursa falsificată, atunci sistemul o va identifica drept autorizată.

Parametrul „interarrival time” va da valori identice pentru două echipamente identice. În consecință, singurul caz de aplicare a metodei este atunci când se suprapune traficul de la cele două surse. În rest, nu se poate face diferența între ele.

Parametrul „hop-count” poate și el să fie folosit în regim limitat. Dacă intrusul provine dintr-o zonă diferită, este foarte probabil ca valoarea parametrului să fie diferită de cea a stației autorizate. Dacă însă vine în locul stației autorizate, sistemul nu o va identifica în mod corespunzător.

Despre metodele de amprentare wireless care folosesc răspunsul la mesajele deformate, distribuția „probe-request” și parametrul „clock skew”, se poate afirma de la bun început faptul că nu pot fi aplicate în contextul unui intrus care vine cu același tip de echipament. Singurul caz posibil ar fi la metoda de identificare pe bază de intensitate a semnalului, dacă intrusul se află într-un alt loc decât stația autorizată.

2.6.7 Aplicabilitate pentru echipamente de tip Desktop/Laptop.

Gama de echipamente prezente într-o rețea variază destul de mult. Orice echipament care poate trimite pachete în rețea, va avea o adresă MAC, pe care cineva ar putea încerca să o falsifice.

Cu toate acestea, interesul particular care va fi urmărit în ceea ce urmează se referă strict la calculatoare, fie că sunt în variantă desktop sau laptop. Se va studia în ce măsură se pot folosi metodele prezentate pe astfel de echipamente.

Metodele de amprentare wireless au în vedere echipamentele de rețea. De aceea, nu sunt aplicabile pentru calculatoare decât eventual dacă se face referire la laptop-uri care au interfață de rețea wireless. Totuși, după cum reiese din literatura de specialitate [Lan-12], [Jan-10], [Ara-10], [Gao-10], [Edm-09], [Cha-09], [Loh-08], [Bra-08], [Bri-08], [Jan-08], [She-08], metodele de amprentare wireless au fost concepute în mod special pentru echipamentele de rețea (rutere, switch-uri). Din acest motiv, se vor ignora în contextul calculatoarelor.

Toate celelalte patru metode discutate sunt aplicabile calculatoarelor. De aici rezultă că securizarea rețelelor împotriva pătrunderilor neautorizate prin falsificarea adreselor MAC de către atacatori care vin în sistem prin intermediul unui calculator, va putea fi realizată numai cu metode care permit aplicabilitatea pentru calculatoare.

În *concluzie*, limitările metodelor de amprentare wireless reduc foarte mult numărul metodelor care pot fi folosite în contextul identificării unui intrus.

2.7. Concluzii.

În urma considerării metodelor folosite în prezent pentru identificarea adreselor MAC falsificate, sau fost sintetizate atât avantajele, cât și dezavantajele lor. Ca avantaj principal, fiecare metodă caută să determine cât mai rapid și cât mai exact dacă adresa MAC descoperită în trafic, provine sau nu de la sursa care deține în mod normal adresa respectivă, sau este vorba de un fals. Dezavantajele se referă în principiu la limitări ale domeniului de aplicabilitate.

Metodele au în general anumite caracteristici, dar ele sunt valide decât în anumite condiții. Sau, metodele pot fi aplicate în general, dar cu anumite excepții.

Drept urmare, se pune problema existenței unor metode cu grad general de aplicabilitate, cost redus de implementare și eficiență sporită. Combinarea metodelor poate mări domeniul de aplicabilitate și poate reduce astfel dezavantajele, însă nu pe toate.

Dacă se consideră detecția unui intrus care a pătruns în rețeaua locală, abordarea pe care o au metodele prezentate nu este deloc încurajatoare. Cu alte cuvinte, un intrus care începe atacul său direct din interior, din locul unde funcționa anterior stația autorizată, va putea ușor să treacă peste o serie de alarme și să fie considerat ca stație autorizată. Cazurile acestea nu pot fi ignorate, întrucât pot fi produse chiar de către angajații instituției atacate. În contextul actual, atacurile cibernetice din interiorul rețelelor reprezintă o problemă reală.

De asemenea, s-a putut observa că unii algoritmi sunt limitați la rețele wireless, sau alți algoritmi au nevoie să instaleze aplicații software pe calculatoarele clienților, ceea nu este posibil totdeauna. De asemenea, faptul că unii algoritmi identifică intrusul numai în prezența simultană a acestuia împreună cu stația autorizată, reprezintă din nou o limitare importantă.

Posibilitatea ca o stație să-și modifice localizarea geografică și să treacă dintr-o subrețea în alta, este o problemă care apare frecvent. Drept urmare, detecția intrușilor trebuie să fie capabilă să țină seama de acest aspect și să nu interpreteze mobilitatea stației ca și cum ar fi vorba de apariția unui intrus. Totuși, după cum s-a putut observa, abordările curente nu pot face față unei astfel de cerințe.

În concluzie, trebuie să remarcăm necesitatea unor algoritmi care să fie capabili să depășească neajunsurile metodelor prezentate și să poată oferi o soluție viabilă, și care să facă față situațiilor concrete din practică.

3. DETECȚIA ADRESELOR MAC FALSIFICATE PRIN METODA „DESTINATION TRAFFIC FINGERPRINT”

Capitolul descrie contribuțiile autorului în domeniul detecției adreselor MAC falsificate. Se prezintă o metodă originală de amprentare a unei stații de lucru, bazată pe traficul generat către destinațiile IP cu care aceasta comunică, și care a fost denumită „*Destination Traffic Fingerprint*”, sau prescurtat *DTF*.

Capitolul debutează cu o descriere generală a metodei și a contextului în care se aplică, continuând cu o caracterizare a „traficului constant”, folosit pentru amprentarea stației și a parametrilor care definesc acest concept. Punctul focal al capitolului este dat de definirea Gradului Global de Recunoaștere, parametru calculat în faza de amprentare a stației, și utilizat apoi în timp real pentru validarea stației.

O secțiune aparte în cadrul capitolului este alocată modelării matematice a metodei DTF. Această formalizare permite un studiu aprofundat al fazelor care compun stabilirea amprentei de referință și validarea ulterioară, în timp real, pe baza amprentei stabilite inițial. Etapa de amprentare este extrem de importantă întrucât afectează direct recunoașterea stației. Logica fuzzy este adusă în discuție în acest context, cu scopul de a determina caracterul constant al traficului.

La final, sunt prezentate o serie de servicii/tehnologii care favorizează aplicarea metodei DTF. Concluziile subliniază avantajele clare ale metodei și beneficiile obținute prin utilizarea ei.

3.1. Descrierea generală a metodei.

Pentru a stabili dacă identitatea unei stații este reală sau falsificată, se urmărește alcătuirea unei amprente, sau semnături a stației originale. Deși în literatură se întâlnesc o serie de metode care se bazează pe semnături [Lan-12], [Ara-10], [Gao-10], [Bri-08], [Bra-08], [Loh-06], modul de abordare al metodei propuse în teza de față, este unul original, și încearcă să stabilească amprenta de trafic, urmărind adresele de IP cu care stația comunică în mod constant [Sas-10a]. Metoda doar semnalează intrările neautorizate, dar nu intervine pentru blocarea sau eliminarea intrusului. Metoda a fost numită „*Destination Traffic Fingerprint*”, și o vom nota în continuare *DTF*.

La baza dezvoltării metodei DTF stau câteva elemente de observație:

- un calculator este de cele mai multe ori folosit de către același utilizator;
- programele instalate pe calculator necesită în cele mai multe cazuri un trafic de date în rețeaua locală sau Internet;
- datorită faptului că utilizatorul folosește regulat aplicațiile instalate pe calculator, apare probabilitatea ca anumite destinații IP să fie accesate periodic;

- pe calculator pot exista aplicații utilitare, cum ar fi de exemplu antivirusul, care rulează în memoria calculatorului și verifică periodic anumite servere pentru update sau noutăți;
- în rețelele companiilor, de multe ori se folosesc aplicații ERP ale companiei, servere de mail, baze de date sau alte resurse care necesită un trafic de date în rețea.

Toate aceste observații au condus la ideea că, din totalitatea adreselor IP cu care o stație comunică într-un anumit timp, unele adrese apar frecvent în trafic și ar putea defini un „trafic constant”. Prin „*trafic constant*” nu se înțelege o rată de transfer constantă, ci o apariție constantă a adreselor IP în trafic.

O amprentă de trafic, stabilită pe baza adreselor de IP către care o stație emite constant pachete de date, este formată dintr-o mulțime de perechi:

$$M = \{P_1, P_2, \dots, P_n\}, \quad (4)$$

unde fiecare pereche conține o adresă de IP și procentul de prezență cu care apare în trafic. O astfel de pereche poate fi reprezentată ca:

$$P_i = (IP_i, PP_i) \quad (5)$$

unde PP_i reprezintă de fapt procentul de prezență al adresei IP în traficul pe care stația îl generează.

Verificarea traficului se face pe o anumită perioadă, dar calculele sunt realizate la nivel de minut. Pentru fiecare adresă MAC care trimite pachete în unitatea de timp evaluată, interesează să se extragă toate adresele de IP spre care sursa (adresa MAC) a emis pachete și să se calculeze numărul total de minute în care există trafic pentru fiecare IP destinație.

În continuare, pentru fiecare adresă IP destinație se calculează procentul de prezență, ca fiind raportul dintre numărul de minute în care s-a identificat trafic și numărul total de minute evaluate. Nu interesează cantitatea de informație vehiculată, ci interesează dacă s-a vehiculat sau nu informație și care este procentul de prezență al adresei în totalul de timp evaluat.

Procentul de prezență poate fi scris ca:

$$PP_i = \frac{TMP_i}{TME} \% \quad (6)$$

unde:

- TMP_i – reprezintă numărul de minute în care s-a identificat trafic către IP_i ,
- TME – reprezintă numărul total de minute evaluate

Astfel, pentru o unitate de timp evaluată, notată „TU” (Time Unit), amprenta de trafic a unei stații este alcătuită dintr-un număr de adrese IP „TDIP” (*Total Destination IPs*), fiecare cu procentul de prezență aferent, și se poate reprezenta astfel:

$$M = \left\{ \left(IP_1, \frac{TMP_1}{TME} \right), \left(IP_2, \frac{TMP_2}{TME} \right), \dots, \left(IP_{TDIP}, \frac{TMP_{TDIP}}{TME} \right) \right\} \quad (7)$$

Pentru o reprezentare mai elocventă, se descrie amprenta de trafic sub forma unui tabel, în care fiecare element al mulțimii M devine o linie a tabelului.

Ca exemplu, considerăm următoarea amprentă de trafic, calculată pentru o perioadă de 8 ore (TME = 480 minute), reprezentată în Tabelul 1

Tabelul 1 - Exemplu amprentă de trafic

| Nr. | Adresă IP | Procent Prezență |
|------------|------------------|-------------------------|
| 1 | 193.252.115.186 | 27.41 % |
| 2 | 200.36.0.0 | 18.21 % |
| 3 | 192.168.200.255 | 8.38 % |
| 4 | 224.0.0.251 | 2.67 % |
| 5 | 224.0.0.252 | 1.66 % |
| 6 | 239.255.255.250 | 1.25 % |

Linile din Tabelul 1 reprezintă perechile din mulțimea M. Procentul de prezență de 27.41% aferent adresei 193.252.115.186 reprezintă faptul că din cele 480 de minute evaluate, 131 minute conțin trafic către această destinație. Nu interesează cantitatea de informație transmisă, ci numai cât la sută din totalul minutelor se identifică trafic spre destinația dată. Analog, pentru adresa 200.36.0.0 s-a găsit trafic în 87 din cele 480 minute.

Ca observație, trebuie menționat faptul că, deși sunt de preferat destinațiile pentru care procentul de prezență este foarte mare, chiar și cele cu doar câteva procente nu sunt de neglijat, atâta timp cât traficul este păstrat la rata respectivă.

O dată ce s-a stabilit amprenta de trafic, ea poate fi înregistrată și folosită ulterior pentru recunoașterea stației. Recunoașterea presupune calcularea amprentei de trafic actuală și compararea ei cu amprenta nominală, înregistrată în procesul de evaluare inițială.

3.2. Domeniul de aplicabilitate al metodei.

Datorită faptului că metoda DTF se folosește exclusiv de adrese IP ale unor destinații care apar constant în traficul unei stații din rețea, domeniul de aplicabilitate al metodei se limitează la calculatoarele pentru care se poate determina amprenta de trafic. Nu la orice calculator se poate extrage amprenta de trafic, dar, după cum va rezulta în continuare, metoda poate fi aplicată în foarte multe cazuri.

Generarea alarmelor cu privire la pătrunderile neautorizate sunt destinate în mod special rețelelor de calculatoare ale unor companii, care nu doresc să permită unor utilizatori străini să beneficieze de resursele sau serviciile puse la dispoziție prin intermediul rețelei locale. De obicei, companiile folosesc sisteme ERP, ale căror

module comunică între ele prin intermediul rețelei, astfel încât se creează premisele necesare pentru a putea genera semnăturile. În plus, multe companii au instalat rețele virtuale, care creează în mod obligatoriu un trafic între serverul de VPN și stațiile locale. Alte aplicații folosesc servere de baze de date, care de asemenea creează trafic constant.

Segmentul calculatoarelor personale oferă la rândul lui o mare probabilitate de aplicabilitate pentru metoda DTF, întrucât pentru mulți utilizatori, aplicațiile software instalate pe calculator nu suferă modificări semnificative decât la intervale mai mari de timp și astfel există șanse ridicate să se poată genera amprente de trafic.

Practic, imposibilitatea de aplicare a metodei survine atunci când calculatoarele sunt folosite de către mai mulți utilizatori, fiecare având propriile preferințe la aplicațiile software rulate. Exemplele cele mai reprezentative ar fi laboratoarele universităților sau liceelor, unde pe același calculator lucrează un număr foarte mare de persoane, fiecare având scopuri diferite și implicit aplicații software diferite. De asemenea, un alt exemplu ar fi rețelele de tip „Internet Cafe”, care sunt folosite fără reguli și care creează un trafic „haotic”. Toate cazurile amintite reduc șansele de a determina o amprentă de trafic deoarece este foarte dificil să se găsească adrese IP cu care stația comunică în mod constant. Totuși, există soluții chiar și în situațiile acestea, prin forțarea unui trafic constant cu ajutorul unor aplicații software instalate pe calculatoarele respective, aplicații care să creeze trafic constant, precum și utilizarea rețelelor VPN și a serverelor de baze de date.

3.3. Determinarea traficului constant.

Traficul generat de o stație din rețea, către destinațiile IP cu care aceasta comunică, se poate încadra în următoarele categorii:

- trafic constant
- trafic temporar
- trafic punctual

Traficul constant, se definește ca fiind un transfer de date între o stație din rețea și o destinație IP, care, fiind monitorizat la nivel de minut pentru o perioadă lungă de timp, prezintă o frecvență relativ constantă a minutelor în care sursa a trimis pachete de date spre destinația IP pe întreaga perioadă evaluată. Nu se urmărește o evaluare cantitativă a traficului, ci doar prezența sau absența sa la nivel de minut.

Traficul temporar, se definește ca fiind un transfer de date între o stație din rețea și o destinație IP, care, fiind monitorizat la nivel de minut pentru o perioadă lungă de timp, prezintă o frecvență relativ constantă a minutelor în care sursa a trimis pachete de date spre destinația IP, doar pentru anumite subintervale de timp din întregul interval evaluat.

Traficul punctual, se definește ca fiind un transfer de date între o stație din rețea și o destinație IP, care, fiind monitorizat la nivel de minut pentru o perioadă lungă de timp, prezintă minute în care sursa a trimis pachete de date spre destinația IP, repartizate aleatoriu și izolat pe axa timpului, pe durata intervalului de timp evaluat.

În studiul de față, scopul propus este acela de a detecta cu precizie traficul constant. Toate IP-urile care nu se încadrează în acest caz, vor fi eliminate din

procesul generării amprentei de trafic. Stabilirea amprentelor reprezintă partea cea mai importantă a metodei. Cu cât se stabilește mai corect amprenta, cu atât crește gradul de recunoaștere a stației și scade rata alarmelor false. Prin „stabilire corectă” a amprentei se înțelege de fapt identificarea corectă a adreselor IP pentru care există trafic constant.

Pentru o detecție corectă, este necesară introducerea unor parametri, care să fie folosiți în filtrarea destinațiilor și păstrarea doar a celor care au un trafic constant. Parametrii propuși sunt:

- Procentul de Prezență
- Procentul de Absență Maximă
- Criteriul de prezență pe subintervale egale
- Puterea amprentei de referință

În continuare, fiecare parametru va fi prezentat în detaliu, urmărindu-se locul și rolul pe care îl are în determinarea traficului constant.

3.3.1. Procentul de Prezență.

Primul parametru este „Procentul de Prezență” PP_i , stabilit ca fiind raportul dintre numărul de minute în care există trafic către o destinație anume, și numărul total de minute aferente perioadei de evaluare:

$$PP_i = \frac{TMP_i}{TME} \% \quad (8)$$

Folosirea procentului de prezență reprezintă o condiție necesară, dar nu este suficientă pentru a caracteriza traficul constant. Așa cum s-a menționat deja, deși se dorește ca în componența amprentelor de trafic să intre destinații cu un procent mare de prezență, totuși, ceea ce contează în primul rând nu este valoarea în sine, ci asigurarea că această valoare este păstrată la valori aproximativ constante. S-ar putea să se identifice destinații la care procentul de prezență să fie de doar câteva procente, dar care să fie mult mai bune decât destinații cu procent de prezență ridicat, dar cu variații mari ale prezenței în trafic.

Pentru o înțelegere mai bună a aspectelor prezentate, se vor prezenta în continuare câteva exemple reprezentative. Graficele ilustrează prezența / absența unor destinații IP, în traficul înregistrat. Axa OY va marca timpul în minute, iar axa OX va marca prezența (valoarea „1”) sau absența (valoarea „0”) adresei IP evaluate, în traficul stației. Perioadele de oprire sunt marcate prin dreptunghiuri hașurate, cu notații de genul „Stop *i*”, unde „*i*” reprezintă numărul opririi, cu începere de la „0”. Urmărind datele extrase din traficul real al mai multor calculatoare, se pot identifica următoarele categorii:

- prezență foarte ridicată (chiar aproape de 100%);
- prezență ridicată sau moderată, dar constantă;
- prezență scăzută, dar totuși constantă;
- prezență ridicată, dar concentrată pe anumite perioade scurte;
- prezență scăzută sau chiar punctuală;

Datele au fost preluate dintr-un test realizat pe aproximativ 100 de calculatoare, test despre care se discută în detaliu într-un capitol următor.

Prezență foarte ridicată, chiar aproape de 100%

Cazul acesta corespunde unor adrese IP care apar aproape permanent în traficul curent. Când se face referire la „aproape permanent”, se înțelege procente de prezență de peste 99% sau chiar de 100%. Identificarea lor este foarte importantă, întrucât conduc la stabilirea unor amprente de trafic cu grad de încredere ridicat.

În Fig. 3.1 este reprezentată prezența destinației 30.24.0.0 în traficul înregistrat într-o rețea, pe o durată de 1600 minute. Pentru fiecare minut s-a reprezentat pe grafic valoarea „1” dacă în acel minut a existat trafic către destinația în cauză, sau „0” în caz contrar. Zona hașurată în culoare albastru reprezintă o perioadă de timp în care stația evaluată a fost oprită.

Se poate observa faptul că, în afară de două minute izolate, stația evaluată a trimis cel puțin un pachet către destinația IP menționată. În condițiile acestea, adresa IP destinație poate fi considerată o adresă cu care stația evaluată comunică în mod constant.

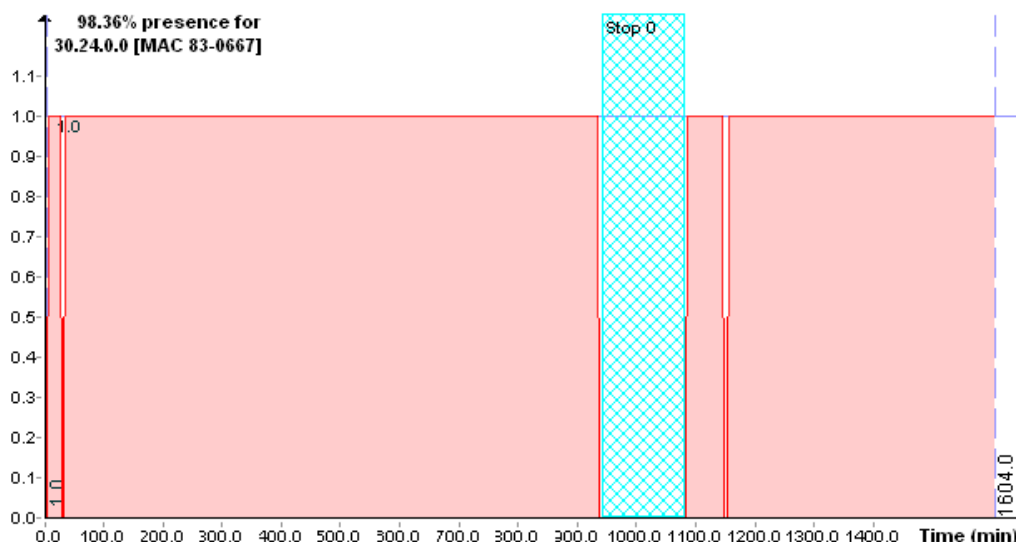


Fig. 3.1 Prezență foarte ridicată pentru destinația 30.24.0.0

Un alt exemplu este prezentat în Fig. 3.2, procentul de prezență fiind de 99.11% pentru un interval de 1450 minute. Pe durata evaluată stația a fost oprită într-un interval foarte scurt, în jurul minutului 350. În rest, stația a fost permanent funcțională, iar graficul afișează doar unul sau două minute în care nu s-a detectat trafic către adresa IP 94.178.105.3. Destinația aceasta poate intra în categoria destinațiilor cu trafic constant.

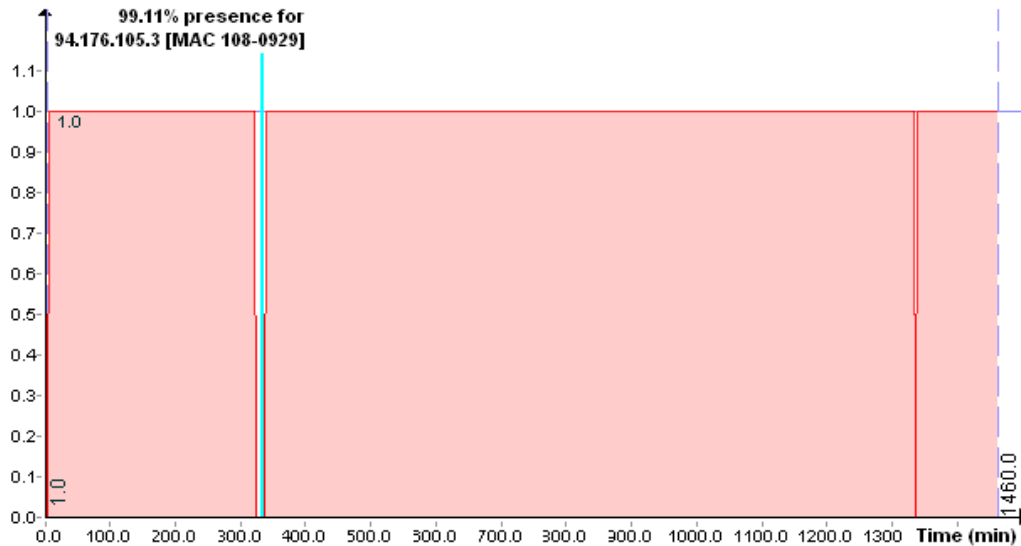


Fig. 3.2 Prezență foarte ridicată pentru destinația 94.176.105.3

Un alt exemplu este prezentat în Fig. 3.3, în care destinația 157.130.89.170 a fost urmărită pe o stație timp de 1550 minute. În două rânduri stația s-a oprit, momentele fiind marcate pe grafic prin două zone hașurate cu albastru. În timpul de funcționare se pot identifica un mic număr de minute în care nu s-a identificat trafic către adresa IP menționată anterior. În rest, fiecare minut conține pachete spre IP-ul urmărit. Prezența totală este de 97.10%, foarte bună pentru ca destinația IP să fie considerată cu trafic constant.

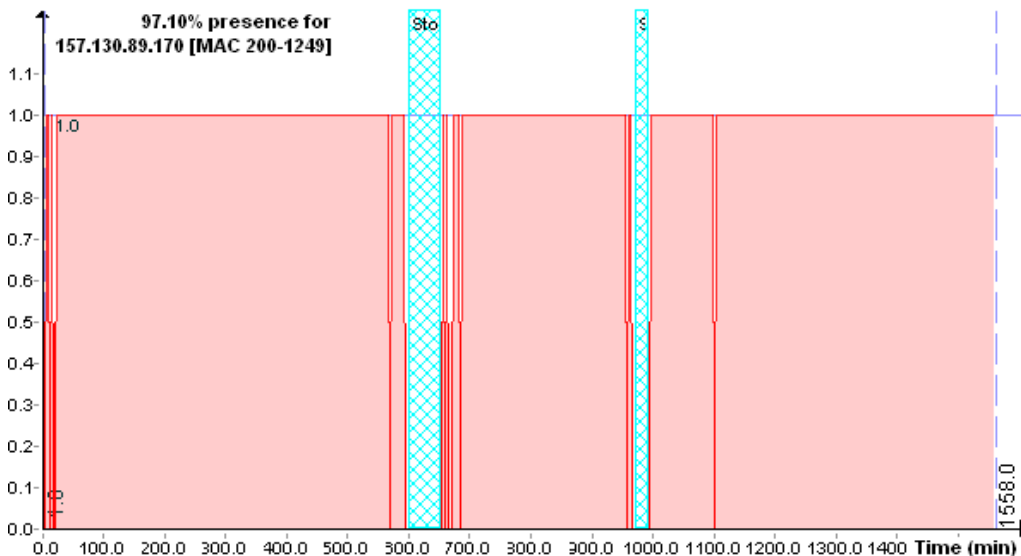


Fig. 3.3 Prezență foarte ridicată pentru destinația 157.130.89.170

Fig. 3.4 prezintă un caz cu prezență ridicată, dar cu o distribuție diferită de cele observate în figurile anterioare. În cazul acesta, destinația 200.4.0.0 prezintă mult mai multe minute de absență în trafic, rezultând până la final un procent de prezență în valoare de 81.77%. Totuși, comunicarea stației cu destinația menționată este consistentă, astfel încât se poate încadra în categoria de trafic constant.

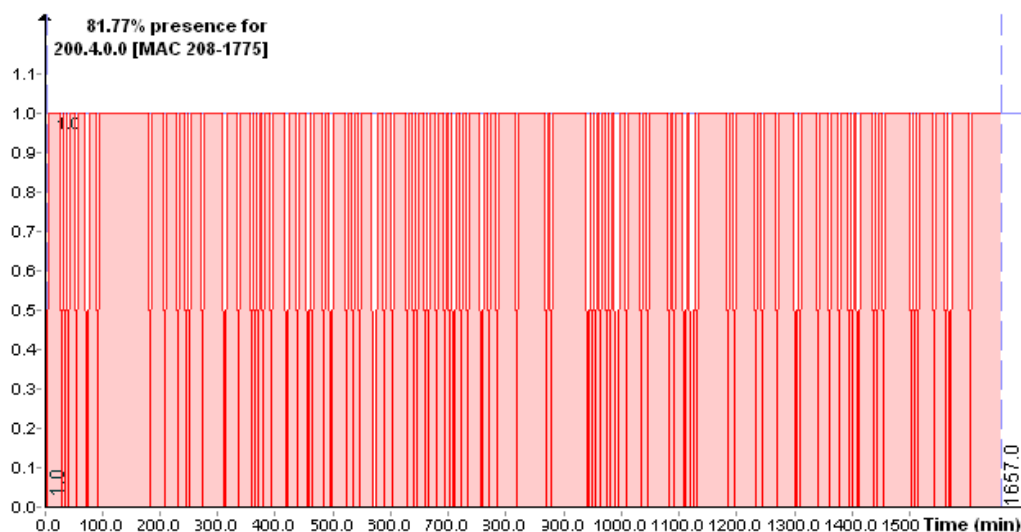


Fig. 3.4 Prezență foarte ridicată pentru destinația 200.4.0.0

În Fig. 3.5 prezența destinației 239.192.152.143 este și mai mică, întrucât minutele de pauză sunt mai numeroase. Distribuția minutelor cu trafic ne conduce însă la concluzia că traficul poate fi considerat constant.

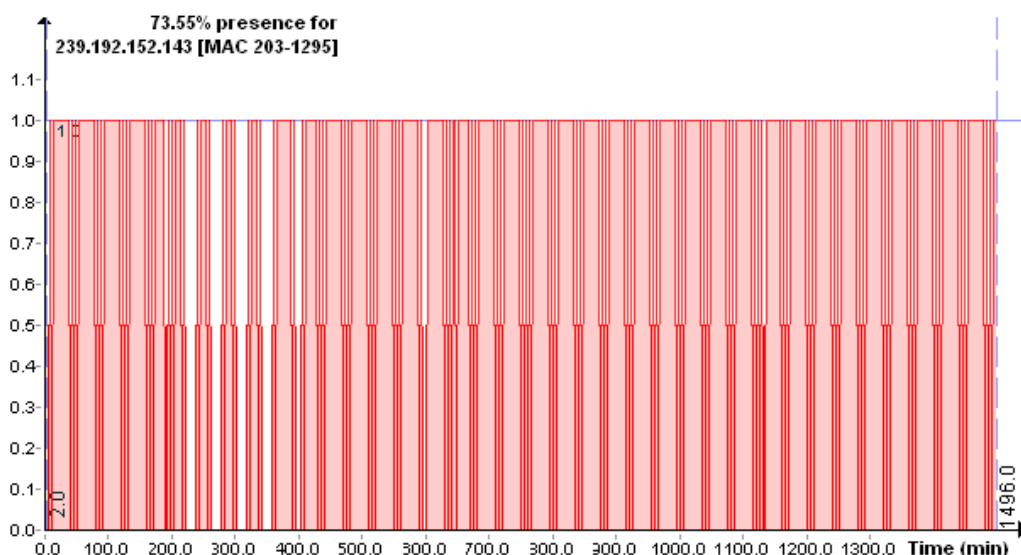


Fig. 3.5 Prezență foarte ridicată pentru destinația 239.192.152.143

Prezență ridicată sau moderată, dar constantă

Chiar dacă procentele de prezență nu tind spre 100%, destinațiile își păstrează traficul în timp, și pot fi incluse în amprente. Apar mai des perioade de „pauză”, către destinația luată în considerare, dar pauzele sunt de scurtă durată.

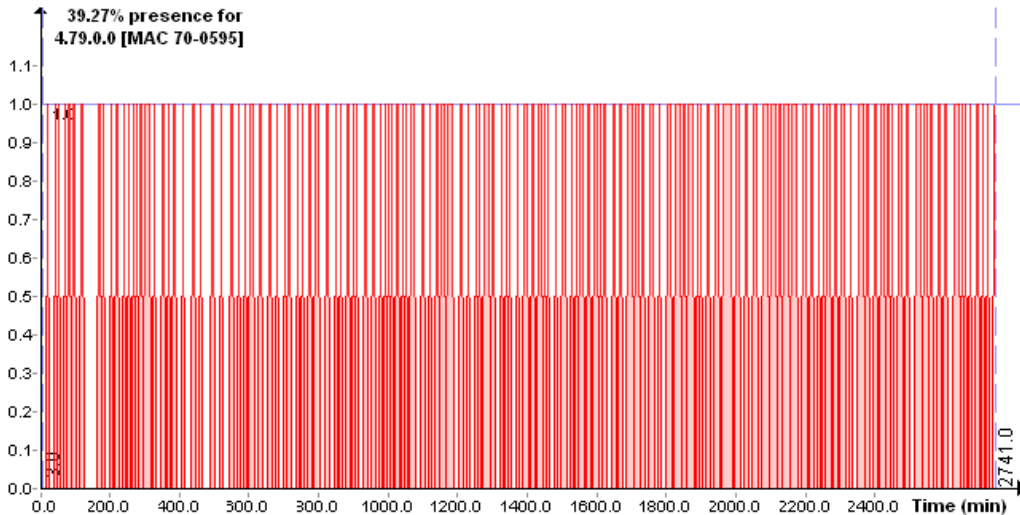


Fig. 3.6 Prezență moderată dar constantă pentru destinația 4.79.0.0

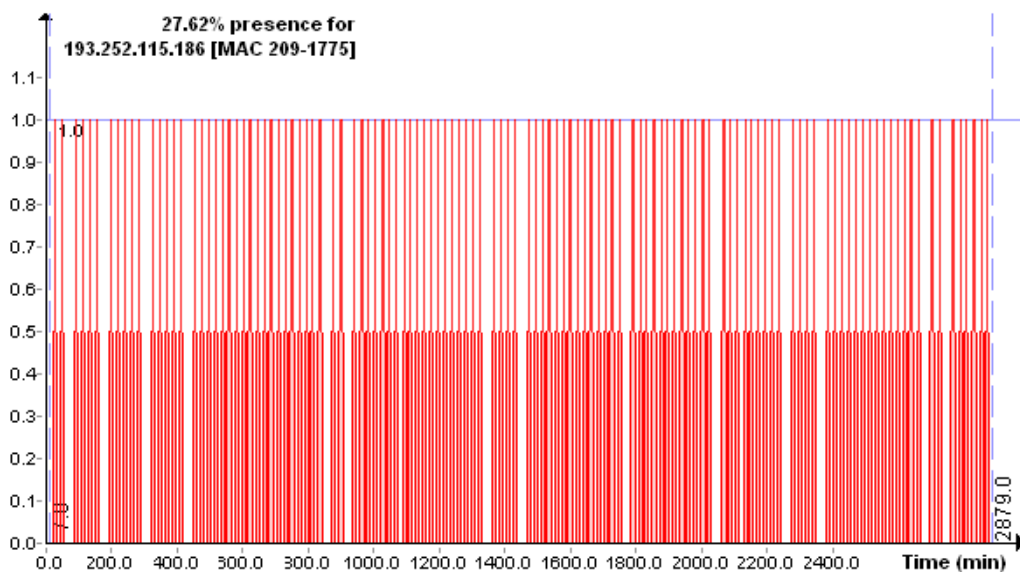


Fig. 3.7 Prezență moderată dar constantă pentru destinația 193.252.115.186

Fig. 3.6 prezintă identificarea traficului către destinația 4.79.0.0. Prezența calculată global pentru cele 2740 de minute evaluate, a condus la un rezultat de 39.27%. Prezența aceasta este mult mai mică decât valorile observate la punctul anterior. Totuși, ceea ce se caută este nu neapărat o cantitate mare de trafic, cât o reluare a traficului într-o manieră cât mai constantă.

Aceasta înseamnă că, deși se preferă ca procentul de prezență să tindă spre 100%, destinațiile cu prezență mai scăzută dar totuși constantă, pot fi luate în considerare atunci când interesează identificarea traficului constant.

Asemănător este cazul din Fig. 3.7, unde procentul de prezență este și mai mic, dar păstrează o frecvență relativ constantă pe toată durata de aproximativ 2880 minute.

Fig. 3.8 prezintă o situație asemănătoare. Pauzele în traficul către destinația IP 200.13.0.0 sunt dese, dar cu frecvență relativ constantă. Adresa menționată poate fi inclusă în amprente de trafic.

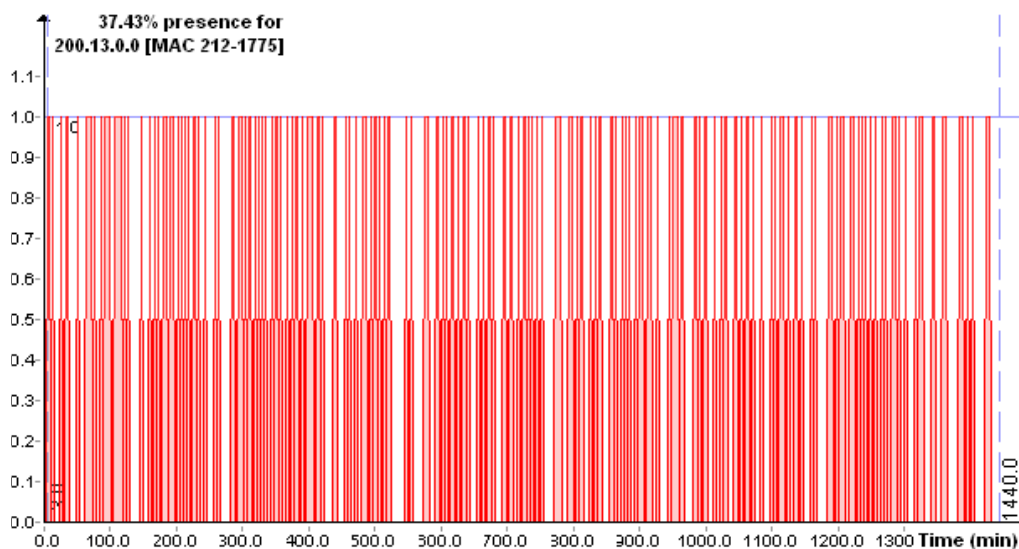


Fig. 3.8 Prezență moderată dar constantă pentru destinația 200.13.0.0

Prezență scăzută, dar totuși constantă

De multe ori, procentul de prezență este foarte mic, de doar câteva procente. Cu toate acestea, s-au întâlnit situații frecvente în care traficul este reluat la intervale aproximativ egale, chiar dacă pauzele sunt mult mai mari. Cu toate acestea, faptul că destinația IP revine în trafic, este suficient pentru a considera IP-ul ca o destinație constantă și a se putea include în amprente de trafic.

În categoria aceasta vor intra destinații IP la care traficul apare cu pauze de durată mai lungă decât minutele în care identificăm trafic. Totuși aceste minute apar la intervale aproximativ egale, ducând în felul acesta la obținerea unei frecvențe relativ constante.

De exemplu, Fig. 3.9 prezintă traficul către destinația 65.55.17.39. Traficul a fost urmărit pentru aproximativ 1750 minute, timp în care se observă din grafic că a existat o perioadă de oprire a stației pentru aproximativ 120 minute. În rest, frecvent apar minute în care se descoperă adresa IP în traficul stației. Deși per ansamblu se obține doar 5.16% prezență, această prezență este distribuită relativ constant.

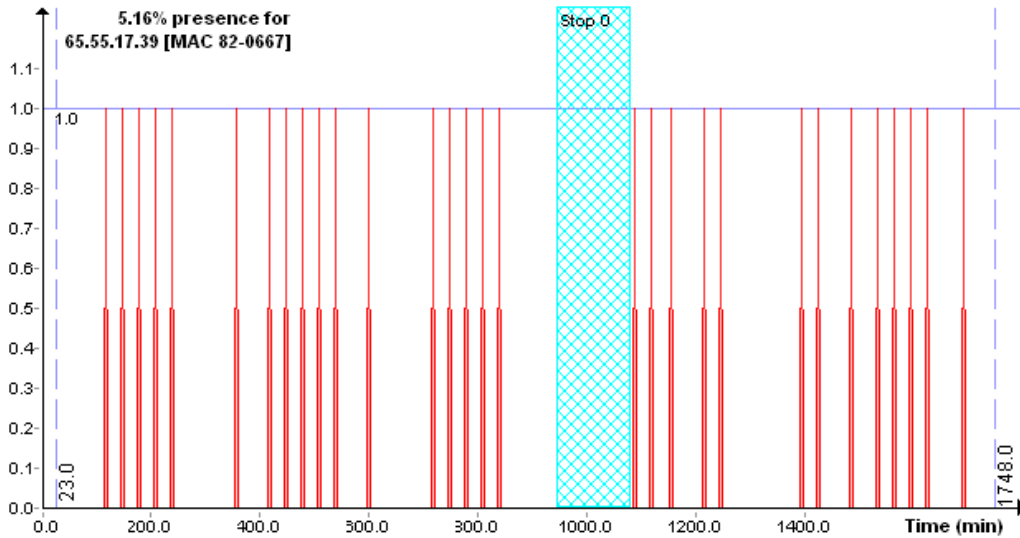


Fig. 3.9 Prezență scăzută dar constantă pentru destinația 65.55.17.39

Un alt exemplu este în Fig. 3.10, unde prezența traficului spre adresa IP 93.113.235.93 are o valoare foarte mică, de 3.61% pe întreg intervalul de 1440 minute. Apariția traficului este practic de forma unor „impulsuri”, care apar frecvent în timp.

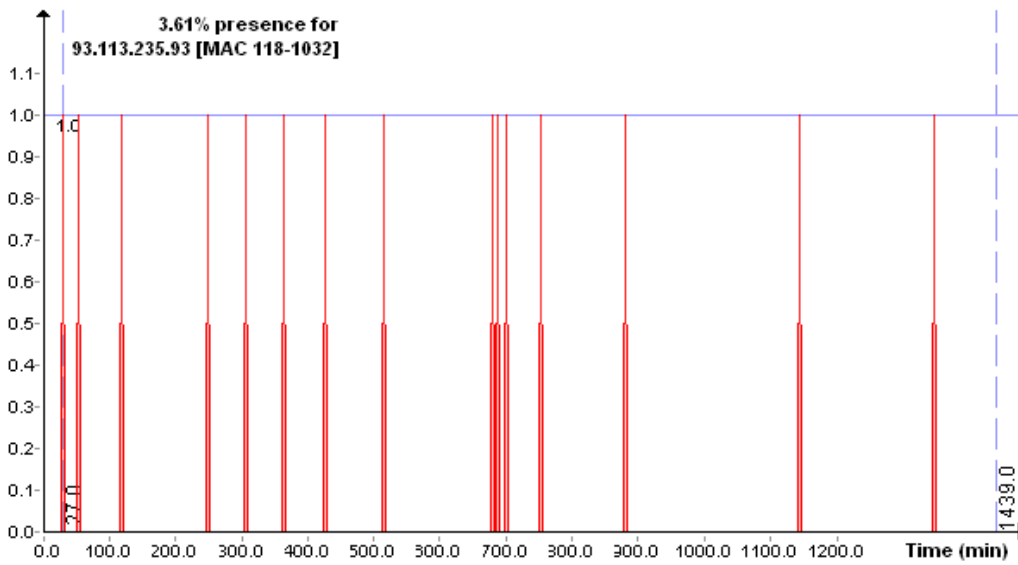


Fig. 3.10 Prezență scăzută dar constantă pentru destinația 93.113.235.93

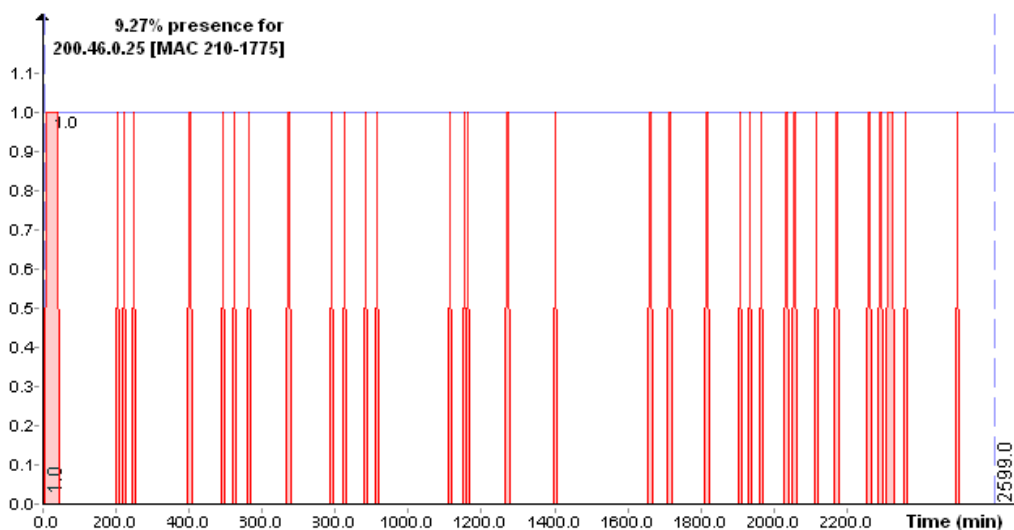


Fig. 3.11 Prezență scăzută dar constantă pentru destinația 200.46.0.25

În Fig. 3.10 și Fig. 3.11, deși este o prezență redusă, frecvența „impulsurilor” de trafic este mai bună. Repartizarea minutelor în care descoperim trafic are o acoperire mai avantajoasă, cu un grad mai ridicat de constanță.

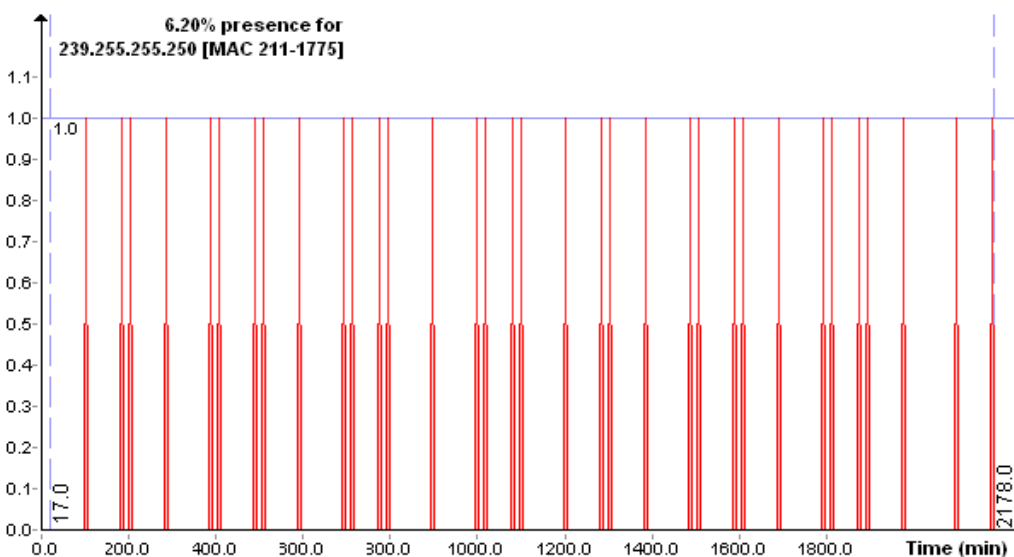


Fig. 3.12 Prezență scăzută dar constantă pentru destinația 239.255.255.250

Prezență ridicată, dar concentrată pe anumite perioade scurte

S-a afirmat faptul că procentul de prezență este un bun început, dar nu este întotdeauna suficient pentru a descrie realitatea din punct de vedere al „traficului constant”. Dacă traficul este concentrat puternic pe anumite zone a axei timpului, iar

În rest este absent sau sporadic, per ansamblu s-ar putea ca procentul de prezență să dea valori semnificative, dar destinația să nu aibă deloc trafic constant. În situația aceasta se află și cazurile descrise în continuare.

Considerând cazul ipotetic în care o destinație IP este prezentă 100% pe jumătate de interval, iar apoi dispare complet, din punct de vedere al procentului de prezență, el are o valoare considerabilă: 50%. Totuși, faptul că traficul către destinația respectivă dispare complet, este un indicator clar că nu se poate accepta traficul ca fiind constant.

Pentru evidențierea traficului ridicat, dar neconstant, trebuie efectuate verificări suplimentare, pe baza altor parametrii.

Fig. 3.11 este un exemplu de trafic concentrat doar pe anumite perioade. Din totalul de aproximativ 3100 minute, stația a fost oprită două perioade mai lungi, și două perioade foarte scurte. Între aceste perioade de oprire, stația a trimis pachete către destinația IP 67.195.186.249 aproape în fiecare minut al perioadei de dinaintea primei opriri, după care nu se poate identifica nici măcar un singur minut cu trafic spre destinația menționată.

În mod evident, procentul de prezență calculat global la valoarea de 18.94% nu poate fi luat în considerare întrucât tot traficul este limitat în timp. Pentru primele 350 de minute, există o prezență de aproape 100% a destinației în traficul stației, dar, după oprirea stației, nu se mai reia dialogul cu IP-ul menționat.

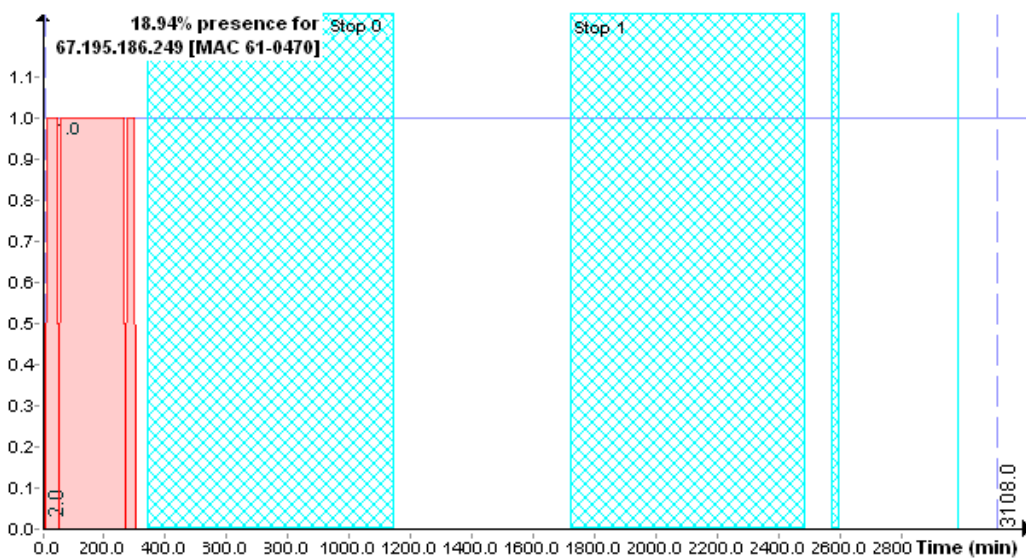


Fig. 3.13 Prezență concentrată pe perioadă scurtă pentru destinația 67.195.186.249

De asemenea, în Fig. 3.14, procentul de prezență este aproape dublu față de cel din Fig. 3.13. Destinația 98.138.26.127 are trafic concentrat în perioada dintre primele două opriri ale stației.

Nu se poate folosi o astfel de adresă pentru amprenta de trafic a stației, întrucât după momentul de prezență aproape 100%, traficul dispare complet. Dacă o astfel de destinație intră în componența amprentei de trafic a stației, rezultatele ar fi alterate puternic.

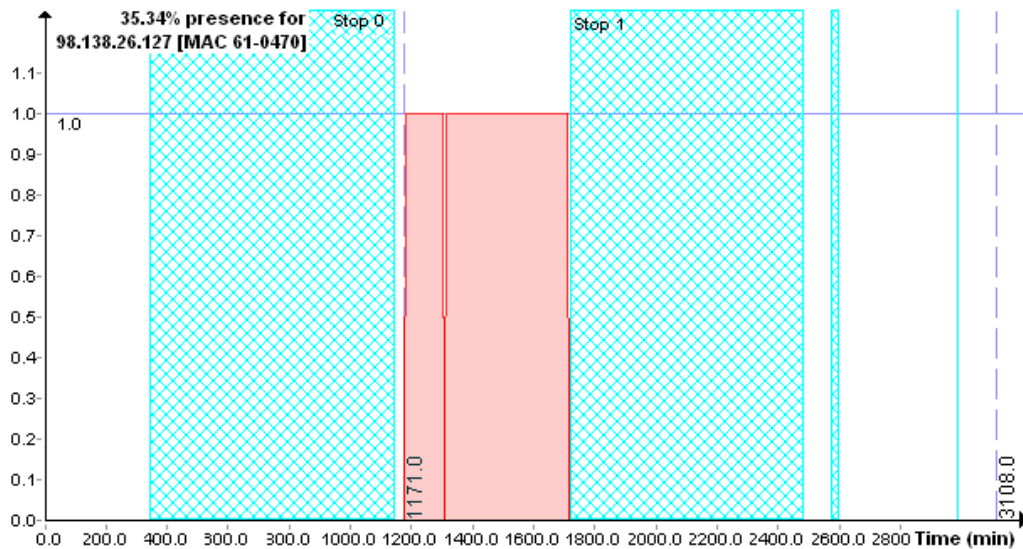


Fig. 3.14 Prezență concentrată pe perioadă scurtă pentru destinația 98.138.26.127

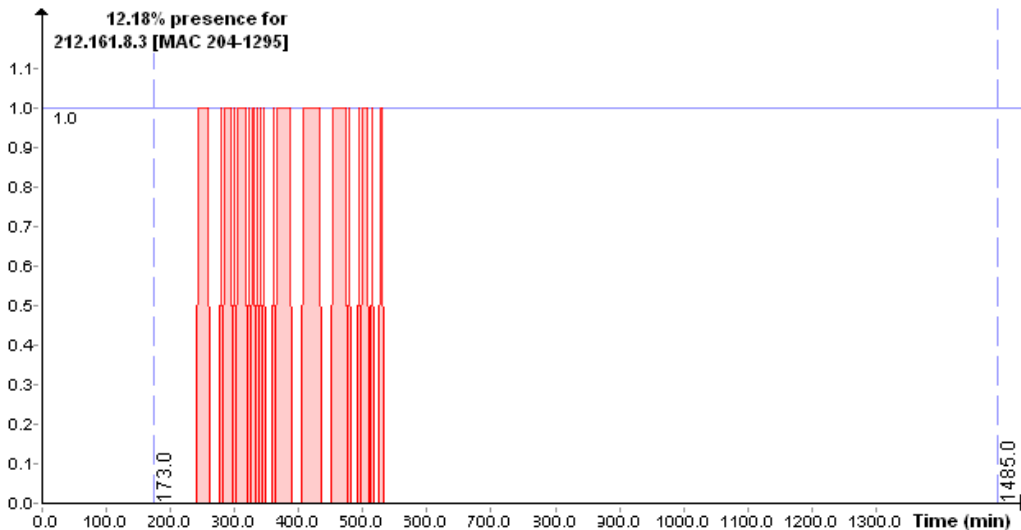


Fig. 3.15 Prezență concentrată pe perioadă scurtă pentru destinația 212.161.8.3

Un alt exemplu este în Fig. 3.15. Nici în cazul acesta nu se poate vorbi despre un trafic constant întrucât este concentrat în zona delimitată de minutele 250 și 550.

Prezență scăzută sau chiar punctuală

Cazul acesta este cel mai frecvent. Este și normal, întrucât traficul de rețea depinde de cerințele de moment ale utilizatorilor, care au nevoie de informații aflate pe servere disparate. Nu se poate vorbi de pauze în trafic, ci, mai degrabă de prezență limitată sau chiar punctuală. Rezultă în mod clar că nu se poate permite ca în amprente de trafic să apară astfel de situații.

Pentru calculatoarele care au instalate aplicații software care generează trafic către un număr foarte mare de IP-uri, destinațiile punctuale vor trebui eliminate rapid din procesul de verificare.

În continuare se prezintă două situații concrete identificate pe aceeași stație. Fig. 3.16 și Fig. 3.17 se referă la același calculator, pentru care se observă o serie de opriri marcate pe grafic prin zone hașurate cu albastru.

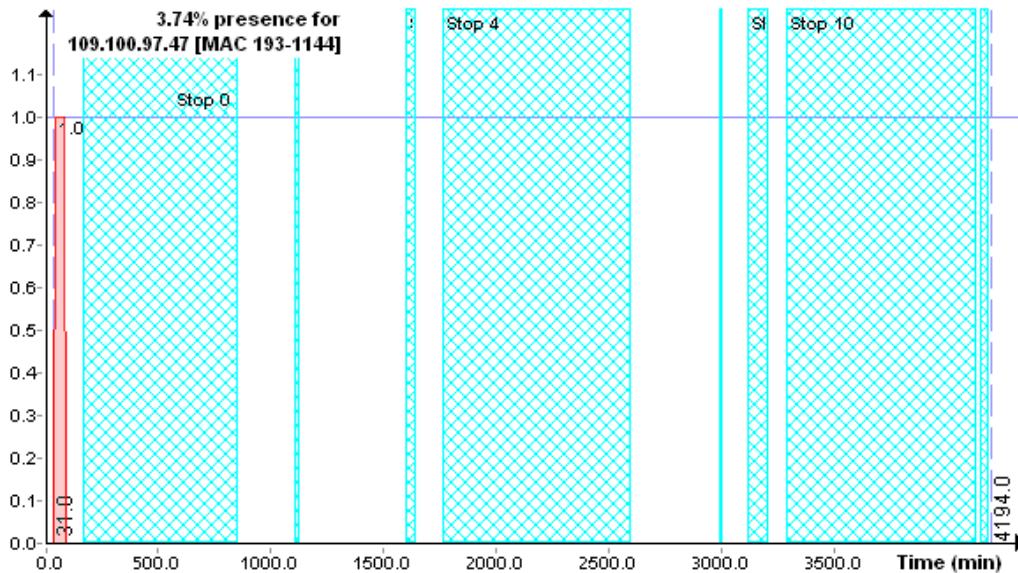


Fig. 3.16 Prezență punctuală pentru destinația 109.100.97.47

Atât în Fig. 3.16 cât și în Fig. 3.17, minutele în care există trafic sunt punctuale. Nu pot fi incluse astfel de adrese în amprente de trafic întrucât ar produce rezultate cu totul eronate.

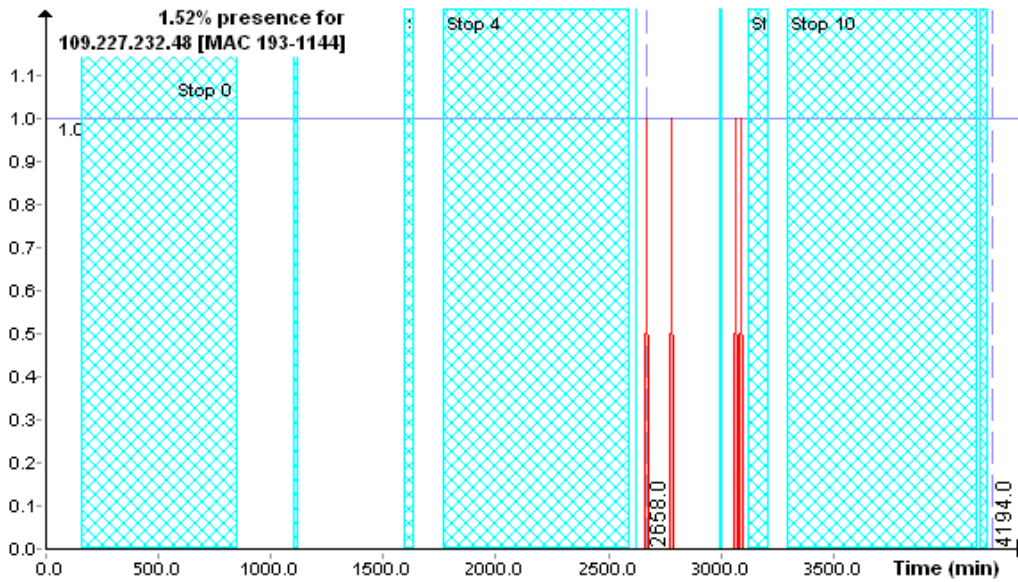


Fig. 3.17 Prezență punctuală pentru destinația 109.227.232.48

Fig. 3.18 prezintă o situație de pe o stație care a funcționat continuu 2600 minute. Din totalul minutelor, doar în 3 minute izolate se poate observa trafic către adresa de IP 209.85.149.100.

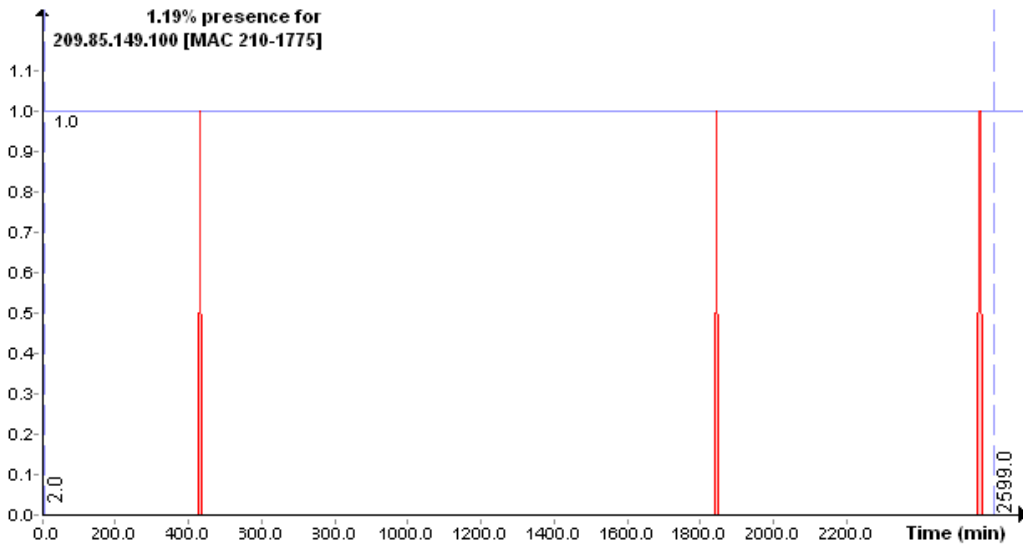


Fig. 3.18 Prezență punctuală pentru destinația 209.85.149.100

În Fig. 3.19, traficul este monitorizat pe parcursul a 1485 minute, urmărindu-se pachetele care pleacă spre destinația cu IP 212.233.167.81. În pimele 250 de minute, stația a comunicat frecvent cu destinația în cauză, dar ulterior nu.

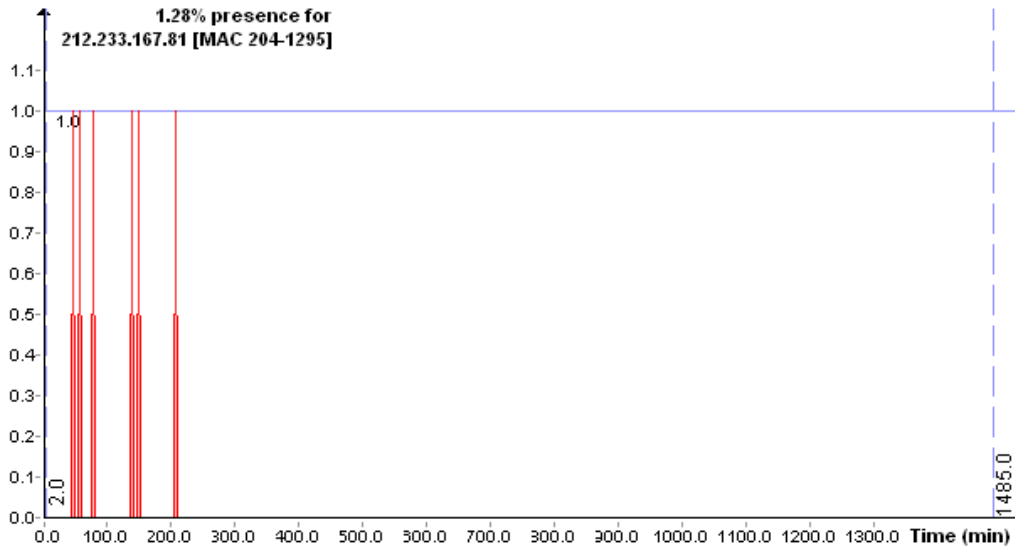


Fig. 3.19 Prezență punctuală pentru destinația 212.233.167.81

3.3.2. Procentul de Absență Maximă.

Procentul de absență maximă reprezintă numărul maxim de minute consecutive în care nu a avut loc trafic către o destinație, raportat la numărul total de minute de evaluare:

$$PA_i = \frac{TMAC_i}{TME} \% \quad (9)$$

unde:

- PA – procent de absență maximă;
- TMAC – numărul total de minute de absență, consecutive;
- TME – numărul total de minute de evaluare.

El reprezintă un alt mod de a caracteriza traficul, totuși cu aplicabilități reduse. Procentul de absență maximă poate să dea o indicație despre constanța traficului, dar el nu poate caracteriza complet traficul. O valoare mare a procentului se traduce într-un număr mare de minute în care traficul a lipsit cu desăvârșire. Dacă timpul evaluat (măsurat) devine comparabil cu gradul de absență, înseamnă că s-ar prea putea ca aceasta să dovedească un trafic temporar sau punctual.

Problema principală a acestui indicator, este că el este puternic influențat de timpul de evaluare. Timpul maxim de absență consecutivă își poate păstra valoarea de-a lungul timpului, pe când numărul total de minute de evaluare crește o dată cu fiecare minut. De aici rezultă că PA va furniza valori mari pentru timp de evaluare mic, și va scădea în timp, pe măsură ce timpul de evaluare crește. Din cauza aceasta, folosirea PA pentru caracterizarea traficului, nu este concludentă.

3.3.3. Criteriul de prezență pe subintervale egale.

Pentru a detecta cât de „constant” este traficul către o anumită destinație IP, se împarte intervalul de timp evaluat în subintervale, apoi, fiecare subinterval este verificat individual, pentru a afla dacă apare sau nu trafic în fiecare subinterval. Cu cât este mai mare numărul de subintervale, cu atât crește precizia de detecție a traficului constant.

Din punct de vedere teoretic, pentru ca o destinație să fie acceptată ca având trafic constant, ar trebui să se regăsească în toate subintervalele, dar, din punct de vedere practic, se pot accepta chiar și destinații care nu se regăsesc în toate subintervalele. Ipoteza este realistă datorită faptului că, pe măsură ce se crește numărul de subintervale, scade timpul unui subinterval, și este posibil ca unele subintervale să nu conțină trafic datorită unor pauze temporare.

Folosirea criteriului de prezență pe subintervale este mai relevant decât procentul de absență maximă și poate fi utilizat pentru eliminarea din amprenta de trafic, a tuturor adreselor IP care au trafic periodic.

3.3.4. Puterea amprentei de referință FPW (Fingerprint Power).

Puterea amprentei de referință, notată FPW (Fingerprint Power), este dată în principiu de doi factori:

- numărul de destinații IP care intră în componența amprentei de referință;
- valoarea procentelor de prezență corespunzătoare acestor destinații.

Legat de numărul destinațiilor IP, se remarcă faptul că este de dorit ca în amprentele de referință să intre cât mai multe adrese IP spre care stația trimite în mod constant pachete.

În ce privește valoarea procentului de prezență, după cum s-a menționat deja în capitolele precedente, nu se urmăresc în primul rând valori mari ale prezenței în trafic, cât faptul că acest trafic să fie constant. Referitor la puterea unei amprente, cu cât valorile procentelor de prezență sunt mai ridicate, cu atât amprentele sunt mai puternice.

Puterea amprentei de referință este o valoare numerică, ce dă o măsură asupra calității amprentei. Cu cât valoarea numerică este mai mare, cu atât calitatea este mai bună. Această calitate se evidențiază prin următoarele caracteristici:

- stabilitate;
- credibilitate;
- viteză de validare.

Prin *stabilitate* se va înțelege capacitatea amprentei de referință de a valida o adresă MAC, pe o durată mare de funcționare în timp, fără a fi puternic afectată de variațiile temporare ale prezenței în trafic a destinațiilor care intră în componența amprentei. Cu cât numărul de destinații IP este mai mare, cu atât efectul perturbațiilor care apar în dreptul uneia, este mai mic.

Efectul procentelor de prezență asupra stabilității se reflectă prin faptul că, pentru valori mici de prezență, este mult mai probabil să apară momente de „pauză”, în care destinațiile respective să nu se regăsească în trafic. Dacă procentele

de prezență sunt mari, înseamnă că stația evaluată are un dialog sistematic și consistent cu destinațiile respective, fapt care reduce probabilitatea de întrerupere a traficului.

Prin *credibilitate* se înțelege gradul de încredere a unei amprentă de referință în procesul de validare a unei adrese MAC.

Valori mari ale procentelor de prezență sporesc mult gradul de încredere, prin aceea că este evident că destinațiile respective prezintă un trafic constant. De asemenea, numărul mare de adrese IP din componența amprentelor asigură că traficul constant este consistent și variat.

Viteza de validare reprezintă timpul necesar sistemului ca să ofere un răspuns corect cu privire la validitatea adresei MAC.

Dat fiind faptul că metoda DTF realizează toate calculele la nivel de minut, este necesar ca numărul de minute până la validarea sau invalidarea stației, să fie cât mai mic. Perioada „tranzitorie” poate da rezultate false, sau poate varia brusc între validare și invalidare. De aceea, se dorește ca tranziția să fie cât mai scurtă.

Viteza de validare crește cu atât mai mult cu cât valorile procentelor de referință sunt mai mari, deoarece acestea sunt identificate din primul sau primele două, trei minute. Adresele care au prezență redusă necesită un timp mai îndelungat până să apară în trafic. De asemenea, cu cât numărul de destinații din amprentă este mai mare, cu atât recunoașterea se realizează mai rapid.

Se va defini *puterea amprentei de referință* (FPW), ca fiind suma procentelor de prezență ale destinațiilor IP care formează amprenta. Definiția tine cont atât de numărul componentelor cât și de valorile individuale ale acestora.

$$FPW = \sum_{i=1}^{TDIPref} PP_i \quad (10)$$

Pentru o măsură mai elocventă a cuantificării și calității amprentei, se poate introduce un alt parametru și anume valoarea medie a procentelor de prezență în cadrul amprentei, notat cu MFPW. Cu cât valorile MFPW sunt mai mari, cu atât calitatea este mai mare.

3.4. Validarea adreselor MAC. Gradul Global de Recunoaștere ODR (Overall Degree of Recognition).

În secțiunea de față se va prezenta modul în care se poate valida o adresă MAC, care se pretinde a fi o stație locală „S”. Validarea se face pe baza unei aplicații de monitorizare, care analizează traficul la intervale de 1 minut și calculează „*amprenta de trafic actuală*” a fiecărei adrese MAC. Amprenta de trafic actuală se actualizează permanent, pentru toată durata de timp scursă din momentul apariției adresei MAC în trafic, și până în momentul curent. Ea va fi comparată cu „*amprenta de trafic de referință*”, înregistrată în timpul de evaluare.

Cele două amprente, vor fi caracterizate pe baza mulțimilor de perechi de forma „*adresă IP – procent prezență*”.

Se notează cu „DIPR” setul de IP-uri destinație aferente amprentei de referință și cu IPR, destinațiile IP care intră în componența setului.

Cu „DIPA” se notează setul de IP-uri destinație aferente amprenteii actuale, iar cu IPA, destinațiile IP care intră în componența setului. În aceste condiții, se pot defini matematic cele două seturi astfel:

$$\begin{aligned} \text{DIPR} &= \{IPR_1, IPR_2, \dots, IPR_{TDIPref}\} \\ \text{DIPA} &= \{IPA_1, IPA_2, \dots, IPA_{TDIPact}\} \end{aligned}$$

Procentele de prezență se notează cu „PPR” pentru amprenta de referință și respectiv cu „PPA” pentru amprenta actuală.

Folosind aceste notații, amprenta de referință va fi definită de perechi de forma (IP_i, PPR_i) , iar amprenta actuală va fi definită de mulțimea de perechi (IP_i, PPA_i) .

Validarea presupune compararea celor două mulțimi de perechi și stabilirea unui grad de similaritate între cele două. Cu cât gradul de recunoaștere este mai mare, cu atât crește probabilitatea ca adresa MAC verificată să fie chiar ceea ce se pretinde a fi.

Notând cu „DTF” amprenta de trafic („*destination traffic fingerprint*”), cele două amprente pot fi reprezentate astfel:

$$DTF_{referinta} = \left\{ (IP_1, PPR_1), (IP_2, PPR_2), \dots, (IP_{TDIPref}, PPR_{TDIPref}) \right\} \quad (11)$$

$$DTF_{actuala} = \left\{ (IP_1, PPA_1), (IP_2, PPA_2), \dots, (IP_{TDIPact}, PPA_{TDIPact}) \right\} \quad (12)$$

Calculul gradului global de recunoaștere (ODR) se poate realiza prin câteva metode. Fiecare variantă de calcul oferă performanțe diferite, așa cum se va discuta în paragrafele 3.4.1 și 3.4.2.

Ideea care stă la baza calculului gradului global de recunoaștere, este aceea că fiecare destinație IP_i din setul DIPR al amprenteii de referință, trebuie căutată în setul DIPA al amprenteii actuale. Vor fi astfel două procente de prezență, PPR_i și PPA_i , aferente amprenteii de referință și respectiv amprenteii actuale. Problema care se pune este cum se calculează un grad de recunoaștere al adresei IP_i în traficul actual? Răspunsul la această întrebare este dat în paragrafele următoare.

3.4.1. Calculul standard al Gradului Global de Recunoaștere.

În varianta standard, pentru fiecare din cele $TDIP_{ref}$ adrese IP din amprenta de referință, se va calcula gradul de recunoaștere RD_i (Recognition Degree) ca fiind raportul dintre procentul de prezență actual PPA_i și procentul de prezență de referință PPR_i , dacă primul este mai mare ca al doilea, sau se consideră 100% în caz contrar.

Deci, *gradul de recunoaștere* al unei destinații, în varianta standard, poate fi scris ca:

$$RD_i = \begin{cases} \frac{PPA_i}{PPR_i}, & \text{daca } PPA_i < PPR_i \\ 100, & \text{daca } PPA_i \geq PPR_i \end{cases} \quad (13)$$

Se poate considera $RD_i = 100\%$ dacă PPA_i este mai mare decât PPR_i , deoarece gradul de recunoaștere relevă cât de mult este recunoscut un IP. Ori, dacă prezența actuală este mai mare decât cea de referință, înseamnă că adresa este recunoscută, deci se poate considera recunoaștere 100%, fără să fie nevoie să se mărească procentul de recunoaștere.

Pentru a determina Gradul Global de Recunoaștere (ODR), se va calcula media gradelor de recunoaștere individuale, ținând cont că în amprenta de referință există un număr de $TDIP_{ref}$ destinații IP. Amprenta actuală conține $TDIP_{act}$ perechi, cele care nu se regăsesc în amprenta de referință sunt ignorate în procesul de determinare a ODR.

Gradul Global de Recunoaștere standard este atunci:

$$ODR_{standard} = \frac{\sum_{i=1}^{TDIP_{ref}} RD_i}{TDIP_{ref}} \quad (14)$$

În Fig. 3.20, este reprezentată schema bloc MATLAB a algoritmului de calcul pentru Gradul Global de Recunoaștere, pentru o amprentă cu cinci componente, se află. S-a folosit Toolbox-ul Matlab [MatW]. Se observă în partea superioară a figurii, setul DIPR format dintr-o adresă IPR_1 cu procent de prezență 53%, o adresă IPR_2 cu procent de prezență 40%, o adresă IPR_3 cu procent de prezență 95%, o adresă IPR_4 cu procent de prezență 60% și o adresă IPR_5 cu procent de prezență 3%.

Setul DIPA aferent amprentei actuale este prezentat în partea inferioară a figurii. Valorile de prezență pentru traficul actual sunt diferite de cele stabilite în referință. Tabelul 2 prezintă valorile procentului de prezență pentru amprenta de referință și pentru amprenta actuală.

Tabelul 2 – Valori pentru procentele de prezență în amprenta de referință și cea actuală pentru calculul Gradului Global de Recunoaștere standard

| | PP ₁ | PP ₂ | PP ₃ | PP ₄ | PP ₅ |
|-----------------------|-----------------|-----------------|-----------------|-----------------|-----------------|
| Amprenta de referință | 53 | 40 | 95 | 60 | 3 |
| Amprenta actuală | 49 | 43 | 90 | 55 | 0 |

Se poate observa că valorile actuale sunt mai mici decât cele de referință, iar ultima destinație IP lipsește complet din amprenta actuală.

Schema MATLAB permite calculul valorilor implicate în procesul determinării Gradului Global de Recunoaștere. Folosind valorile amprentei de referință, se poate calcula puterea amprentei, ca fiind $FPW = 251$. Împărțind valorile procentelor de prezență actuale la cele de referință, se obține rapoartele notate pe diagramă cu „Raport IP_i”. Ulterior, suma rapoartelor se împarte la numărul total de componente

ale amprentei de referință ($TDIP_{ref} = 5$) și se înmulțește cu 100, pentru a afla valoarea Gradului Global de Recunoaștere: $ODR_{standard} = 76,89\%$.

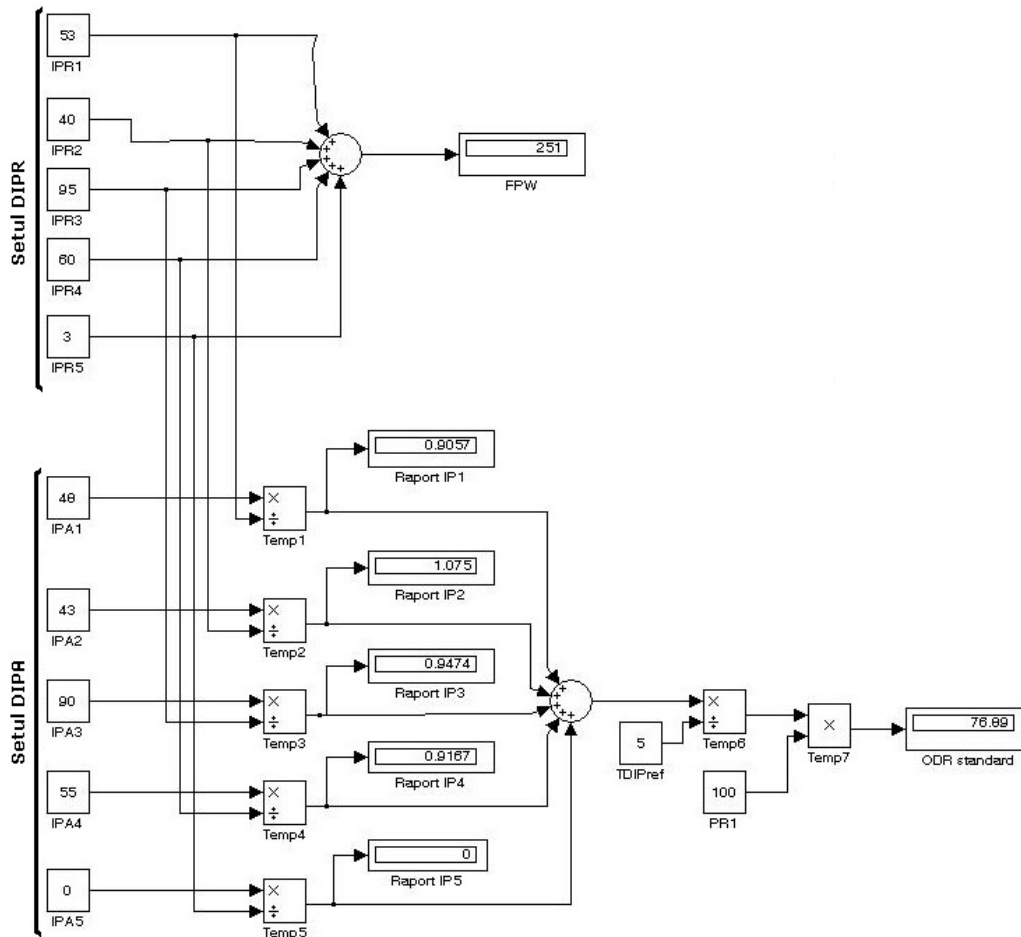


Fig. 3.20 Schema bloc MATLAB pentru determinarea ODR standard pentru o amprentă cu cinci componente

3.4.2. Calculul ponderat al Gradului Global de Recunoaștere.

Calculul standard este cel mai simplu, dar oferă performanțe mai reduse, având în vedere că în acest caz fiecare destinație IP are aceeași importanță, indiferent cât de mare sau cât de mic este procentul de prezență. În felul acesta, modificări temporare ale procentului de prezență poate conduce la modificări drastice în valoarea Gradului Global de Recunoaștere.

Ca exemplu, se consideră o amprentă de referință compusă din patru adrese IP și se presupune că la un moment dat, una din cele patru destinații dispăre din trafic. Calculul standard determină un grad de recunoaștere egal cu 0 pentru

această destinație, afectându-se astfel media aritmetică. Chiar dacă celelalte trei destinații sunt recunoscute 100%, faptul ca a patra lipsește va determina ca media aritmetică să fie doar 75% pentru Gradul Global de Recunoaștere, ceea ce nu este tocmai convenabil pentru ca sistemul să declare ca autentică adresa MAC.

Problema însă apare atunci când destinația IP care lipsește, sau care scade mult sub valoarea de referință, are un procent de prezență mic sau foarte mic. Variațiile acestui procent sunt mici, dar produc diferențe mari în calculul Gradului Global de Recunoaștere.

De aceea, se impune o altă modalitate de calcul, care să țină cont de procentele de prezență ale fiecărei destinații IP ce intră în componența amprentei de referință.

În calculul ponderat, înainte de a stabili gradul de recunoaștere al fiecărei destinații IP, se stabilește o pondere cu care fiecare destinație IP va afecta Gradul Global de Recunoaștere.

Ponderea P_i , a destinației IP_i , se calculează ca fiind raportul dintre procentul de prezență PP_i al destinației IP_i , și valoarea medie a puterii amprentei MFPW.

$$P_i = \frac{PP_i}{MFPW} \quad (15)$$

Gradul de recunoaștere al destinației IP_i se calculează înmulțind raportul dintre procentul de prezență actual PPA_i și procentul de prezență de referință, PPR_i cu ponderea P_i , cu care destinația IP_i intră în calculul Gradului Global de Recunoaștere.

$$RD_i = P_i * \left(\frac{PPA_i}{PPR_i} \right) \quad (16)$$

Calculul ponderat oferă avantajul că limitează efectele diferențelor dintre valorile actuale și cele de referință, astfel încât să se țină cont de “importanța” fiecărei destinații IP. Astfel, dacă o amprentă de referință conține adrese IP cu procente de prezență mici și adrese IP cu procente de referință mari, atunci variația Gradului Global de Recunoaștere va fi afectată mai mult sau mai puțin, funcție de nivelul procentului de prezență.

Schema bloc MATLAB reprezentată în Fig. 3.21 implementează calculul Gradului Global de Recunoaștere prin ambele metode.

Exemplul este același cu cel din Fig. 3.20, astfel încât datele referitoare la procentele de prezență din Tabelul 2 sunt valabile și în cazul acesta. Suplimentar, au fost incluse blocuri necesare calcului ponderat.

Pe lângă determinarea puterii amprentei de referință $FPW=251$, s-a calculat și media $MFPW=50,2$, care este folosită ulterior pentru determinarea ponderilor cu care sunt luate în calcul destinațiile IP din componența amprentei de referință. Tabelul 3 prezintă succint aceste valori.

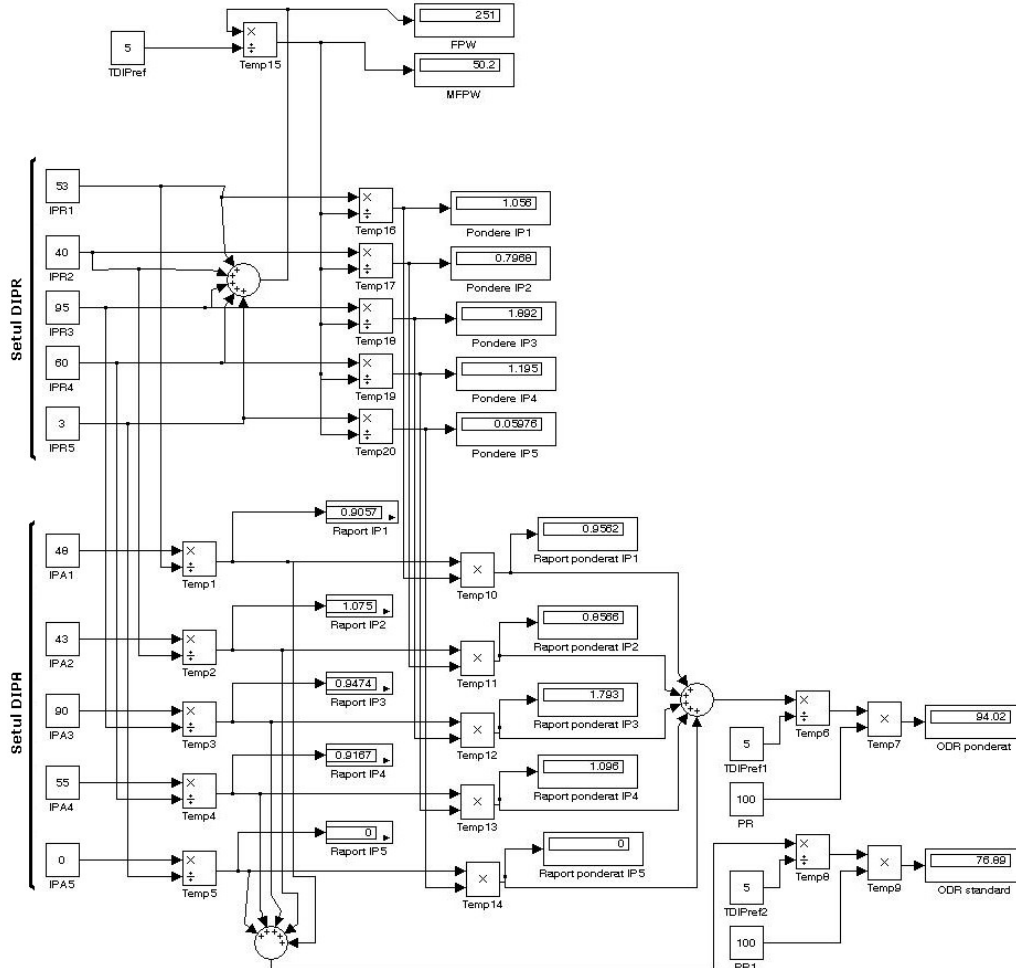


Fig. 3.21 Schema bloc MATLAB pentru determinarea ODR ponderat pentru o amprentă cu cinci componente

Tabelul 3 – Valori pentru procente de prezență în amprenta de referință și cea actuală pentru calculul Gradului Global de Recunoaștere ponderat

| | IP ₁ | IP ₂ | IP ₃ | IP ₄ | IP ₅ |
|-------------------------|-----------------|-----------------|-----------------|-----------------|-----------------|
| Procent de prezență (%) | 53 | 40 | 95 | 60 | 3 |
| Pondere în calculul ODR | 1,056 | 0,7968 | 1,892 | 1,195 | 0,05976 |

Se observă faptul că destinația IP₃ va afecta cel mai mult Gradul Global de Recunoaștere, întrucât factorul de multiplicare este aproximativ 1.9, adică aproape dublu. Cel mai mic efect îl va produce destinația IP₅, care are un factor de multiplicare sub 0.1.

Faptul că destinația IP₅ lipsește din amprenta actuală, a dus în calculul standard la un Grad Global de Recunoaștere de numai 76.89%, valoare relativ mică pentru ca sistemul să poată afirma cu certitudine că adresa MAC este validă.

Destinația IP₅ are un procent de prezență de numai 3%, mult mai mic decât cel al destinației IP₃, care are un procent de prezență de 95%. Variațiile în trafic ale destinației IP₅ nu ar trebui să afecteze prea mult Gradul Global de Recunoaștere. Calculul ponderat ține cont de acest aspect, și asigură destinației IP₅ o contribuție la determinarea ODR numai cu un factor de 0.05976, care nu afectează semnificativ rezultatul final.

Valoarea Gradului Global de Recunoaștere în variantă ponderată este de 94.02%, mult mai corectă decât valoarea rezultată din calculul standard. Sistemul va putea recunoaște ca validă adresa MAC chiar dacă destinația IP₅ lipsește din traficul actual.

3.4.3. Concluzii asupra Gradului Global de Recunoaștere.

Gradul Global de Recunoaștere este un procent care dă o măsură a gradului de asemănare dintre amprenta de referință și cea actuală. Pentru a fi siguri că adresa MAC este reală, ar fi de dorit ca valorile Gradului Global de Recunoaștere să tindă spre 100%. Dar, în practică, se poate alege o limită de recunoaștere „LREC”, care să indice faptul că adresa MAC este validată pentru ODR > LREC. De asemenea, dacă ODR scade sub LREC, chiar dacă nu mai există siguranța că adresa MAC este reală, totuși încă se poate afirma că „probabil” este reală, dacă ODR > LPOS, unde „LPOS” este o limită stabilită. Cu aceste notații, *adresa MAC evaluată* este validată după cum urmează:

$$Adresa\ MAC \rightarrow \left\{ \begin{array}{ll} REALA & ODR \geq LREC \\ PROBABIL\ REALA & LPOS \leq ODR < LREC \\ FALSIFICATA & ODR < LPOS \end{array} \right\} \quad (17)$$

Gradul Global de Recunoaștere se dă sub forma unui procent, funcție de care se validează adresa MAC. Pentru o acuratețe sporită, este de dorit ca TDIP_{ref} (numărul destinațiilor ce intră în componența amprentei de referință) să fie cât mai mare. Fluctuațiile prezenței adreselor de IP în trafic pot influența mai puternic gradul de recunoaștere dacă numărul destinațiilor din amprenta de referință este mic.

3.5. Model Matematic pentru descrierea metodei DTF.

În cadrul paragrafului, metoda DTF se formalizează printr-un model matematic ce descrie atât etapa de generare inițială a amprenteii, cât și etapa de recunoaștere și validare în timp real [Sas-12d].

3.5.1. Definiții și notații.

Se definește M_{IP} , ca fiind mulțimea tuturor adreselor IP v.4 astfel:

$$M_{IP} = \{IP_k, k \in [0, NIP]\} \quad (18)$$

unde:

- IP_k reprezintă o adresă IP din spațiul IP v.4.
- NIP reprezintă numărul total de adrese IP din spațiul IP v.4.

Se definește un pachet de date NP, captat într-un punct al rețelei, la momentul de timp T, ca fiind o mulțime de variabile ce caracterizează pachetul, de forma:

$$NP = \{T, IP_{sursa}, MAC_{sursa}, PORT_{sursa}, IP_{destinație}, MAC_{destinație}, PORT_{destinație}, LUNGIME, PROTOCOL\} \quad (19)$$

unde:

- IP_{sursa} reprezintă adresa IP a stației care a trimis pachetul
- $IP_{destinație}$ reprezintă adresa IP a stației căreia îi este destinat pachetul
- MAC_{sursa} reprezintă adresa fizică a plăcii de rețea care a trimis pachetul
- $MAC_{destinație}$ reprezintă adresa fizică a plăcii de rețea căreia îi este destinat pachetul
- $PORT_{sursa}$ reprezintă portul folosit la transmiterea pachetului
- $PORT_{destinație}$ reprezintă portul spre care se va direcționa pachetul pe stația destinație
- $LUNGIME$ reprezintă lungimea pachetului, exprimată în biți
- $PROTOCOL$ reprezintă protocolul folosit la codificarea pachetului

Se notează:

- PP_k – procentul de prezență a traficului către destinația IP_k , în traficul aferent unei adrese MAC
- LP – limita minimă de prezență necesară ca o destinație IP să intre în amprenta de trafic.
- S_{INTERV} – numărul de subintervale egale, în care se împarte intervalul de determinare a amprenteii de trafic pentru a stabili gradul de constanță în timp a traficului către o destinație IP
- NSI – numărul de subintervale în care există trafic către destinația IP observată
- $MININTERV$ – numărul minim de subintervale necesar pentru a admite o destinație IP în amprenta de trafic

3.5.2. Sistem pentru determinarea amprentei de trafic a unei adrese MAC precizate.

În Fig. 3.22 este reprezentată schema bloc a sistemului conceput pentru determinarea amprentei de trafic.

Toate blocurile vor fi analizate sistemic, prin prisma relațiilor după care se generează ieșirile, funcție de intrări și de rolul blocului.

- *Intrarea sistemului*: se definește ca fiind mulțimea tuturor pachetelor de rețea, care au fost captate în punctul de observare al sistemului la un moment, mulțime notată cu M_{NP} (reprezintă o submulțime a mulțimii M_{IP}).

$$u(t) = M_{NP} \{ NP_k | k - \text{variabil}, \text{ funcție de } t \}, M_{NP} \subset M_{IP}. \quad (20)$$

- *Ieșirea sistemului*: se definește ca fiind mulțimea tuturor perechilor de tip $\{\text{Adresă}_{IP}, \text{Procent}_{Prezență}\}$, notată M_{DTF} , și care formează amprenta de trafic a adresei MAC urmărite.

$$y(t) = M_{DTF} \{ P(IP_k, PP_k) | IP_k - \text{destinație cu trafic constant } PP_k \} \quad (21)$$

- *Subsistemul „FILTRU MAC”*: primește la intrare un set de pachete din mulțimea M_{NP} , și le filtrează, lasând la ieșire doar acele pachete care sunt emise de către sursa cu adresa MAC urmărită. Mulțimea de pachete filtrată va fi notată cu M_{NPM} .

$$u_1(t) = u(t) = M_{NP} \{ NP_k | k - \text{variabil}, \text{ funcție de } t \}, M_{NP} \subset M_{IP}. \quad (22)$$

$$y_1(t) = M_{NPM} \{ NP_{kM} | MAC_k = MAC \}, M_{NPM} \subset M_{NP} \subset M_{IP}. \quad (23)$$

- *Subsistemul „LISTA IP”*: primește la intrare un set de pachete din mulțimea M_{NPM} , și generează o listă cu toate adresele de IP ale destinațiilor.

$$u_2(t) = y_1(t) = M_{NPM} \{ NP_{kM} | MAC_k = MAC \}, M_{NPM} \subset M_{NP} \subset M_{IP}. \quad (24)$$

$$y_2(t) = M_2 \{ IP_k | \forall NP_{kM} \in M_{NPM}, IP_k = \text{adresa IP destinație din } NP_{kM} \} \quad (25)$$

- *Subsistemul „SUMATOR IP”*: primește la intrare o listă de adrese IP destinație și crează o altă listă în care se memorează atât adresa IP cât și numărul total de apariții.

$$u_3(t) = y_2(t) = M_2 \{ IP_k | \forall NP_{kM} \in M_{NPM}, IP_k = \text{adr. IP dest. din } NP_{kM} \} \quad (26)$$

$$y_3(t) = y_2(t-1) + u_3(t) = M_3 \{ a_k IP_k | a_k - \text{număr de apariții a lui } IP_k \} \quad (27)$$

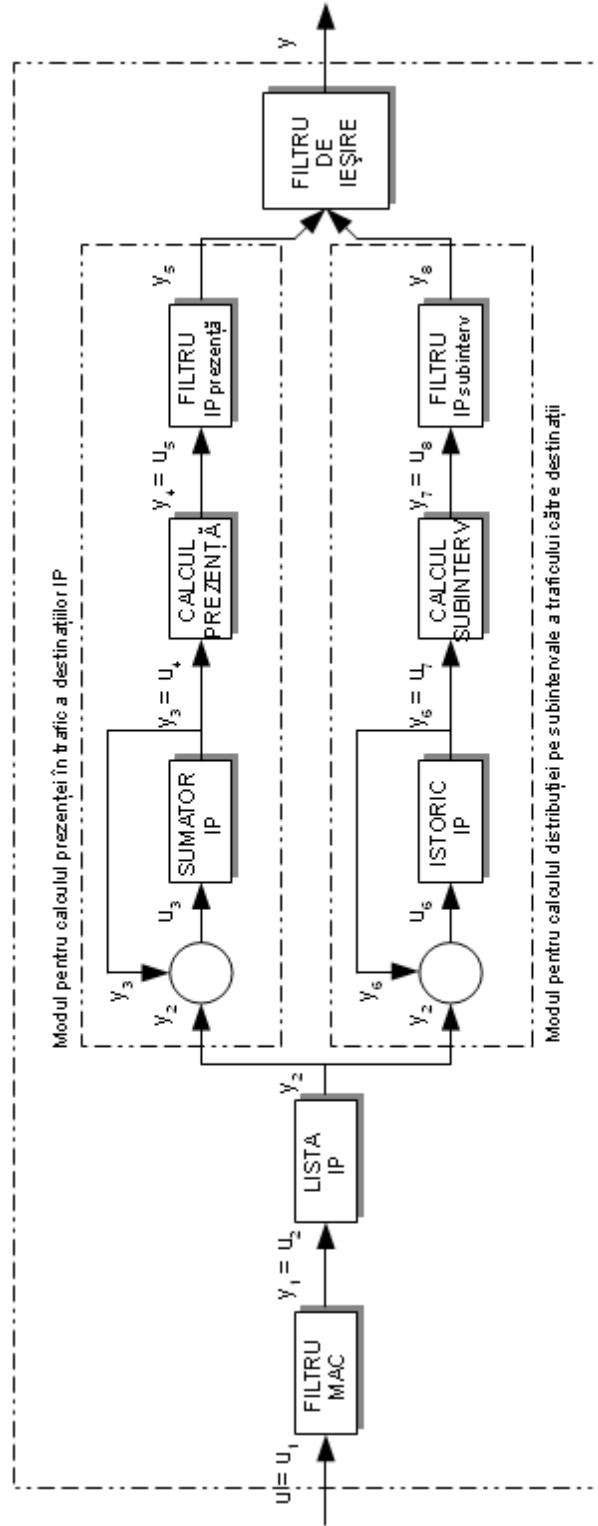


Figura 3.22 – Schema bloc a sistemului destinat determinării amprentei de trafic, prin metoda DTF

- *Subsistemul „CALCUL PREZENȚĂ”*: primește la intrare o lista adreselor IP destinație, împreună cu numărul lor de apariții, și calculează procentul de prezență în trafic a fiecărei destinații. Rezultatul este furnizat sub forma unor perechi de forma $P(IP_k, PP_k)$, unde PP_k reprezintă procentul de prezență al destinației IP_k .

$$u_4(t) = y_3(t) = M_3 \{ a_k IP_k | a_k - \text{numar de aparitii a lui } IP_k \} \quad (28)$$

$$y_4(t) = M_4 \{ P(IP_k, PP_k) | PP_k = \frac{a_k}{t} \} \quad (29)$$

- *Subsistemul „FILTRU $IP_{prezență}$ ”*: primește la intrare mulțimea M_4 a perechilor IP-prezență și filtrează la ieșire doar acele perechi pentru care procentul de prezență depășește limita minimă LP.

$$u_5(t) = y_4(t) = M_4 \{ P(IP_k, PP_k) | PP_k = \frac{a_k}{t} \} \quad (30)$$

$$y_5(t) = M_5 \{ P(IP_k, PP_k) | P(IP_k, PP_k) \in M_4 \text{ si } PP_k \geq LP \} \quad (31)$$

- *Subsistemul „ISTORIC IP”*: primește la intrare o listă de adrese IP destinație și, împreună cu înregistrările anterioare, păstrează toate momentele de timp când a existat trafic către fiecare destinație.

$$u_6(t) = y_2(t) = M_2 \{ IP_k | \forall NP_{kM} \in M_{NPM}, IP_k = \text{adr. IP dest. din } NP_{kM} \} \quad (32)$$

$$y_6(t) = M_6 \{ P(IP_k, M_{ISTORIC}) | M_{ISTORIC} = \{ t_k | t_k - \text{min. cu trafic catre } IP_k \} \} \quad (33)$$

- *Subsistemul „CALCUL SUBINTERVALE”*: primește la intrare înregistrările din mulțimea M_6 și calculează numărul de subintervale în care se regăsește trafic către fiecare destinație IP.

$$u_7(t) = y_6(t) = M_6 \{ P(IP_k, M_{ISTORIC}) | M_{ISTORIC} = \{ t_k | t_k - \text{min. trafic} \} \} \quad (34)$$

$$y_7(t) = M_7 \{ P(IP_k, NSI_k) | NSI_k - \text{nr de subinterv. pentru } IP_k, 0 \leq NSI_k \} \quad (35)$$

- *Subsistemul „FILTRU $IP_{subinterv}$ ”*: primește la intrare mulțimea M_7 a perechilor IP-subintervale și filtrează la ieșire doar acele perechi pentru care numărul de subintervale depășește limita minimă MIN.

$$u_8(t) = y_7(t) = M_7 \{ P(IP_k, NSI_k) | NSI_k - \text{nr subinterv. pt. } IP_k, 0 \leq NSI_k \} \quad (36)$$

$$y_8(t) = M_8 \{ P(IP_k, NSI_k) | NSI_k \in M_7 \text{ si } NSI_k \geq MIN_{INTERV} \} \quad (37)$$

- *Subsistemul „FILTRU DE IEȘIRE”*: primește la intrare două mulțimi M_5 și M_8 , și pe baza lor crează la ieșire mulțimea M_{DTF} care este de forma mulțimii M_5 , dar cu proprietatea că toate destinațiile IP din M_{DTF} , se regăsesc atât în M_5 cât și în M_8 .

$$u_9(t) = y_5(t) \text{ si } y_8(t) \quad (38)$$

$$y(t) = y_9(t) = y_5(t) \cap y_8(t) = M_{DTF} \{ P(IP_k, PP_k) | IP_k \in M_5 \text{ si } IP_k \in M_8 \} \quad (39)$$

3.5.3. Sistem pentru validarea unei adrese MAC întâlnite în trafic.

În Fig. 3.23 este prezentată schema bloc a sistemului conceput pentru validarea unei adrese MAC în timp real, bazat pe metoda DTF. În esență, schema este compusă din două module, unul reprezentând o bază de date, care stochează și furnizează la cerere amprente de referință, și celălalt format din câteva blocuri, care au rolul de a extrage din traficul real amprenta actuală. Cele două module sunt conectate împreună pentru a compara amprenta actuală cu amprenta de referință, furnizându-se la ieșire Gradul Global de Recunoaștere (ODR).

Sistemul conceput realizează astfel trei funcționalități distincte și anume:

- determinarea amprentei de trafic actuale, pe baza transferului de pachete captat la intrarea sistemului
- realizarea unei baze de date care stochează amprente de trafic ale tuturor adreselor MAC din sistem
- determinarea Gradului Global de Recunoaștere.

Subsistemele primei ramuri, care implementează prima funcție, au fost explicitate și formalizate în paragraful 3.6.2.

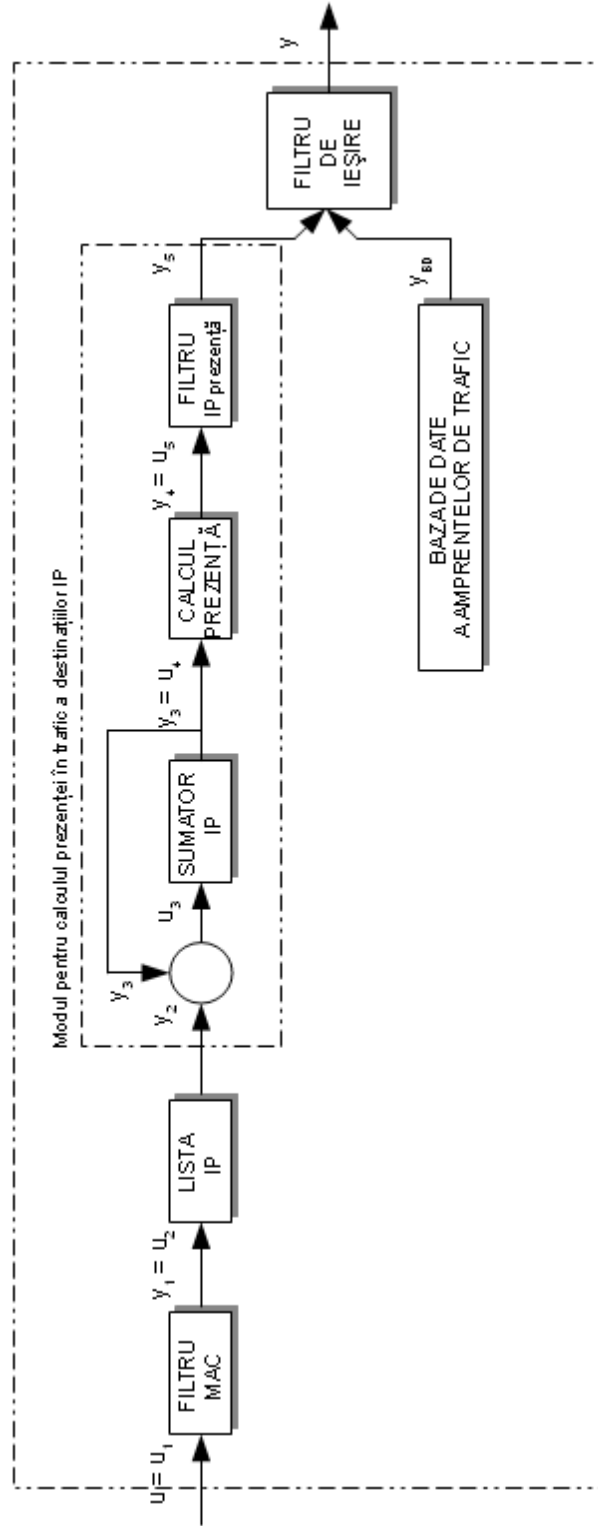


Figura 3.23 – Schema bloc a sistemului destinat pentru validarea unei adrese MAC în timp real, prin metoda DTF

Schema bloc a subsistemului care implementează determinarea Gradului Global de Recunoaștere, utilizând metoda DTF, este prezentată în Fig. 3.24.

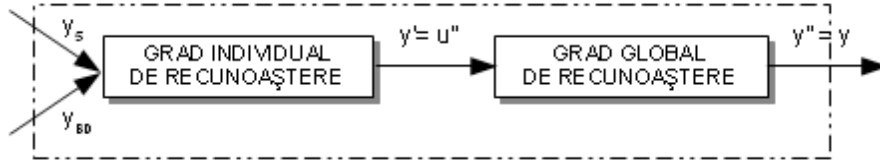


Fig. 3.24 Schema bloc pentru determinarea Gradului Global de Recunoaștere în metoda DTF

- *Subsistemul "GRAD INDIVIDUAL DE RECUNOAȘTERE"*: primește la intrare , ieșirile y_5 și y_{BD} , conform schemei bloc din Fig. 3.24. Cele două mărimi reprezintă de fapt amprenta de trafic actuală M_{ACT} (y_5) și amprenta de trafic de referință M_{REF} (y_{BD}), definite conform relațiilor (40) și (41). Funcție de prezența actuală a componentelor din amprenta de trafic de referință, se stabilește un *grad de recunoaștere individual* G_k .

$$y_5(t) = M_{ACT} \{ P(IP_{kACT}, PP_{kACT}) \} - \text{amprenta de trafic actuala} \quad (40)$$

$$y_{BD}(t) = M_{REF} \{ P(IP_{kREF}, PP_{kREF}) \} - \text{amprenta de trafic de referinta} \quad (41)$$

$$y'(t) = M' \{ G_k | \forall IP_{kREF} \in M_{REF} \text{ si } \forall IP_{kACT} \in M_{ACT}, \text{ cu } IP_{kREF} = IP_{kACT} \} \quad (42)$$

$$G_k = \left\{ \begin{array}{l} 100 \text{ daca } PP_{kACT} \geq PP_{kREF} \\ \frac{PP_{kACT}}{PP_{kREF}} \text{ daca } PP_{kACT} < PP_{kREF} \end{array} \right\} \quad (43)$$

unde notațiile sunt cele introduse în paragraful 3.6.1

- *Subsistemul "GRAD GLOBAL DE RECUNOAȘTERE"*: primește la intrare mulțimea M' a gradelor individuale de recunoaștere și calculează valoarea Gradului Global de Recunoaștere, aferent celor NP_{REF} perechi din M_{REF} .

$$y(t) = y''(t) = \frac{\sum_{k=0}^{NP_{REF}} G_k}{NP_{REF}} \quad (44)$$

3.6. Dezvoltarea unui model Fuzzy pentru determinarea traficului constant.

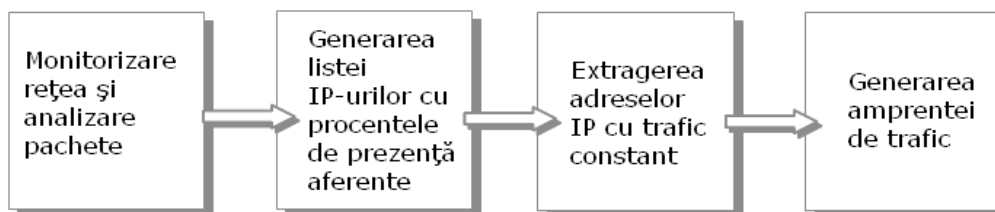


Fig. 3.25. Schema bloc pentru validarea unei adrese MAC prin metoda DTF

Funcționarea de ansamblu a metodei DTF propuse, poate fi schematizată ca în Fig. 3.25. Traficul vehiculat prin rețea este trecut prin primul modul, care analizează pachetele și le stochează într-o bază de date special pregătită. În a doua parte se extrage o listă cu destinațiile IP întâlnite în trafic și se calculează pentru fiecare procentul de prezență, ca fiind raportul dintre numărul de minute în care a existat trafic către o destinație IP, și numărul total de minute ale intervalului evaluat.

Următorul modul are cea mai importantă sarcină, și anume să stabilească dacă traficul către o destinație IP este sau nu un „trafic constant”. La ieșire, modulul trebuie să furnizeze numai IP-urile care prezintă un trafic constant. Importanța stabilirii corecte a traficului constant, derivă din aceea că rezultatele furnizate în partea aceasta vor fi folosite în procesul de validare a adreselor MAC întâlnite în trafic. Dacă sistemul permite „trecerea” spre ieșire a unei destinații IP care nu prezintă trafic constant, atunci procesul de identificare în timp real va da semnale greșite.

Ultimul modul preia lista destinațiilor IP cu trafic constant și le pune împreună sub forma unei amprente de trafic. Amprenta aceasta va purta numele de „amprentă de referință” și va fi comparată cu „amprenta actuală” în procesul de identificare în timp real a adresei MAC.

Logica Fuzzy [Zad-07], [Zad-05], [Zad-96], [Zad-94], [Zad-62], poate reprezenta o abordare utilă în procesul de determinare a traficului constant.

3.6.1. Descrierea sistemului.

Fig. 3.26 prezintă un sistem Fuzzy de tip Mandami [Mam-77], [Lee-90], [Elk-94], cu patru intrări și o ieșire [Sas-12c]. Rolul sistemului constă în evaluarea traficului spre o destinație IP, într-un interval de timp T.

Cele patru variabile de intrare semnifică de fapt patru diviziuni egale ale intervalului T. Pe fiecare subinterval se calculează procentul de prezență al traficului către destinația IP, valoarea rezultată fiind transmisă spre intrarea corespunzătoare a sistemului mandami.

Datorită faptului că fiecare intrare este un subinterval al intervalului T, rezultă că toate cele patru intrări vor avea aceeași funcționalitate. Singura diferență este dată de faptul că fiecare intrare se referă la un interval de timp diferit.

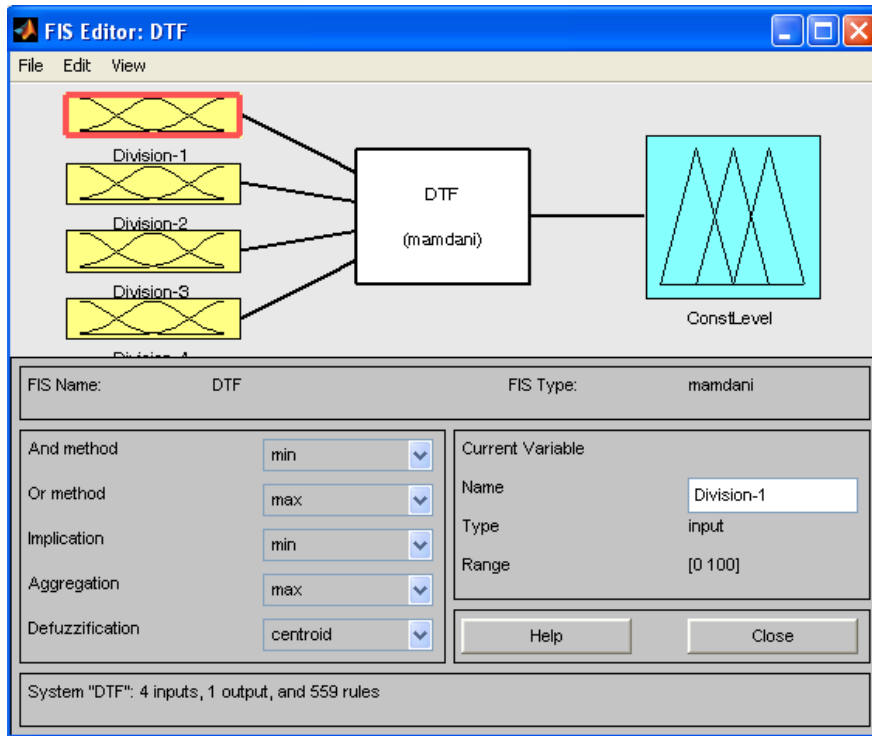


Fig. 3.26 Sistem Fuzzy pentru determinarea traficului constant

ieșirea sistemului este dată sub forma unei valori, care dă o măsură a gradului de constanță a traficului spre destinația IP evaluată. Cu cât valorile de ieșire sunt mai mari, cu atât certitudinea este mai mare cu privire la traficul constant.

Pentru fiecare subinterval din cele 4, metoda DTF calculează procentul de prezență și îl trimite ca intrare în sistemul mandami. Acesta evaluează intrările și generează ieșirea corespunzătoare acestora.

3.6.2. Structura intrărilor.

Domeniul de valori pentru variabilele de intrare, prezentate grafic în Fig. 3.27, este considerat ca fiind $[0..100]$, întrucât fiecare variabilă reprezintă procentul de prezență în trafic a adresei IP evaluate.

Valorile funcțiilor de apartenență au fost stabilite astfel:

- „Continuu” - o funcție de tip „trapmf” caracterizată prin următorii parametri: $[85\ 95\ 100\ 100]$. Se încadrează în categoria aceasta traficul care prezintă o rată de prezență atât de ridicată încât poate fi considerată continuuă.

- „Prezență-Ridicată” - o funcție de tip „trimf” caracterizată prin următorii parametrii: [55 75 95]. Se încadrează în categoria aceasta traficul care prezintă o rată de prezență ridicată.
- „Prezență-Medie” - o funcție de tip „trimf” caracterizată prin următorii parametrii: [30 50 70]. Se încadrează în categoria aceasta traficul care prezintă o rată de prezență medie.
- „Prezență-Mică” - o funcție de tip „trimf” caracterizată prin următorii parametrii: [5 25 45]. Se încadrează în categoria aceasta traficul care prezintă o rată de prezență mică.
- „Absent” - o funcție de tip „trapmf” caracterizată prin următorii parametrii: [0 0 5 15]. Se încadrează în categoria aceasta traficul care prezintă o rată de prezență atât de mică încât poate fi considerat absent.

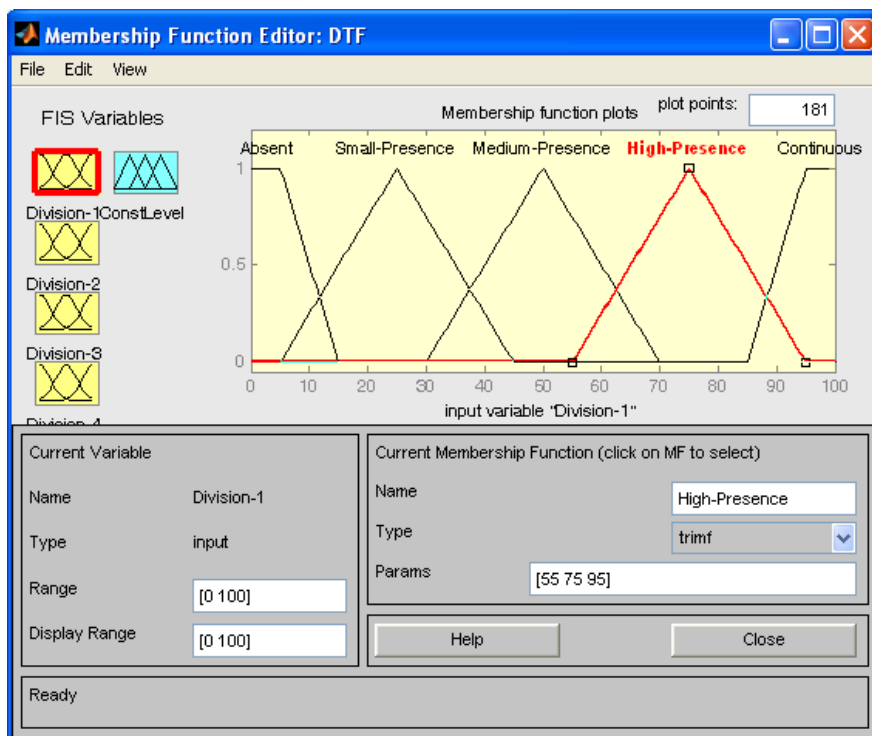


Fig. 3.27 Structura variabilelor de intrare

Cu alte cuvinte, ca să se poată afirma despre un trafic că este „continuu”, ar trebui să prezinte rate de prezență în jurul valorii de 100%. Dacă rata scade în jurul valorii de 75%, traficul va avea „prezență ridicată”. La 50% deja se vorbește despre „prezență medie”, iar la 25% despre „prezență mică”. Valorile foarte mici vor fi considerate ca „absent”.

În practică, procentul de prezență nu apare sub forma unor valori discrete de tipul 25% / 50% / 75% / 100%, ci mai degrabă sub forma unor valori repartizate pe tot intervalul între 0% și 100%. Din cauza aceasta, pentru a putea caracteriza în mod deplin traficul, au fost alese funcții de tip „trimf” și „trapmf”.

Este important de menționat faptul că metoda DTF nu este interesată numai de ratele foarte ridicate ale procentelor de prezență. Sigur, este de dorit ca amprente de trafic să conțină cât mai multe adrese care prezintă trafic cu rate mari de prezență, însă nu este absolut necesar. Cel mai important este ca traficul să fie constant, fără să fie obligatorie o rată mare de prezență.

Chiar dacă metoda DTF nu are nevoie neapărat de adrese IP cu rate mari de prezență în trafic, totuși, „puterea” unei amprente de trafic este influențată de ratele de prezență.

Prin „putere” se înțelege cât de rapid și cât de sigur este procesul de identificare în timp real. Componentele cu rate mari de prezență conduc la o detecție rapidă și cu un grad foarte mare de încredere. Componentele cu rate mici de prezență vor conduce și ele la răspunsul final, dar vor avea nevoie de un timp mai mare.

3.6.3. Structura ieșirii.

Ieșirea sistemului, prezentată grafic în Fig. 3.28 trebuie să reflecte natura constantă, sau non-constantă a traficului către o anumită destinație IP.

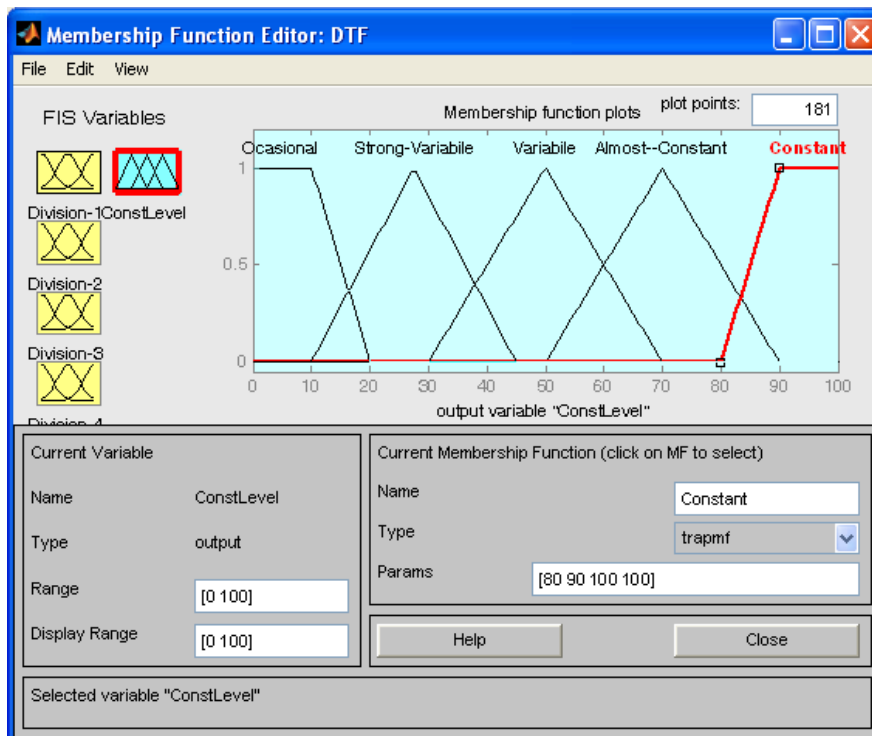


Fig. 3.28 Structura ieșirii

Din acest motiv, funcțiile de apartenență au fost definite în felul următor:

- „Constant” - o funcție de tip „trapmf” caracterizată prin următorii parametrii: [80 90 100 100], reprezintă un trafic care este constant în toate cele 4 subintervale de intrare.
- „Aproape Constant” - o funcție de tip „trimf” caracterizată prin următorii parametrii: [50 70 90], reprezintă un trafic care prezintă anumite variații pe parcursul celor 4 subintervale de intrare, dar care poate fi totuși considerat aproape constant.
- „Variabil” - o funcție de tip „trimf” caracterizată prin următorii parametrii: [30 50 70], reprezintă un trafic care deși apare în toate cele 4 subintervale, prezintă variații mari pe parcursul celor 4 subintervale și drept urmare nu poate fi folosit ca parte din amprentele de trafic.
- „Puternic Variabil” - o funcție de tip „trimf” caracterizată prin următorii parametrii: [10 27.5 45], reprezintă un trafic care prezintă variații foarte mari pe parcursul celor 4 subintervale de intrare.
- „Ocazional” - o funcție de tip „trapmf” caracterizată prin următorii parametrii: [0 0 10 20], reprezintă un trafic care prezintă variații foarte mari pe parcursul celor 4 subintervale de intrare

3.6.4. Definirea regulilor.

Regulile definite trebuie să genereze ieșirea funcție de intrări (Fig. 3.29). Fiecare intrare reprezintă un procent de prezență în trafic a unei adrese IP. Sunt patru intrări deoarece intervalul evaluat a fost împărțit în patru subintervale egale.

Este important faptul că „trafic constant” nu implică în mod obligatoriu să existe rate mari de prezență, ci mai degrabă să fie variații mici de-a lungul celor patru subintervale egale. În aceste condiții, regulile au fost generate pe baza unor convenții, de tipul celor menționate mai jos.

Sistemul va da la ieșire „Constant” dacă se situează într-unul din următoarele cazuri:

- toate cele 4 intrări sunt la fel;
- trei intrări sunt de nivel „L” iar una este de nivel „L-1” sau „L+1”;
- două intrări sunt de nivel „L” iar două sunt de nivel „L-1” sau „L+1”;
- alte câteva cazuri particulare.

Dacă nu s-au îndeplinit condițiile anterioare, dar valorile sunt aproape de acestea, atunci ieșirea va fi „Aproape Constant”. De exemplu, trei intrări sunt pe nivel „L” și o intrare este pe nivel „L-2” sau „L+2”. (Multe alte exemple ar putea fi menționate la această categorie).

Pentru o ieșire de tip „Variabil”, diferențele dintre nivele sunt mult mari. Tot aici se includ și cazurile în care există trafic cu rate mari în 3 nivele, dar nu există în al patrulea. Pentru ca ieșirea să fie declarată „Puternic Variabilă”, diferențele sunt mult mai mari, iar pentru „Ocazional” sunt necesare două sau trei intervale cu intrări declarate absent.

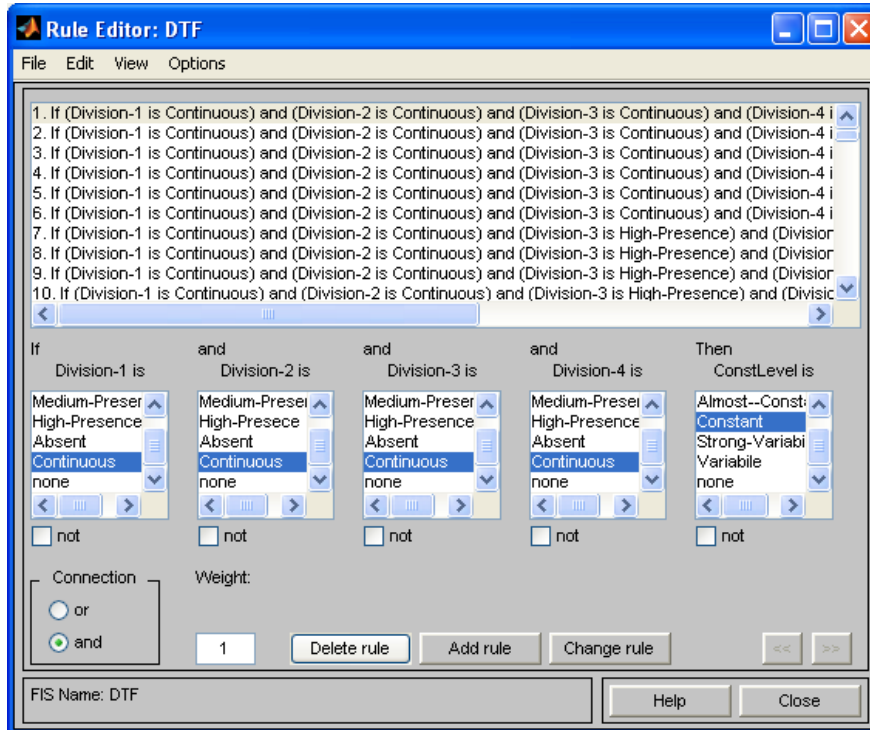


Fig. 3.29 Reguli pentru generarea valorii de ieșire

Toate regulile date ca exemple, au ca scop o înțelegere a modelului în sine. Fiecare caz a fost analizat în mod individual și i s-au atribuit regulile potrivite.

3.6.5. Utilizarea modelului fuzzy în determinarea amprentei de referință a metodei DTF.

Generarea amprentei de referință afectează puternic performanțele procesului de recunoaștere în timp real a stațiilor din rețea. De aceea este foarte important să se identifice cu exactitate adresele IP care prezintă în timp un trafic constant.

Printr-un calcul standard, calculul procentului de prezență a unei adrese IP se realizează prin împărțirea numărului total de minute în care a existat trafic spre destinația IP, la numărul total de minute evaluate. Chiar dacă relația este una simplă, rezultatul nu reflectă neapărat cât de „constant” este traficul pe perioada luată în considerare.

Aplicarea logicii fuzzy în procesul de generare a amprentei de referință, crește performanțele procesului de identificare în timp real, și evidențiază mai elocvent adresele IP care prezintă un trafic constant, față de cele cu trafic variabil. Pentru a înțelege și mai bine fenomenul, ne vom ocupa în continuare de câteva cazuri în care modelarea fuzzy conduce la obținerea unor rezultate rapide și de calitate.

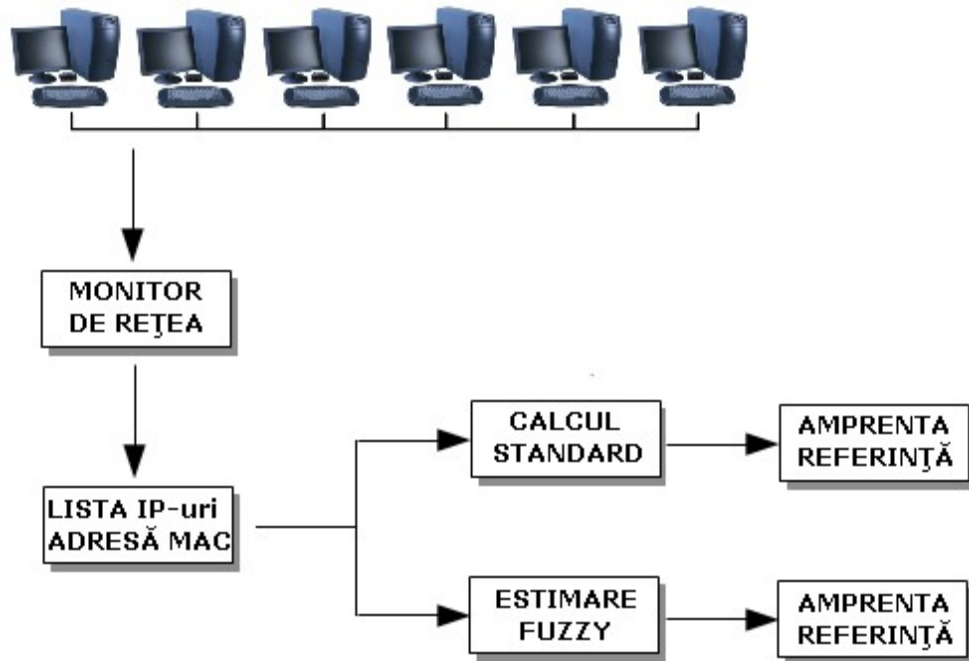


Fig. 3.30 Generarea amprentei de referință folosind calculul standard, respectiv modelarea Fuzzy

Fig. 3.30 prezintă grafic generarea amprentei de referință în două variante: calcul standard și modelare fuzzy. Rețeaua este monitorizată permanent într-un anumit punct, extrăgându-se lista adreselor IP spre care au plecat pachetele. Această listă are atașat în dreptul fiecărei adrese IP, numărul de minute în care a existat trafic spre ea.

Lista este ulterior trimisă ca intrare spre cele două module diferite de estimare a traficului constant. Estimatorul standard utilizează ca relație de calcul raportul menționat anterior, în timp ce estimatorul fuzzy aplică regulile definite în sistemul mandami. La final se obțin două amprente de referință, fiecare generată din modulele respective.

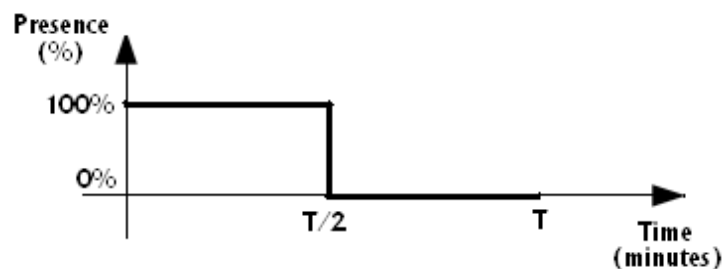


Fig. 3.31 Prezență 100% în prima parte a intervalului și 0% în cea de-a doua parte

În Fig. 3.31 s-a descris unul din cazurile „înșelătoare” pentru calculul standard. După cum se poate vedea, destinația IP evaluată prezintă trafic în fiecare

minut din prima jumătate a intervalului, după care se oprește complet și este total absent în cea de-a doua parte. Printr-o estimare standard, procentul de prezență rezultat va fi de 50%, valoare care va duce la concluzia eronată, că această destinație IP ar avea trafic constant. În contrast, modelul Fuzzy identifică absența din cea de-a doua parte și generează ca răspuns un trafic „variabil”.

Traficul „izolat”, caracterizat prin apariții sporadice de-a lungul axei timpului, va fi identificat de asemenea corect de către modelarea fuzzy, prin împărțirea intervalului în cele patru subintervale și verificarea fiecăruia în parte. Rezultatul va fi dat sub forma unui trafic „variabil”, „puternic variabil” sau „ocazional”.

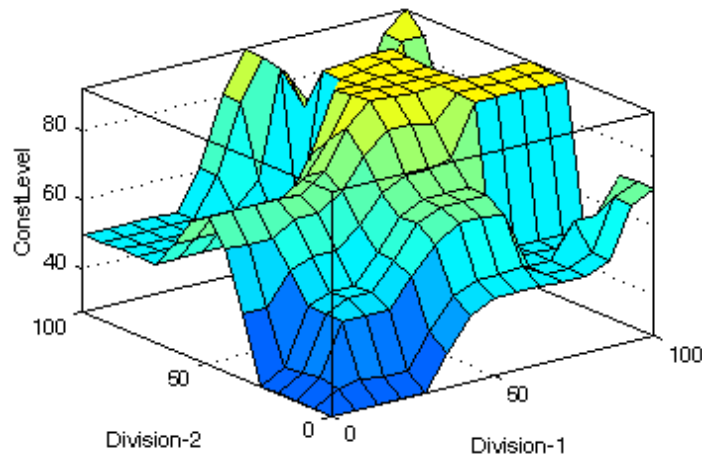


Fig. 3.32 Perspectiva de suprafață a modelului fuzzy

Fig. 3.32 prezintă perspectiva de suprafață a modelului fuzzy, utilizând Fuzzy Logic Toolbox.

Rezultatele obținute prin modelarea fuzzy sunt estimate mai corect decât printr-un calcul standard, în principal, datorită faptului că sunt evaluate 4 subintervale în locul intervalului întreg.

Ampretele de referință generate printr-o estimare standard pot accepta destinații IP care nu prezintă în mod real un trafic constant. Aceasta înseamnă că în procesul de validare a adreselor MAC, sistemul va căuta adrese IP care vor lipsi din ampretele actuale extrase din traficul curent. Lipsa lor va conduce la semnalarea adresei MAC ca fiind falsificată, deși acest lucru poate să nu fie adevărat. Chiar dacă totuși traficul conține adresele IP din ampreta de referință, stabilitatea procesului de recunoaștere prin estimare standard este mai slabă și poate conduce la alarme false cu privire la integritatea adresei MAC avute în vedere. Alarmele false sunt procesate de către nivelele superioare decizionale și s-ar prea putea ca pe baza lor să se aplice eronat anumite măsuri.

Cooperarea dintre regulile modelului fuzzy pentru generarea răspunsului final, poate fi observată cu ajutorul „Rule Viewer” din Fig. 3.33. Se poate observa cum se aplică diverse reguli funcție de cazul concret. Mai mult, se poate folosi „Rule Viewer” pentru a testa manual modelul pentru diverse valori de intrare. Putem seta printr-un simplu click, valoarea pe care o dorim la fie care intrare, iar la ieșire vom observa valoarea rezultată.

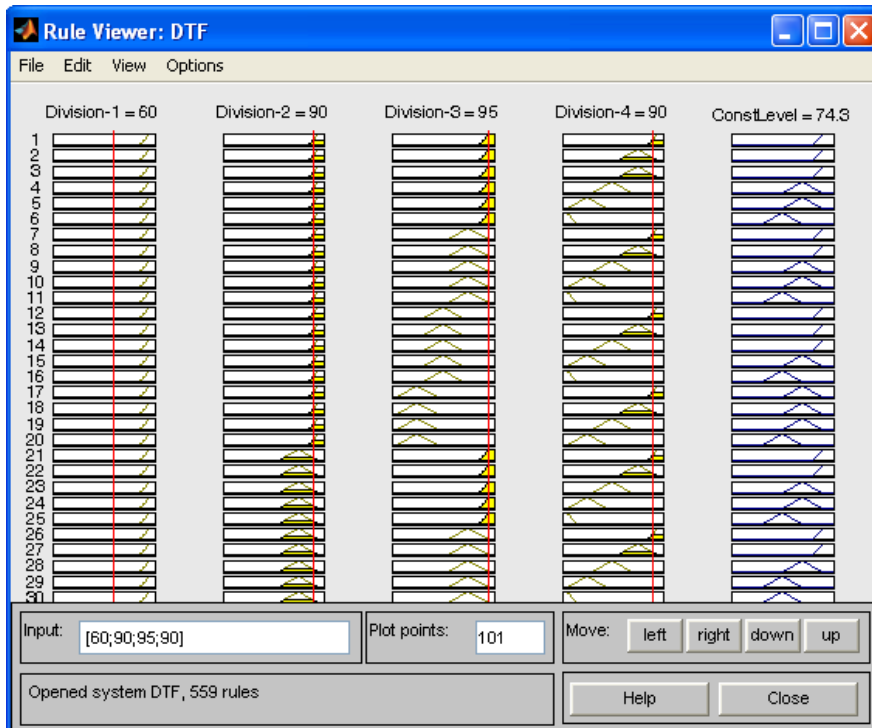


Fig. 3.33 „Rule Viewer” pentru modelul fuzzy

3.6.6. Concluzii asupra modelării fuzzy.

Utilizarea modelării logicii fuzzy în cadrul metodei DTF reprezintă o abordare atractivă în momentul în care se dorește să se afle dacă traficul către o destinație IP poate sau nu să fie considerat constant. Rezultatul este dat sub forma unei valori procentuale, și de asemenea sub forma unui răspuns de genul „constant”, „aproape constant”, „variabil”, „puternic variabil”, „ocazional”.

Cel mai important segment al metodei DTF este generarea amprentelor de referință. Dacă o amprentă conține adrese IP care nu prezintă trafic constant, atunci procesul de recunoaștere va fi alterat și se vor genera alarme false. De aceea este foarte important să existe certitudinea că în amprentele de referință nu intră decât adrese IP cu trafic constant.

Varianta de estimare standard utilizează în calcul raportul dintre numărul total de minute în care avem trafic către o anumită adresă IP și numărul total de minute. Modelul fuzzy împarte intervalul în patru subintervale egale și estimează procentul de prezență pe fiecare subinterval în parte. Ieșirea este generată cu ajutorul setului de reguli definit în sistem. Simulările în Matlab oferă o serie de informații utile în procesul de monitorizare și vizualizare a diverselor aspecte prezente în sistem. Fiecare bloc din diagramele MATLAB poate fi ușor configurat.

Se poate deci afirma, în concluzie, că aplicarea logicii fuzzy în metoda DTF crește performanțele acesteia, oferind o soluție rapidă și eficientă pentru diferențierea dintre traficul constant și cel variabil. „Puterea” unei amprente de trafic este dată de gradul de „constanță” pe care îl au componentele sale, adică traficul către diverse adrese IP. Ampretele de trafic mai „puternice” conduc la rezultate mai bune. Logica fuzzy s-a dovedit a fi un instrument important în acest proces.

3.7. Servicii/tehnologii care favorizează utilizarea metodei DTF.

După cum s-a prezentat în lucrarea de față, metoda DTF se bazează pe traficul emis de o stație către diverse destinații. Cu cât se reușește să se genereze amprente de trafic mai puternice, cu atât crește gradul de recunoaștere globală și viteza de identificare a stației.

În practică, există o serie de aspecte care favorizează aplicarea metodei DTF întrucât crează un cadru propice pentru obținerea amprentelor de trafic de mare putere. Metoda DTF este necesară cu predilecție companiilor, mai ales a celor mari. Persoanele individuale, sau companiile mici, cu număr redus de calculatoare, nu au nevoie de sisteme avansate de detecție a pătrunderilor neautorizate. Companiile mari sunt cele care vor folosi în primul rând metode de securizare.

Modul în care se desfășoară activitățile în companiile mari, dezvoltă un cadru foarte prielnic pentru ca metoda DTF să poată fi aplicată cu succes. În continuare, se vor prezenta câteva astfel de cazuri, care favorizează aplicarea metodei DTF.

Utilizarea aplicațiilor software de tip ERP.

Companiile mari utilizează în mod curent aplicații software de tip ERP, pentru gestionarea întregii activități prestate de către firmă, de la actele contabile până la urmărirea producției, calitate și managementul resurselor umane. Literatura prezintă diverse implementări, cu avantajele și dezavantajele aferente [Kal-12], [Rit-08], [Esf-10], [Zha-09].

Fiecare persoană care lucrează în firmă, se identifică în sistem pe baza numelui de utilizator și a parolei, după care accesează resursele puse la dispoziție de sistemul ERP.

Un astfel de sistem ERP crează un trafic permanent între stațiile client și server. Traficul nu poate fi realizat însă decât de utilizatori autentificați în sistemul ERP. În felul acesta, se crează premisele necesare unei amprente de trafic care să aibă în componența ei traficul generat prin intermediul sistemului ERP.

Comunicarea între angajați prin intermediul unor servere de e-mail proprii.

Serviciile de e-mail sunt vitale în comunicarea dintre angajații unei companii. Procesul tehnologic se bazează pe dialogul purtat pe scară ierarhică între diverse persoane implicate în activitatea zilnică.

Pentru gestionarea comunicării prin e-mail, companiile nu folosesc adresele de mail private ale angajaților, ci adresele de mail din cadrul companiei, gestionate de serverul de mail. Orice comunicare prin e-mail va însemna un trafic între stațiile din rețea, și serverul de mail. Și în cazul acesta, autentificarea pe serverele de mail împiedică un intrus să formeze un trafic asemănător cu stațiile autentificate.

Metoda DTF va identifica traficul generat prin intermediul serverelor de mail și va folosi destinațiile acestea pentru a crea amprente de trafic de mare calitate.

Utilizarea rețelelor VPN.

Un alt aspect important care favorizează aplicarea metodei DTF, este dat de utilizarea rețelelor de tip VPN. Interconectarea diverselor stații pentru crearea unor rețele virtuale, pune din nou la dispoziție un trafic constant care se poate folosi pentru realizarea amprentelor de trafic.

Rețelele VPN se folosesc de certificate de securitate instalate pe calculatoarele client, certificate care nu permit accesul decât pentru utilizatorii autorizați. Pătrunderea în sistem a unui calculator care nu deține un certificat valid, va împiedica stația respectivă să formeze trafic asemănător cu stația autorizată.

Virtualizare și Cloud.

Noul trend care revoluționează din nou domeniul IT este cel legat de virtualizare și cloud. Costuri enorme pentru achiziționarea și întreținerea echipamentelor, sunt înlocuite cu variante reduse de abonamente lunare, plătite unor companii care oferă sisteme de calcul virtualizate, de la stații de lucru și până la servere superperformante.

Prin virtualizare, se crează un trafic permanent între stațiile de lucru și serverele de virtualizare. Traficul acesta este foarte util în procesul de generare a amprentei de referință din cadrul metodei DTF.

3.8. Concluzii

În continuare sunt punctate câteva dintre elementele importante care caracterizează metoda DTF.

În primul rând, metoda DTF detectează un intrus care vine în rețeaua locală, în locul stației autorizate, ceea ce este important întrucât, așa cum reiese din Tabelul 4 și respectiv din analiza critică a metodelor prezentate în capitolul precedent, metodele clasice din literatură nu acoperă, sau acoperă doar parțial problematica aceasta.

Metoda DTF oferă o soluție practică și eficientă în detecția pătrunderilor neautorizate, care sunt inițiate din interiorul rețelei. Faptul că metoda își bazează calculele pe amprentarea traficului emis de o anumită stație, înseamnă că nu contează locația intrusului întrucât el va fi depistat după activitatea pe care o generează în rețea și nu după alți parametri care să fie influențați de locație.

Chiar dacă intrusul își lansează atacul înlocuind stația autorizată cu alta proprie, nu va putea să recreeze amprenta de trafic aferentă stației autorizate, ceea ce va determina o asemenea valoare pentru Gradul Global de Recunoaștere, încât sistemul va raporta traficul ca aparținând unei stații cu adresă MAC falsificată.

Un alt aspect important metodei DTF este acela că se poate aplica atât în rețele fără fir, cât și în rețele cu fir. Modalitatea de amprentare prezentată în cadrul metodei DTF nu folosește caracteristici ale comunicației wireless sau wired, având drept urmare faptul că se va putea folosi la fel de bine în oricare din cele două, și chiar mai mult, în rețele care conțin părți wireless și părți wired.

Metoda DTF nu necesită instalarea unui software pe calculatorul client. Este adevărat că sistemul folosește un software de monitorizare al rețelei, dar acesta este instalat pe un anumit calculator din rețea, fără să aibă nevoie de module care să funcționeze pe clienții din rețea.

Faptul că o metodă cere prezența unor programe instalate pe calculatoarele care vin în rețea, atrage după sine o serie de limitări. După cum s-a menționat deja, în metoda DTF nu este necesară intervenția pe calculatoarele client, ceea ce reprezintă un real avantaj.

Problema suprapunerii traficului a fost discutată în capitolul precedent, menționându-se că există metode care nu se pot aplica decât în cazul în care atât sursa autorizată, cât și cea neautorizată funcționează concomitent.

În ceea ce privește metoda DTF, această limitare nu există, metoda va detecta intrusul și în absența traficului stației autorizate. Amprenta de trafic a atacatorului fiind diferită de cea a stației autorizate, sistemul de monitorizare va semnala prezența unei surse falsificate.

Dacă cele două surse funcționează concomitent, metoda DTF continuă să dea rezultate chiar mai rapid, întrucât va sesiza două adrese IP asociate cu același MAC. Există posibilitatea ca o stație să fie conectată la două sau mai multe rețele prin interfețe diferite, dar lucrul acesta s-ar observa prin clase IP diferite.

Pentru metoda DTF, mobilitatea stațiilor și trecerea lor dintr-o subrețea în alta nu reprezintă un impediment. Calculele nu se bazează pe date care sunt influențate de localizarea geografică, chiar dacă lucrul acesta presupune trecerea dintr-o rețea wired într-o rețea wireless sau invers. Calculele și estimările sunt realizate în metoda DTF la nivel de minut, ceea ce înseamnă că eventualele întârzieri provocate de trecerea într-o rețea wireless, nu vor putea afecta atât de mult amprenta actuală de trafic.

Metoda DTF oferă rezultate favorabile și în acest caz. Amprentarea unei stații nu ține cont de modelul echipamentului, ci de activitatea sa în rețea. De aici rezultă faptul că un atacator, chiar dacă aduce un echipament identic cu cel falsificat, nu poate reproduce cu exactitate mulțimea aplicațiilor software instalate pe stația originală, și nici comportamentul acesteia în rețea.

Aplicabilitatea metodei DTF se referă în mod direct la echipamente de tip Desktop / Laptop. Scopul metodei este acela de a identifica persoane neautorizate, care încearcă să pătrundă în rețea cu un calculator care nu ar avea drepturile necesare.

În finalul capitolului, se poate afirma cu certitudine faptul că metoda DTF aduce o serie de avantaje care sunt demne de remarcat. Mai mult, ținând cont de Tabelul 4, importanța metodei DTF derivă nu numai din faptul că are avantaje, ci și din faptul că are capacitatea să grupeze la un loc o serie de avantaje pe care le întâlnim în mod dispersat la alte metode.

4. TOOLBOX SOFTWARE PENTRU STUDIUL METODEI DTF

Capitolul reprezintă o contribuție a autorului în domeniul simulatoarelor de rețea. În prezent există o serie de simulatoare de rețea disponibile, după cum reiese din: [Mil-12], [Reh-12], [Kum-12], [Bar-12], [Nak-12], [Vuc-11], [Nao-10], [Bor-09], [Bul-09], [Mel-09], [Nis-09], [Car-08], [Gal-08], [Wan-08], [Esc-08], [Gon-07], [Fek-07], [Hos-07], [Drz-07].

Fiecare simulator are anumite particularități și oferă o serie de avantaje, apropiindu-se cât mai mult de funcționarea reală. Motivul însă pentru care a fost necesară conceperea unui nou simulator, este acela că studiul metodei DTF necesită acces direct la pachetele din rețea și prelucrarea acestora într-o manieră particulară, specifică metodei DTF [Sas-12b], [Sas-10b].

Toolbox-ul software este alcătuit în esență din două aplicații software dezvoltate de către autor. Pe de-o parte este vorba despre "Packet Recorder", program destinat captării packetelor din rețea și pe de altă parte de "Network Detector", program care reprezintă simulatorul de rețea și care folosește datele acumulate de "Packet Recorder".

4.1. Packet Recorder.

Este o aplicație software dezvoltată cu scopul de a captura traficul la nivelul plăcilor de rețea. Are la bază driverul WinPcap, ce poate fi descărcat gratuit de pe Internet.

Aplicația rulează permanent și captează pachetele care circulă pe fiecare placă de rețea identificată. Pachetele sunt înregistrate în MySQL, sub forma unor înregistrări cu următoarele câmpuri:

- identificatorul plăcii de rețea;
- momentul captării pachetului;
- adresa IP a sursei;
- adresa MAC a sursei;
- adresa IP a destinației;
- adresa MAC a destinației;
- numărul de pachete.

Fig. 4.1 prezintă interfața aplicației software, organizată pe câteva zone distincte. În partea superioară se afișează lista interfețelor de rețea disponibile pe stația monitorizată. Pentru fiecare în parte se precizează numele, numărul de pachete captate, numărul de conectări și starea actuală a monitorizării.

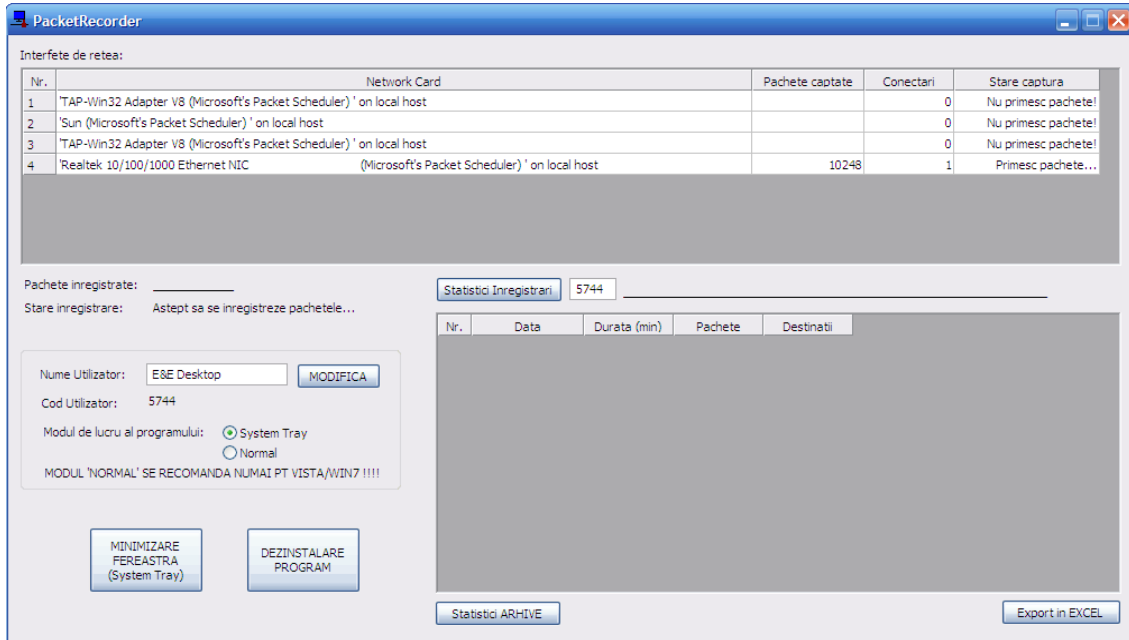


Fig. 4.1 Captarea pachetelor din rețea cu PacketRecorder

Sub tabelul cu interfețele de rețea (în partea dreaptă), se află un alt tabel care oferă un centralizator zilnic aferent datelor înregistrate, precizându-se durata de funcționare (în minute), numărul de pachete captate, numărul de destinații distincte identificate în trafic, pentru fiecare zi în parte.

Aplicația permite generarea unor statistici cu privire la datele înregistrate. Dacă există mai multe arhive cu date salvate în procesul de monitorizare, permite de asemenea o incursiune în arhivele respective, pentru a prezenta succint conținutul acestora.

Ca setări, aplicația software poate funcționa fie ca fereastră afișată pe ecran, fie ca aplicație în System Tray. A doua variantă permite o execuție de lungă durată, fără a încurca activitatea utilizatorului.

4.2. Network Detector.

Este o aplicație software mai complexă, folosită în studiul metodei DTF. Are câteva module importante, care vor fi prezentate detaliat în ceea ce urmează.

4.2.1 Modulul „Network Setup”. Alcătuirea unei pseudo-rețele, formată din înregistrări individuale.

Modulul „Network Setup” este descris grafic de interfața prezentată în Fig. 4.2 și se folosește pentru a crea contextul folosit la pasul de simulare. Datele înregistrate de PacketRecorder pe diverse calculatoare, pot fi adunate la un loc sub

forma unei pseudo-rețele. Fiecare arhivă este adăugată în sistem și prelucrată, astfel încât să ofere condiții mai bune pentru studiul metodei DTF.

În continuare sunt prezentate principalele funcționalități a modulului software „Network Setup”.

În primul rând se extrag câteva elemente statistice din baza de date, necesare prelucrărilor ulterioare:

- perioada în care au fost înregistrate pachetele (data și ora pentru primul și ultimul pachet);
- numărul total de ore aferent perioadei înregistrate (nu ține cont de pauze);
- numărul total de pachete înregistrate;
- numărul total de adrese IP identificate;
- numărul total de adrese MAC identificate.

O altă prelucrare importantă transformă înregistrările traficului, astfel încât să se obțină înregistrări orientate pe IP destinație și minut. Astfel, înregistrările vor conține perechi unice de forma:

- numărul minutului;
- IP destinație;
- adresa MAC.

Datele sunt astfel mult mai accesibile și pot fi extrase în rapoarte, cu viteză semnificativ mai mare. În continuare, datele din pseudo-rețea pot fi folosite ca sursă de date pentru simulator.

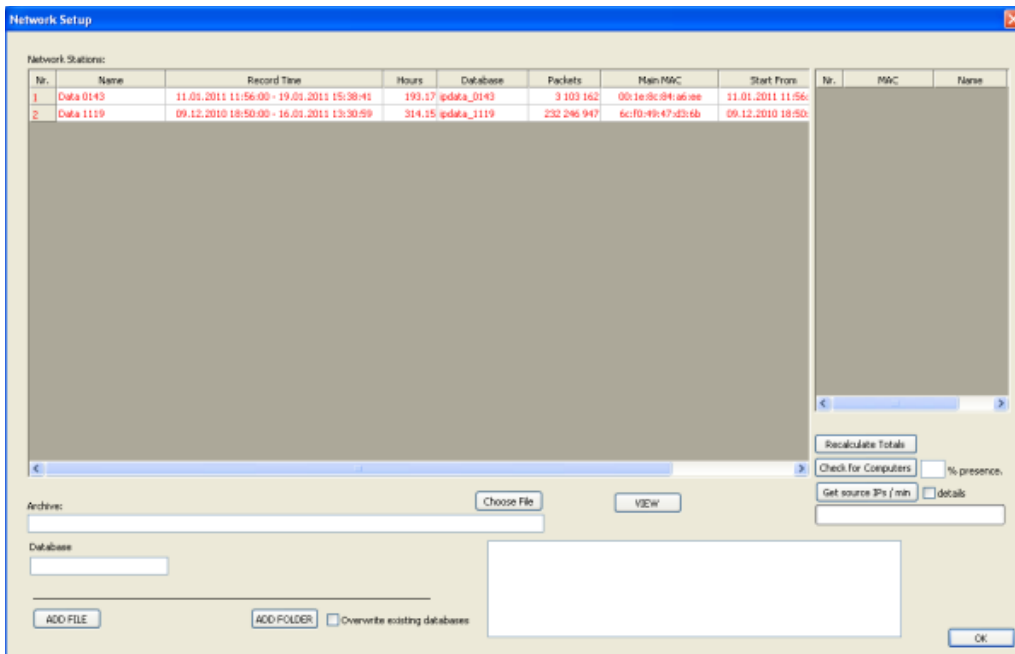


Fig. 4.2 Modulul NetworkSetup

După integrarea datelor în Modulul „Network Setup”, fiecare arhivă apare sub forma unei linii în tabelul din Fig. 4.2. Coloanele comunică informații importante despre date, după cum urmează:

- numele atribuit arhivei. Acest nume provine chiar din Paquet Recorder, dar poate fi modificat ulterior oricând se dorește acest lucru;
- perioada monitorizată, identificată prin data și ora primului pachet captat, respectiv data și ora ultimului pachet captat;
- totalul de ore de funcționare, calculat ca diferență dintre momentul final și cel inițial;
- numele bazei de date MySQL unde sunt stocate informațiile;
- numărul total de pachete captate;
- adresa MAC considerată principală pentru stația respectivă;
- numărul total de adrese IP identificate;
- numărul total de adrese MAC identificate.

Pentru a putea crea un mediu de simulare și testare adecvat, modulul permite selectarea din tabel a uneia sau mai multor poziții, care vor constitui surse de trafic în simulator.

Practic, prin selectarea surselor, se crează o rețea virtuală, ce poate fi configurată în mod avantajos, prin stabilirea momentului la care să intre „în acțiune” fiecare sursă.

Una din funcțiile modulului permite utilizatorilor să vizualizeze un caz de suprapunere în trafic a două sau mai multe adrese IP sursă, din aceeași clasă IP, care în același timp trimit date folosind o singură adresă MAC. Cazul acesta apare atunci când un atacator falsifică o adresă MAC și intră în sistem în timp ce stația autorizată este în funcțiune. Simulatorul semnalează cazul acesta, însă modulul Network Setup oferă o funcție prin care să se detecteze suprapunerile.

Pentru a determina aceste situații, modulul va verifica fiecare minut din arhiva selectată și va genera ca răspuns un tabel de tipul Tabelului 5.

Tabelul 5 – Vizualizarea suprapunerii sursei autorizate cu cele falsificate

| Mnt | Adresa MAC și destinațiile IP aferente fiecărioa |
|-----|---|
| 14 | MAC: [00:11:6b:73:05:d8]: 192.168.1.250 MAC: [00:18:38:02:3b:01]: 192.168.1.29 MAC: [00:1c:25:36:24:af]: 192.168.1.27 MAC: [00:1d:6a:95:14:31]: 192.168.1.2 MAC: [00:1d:7d:0c:5e:2a]: 0.0.0.0 MAC: [00:1e:8c:84:a6:ee]: 166.238.192.168 192.168.1.169 MAC: [00:22:6b:43:0b:a3]: 11.163.192.168 192.168.1.1 38.118.85.50 80.97.209.16 80.97.209.19 => SUPRAPUNERE pentru clasa [80.97.209#]!!! 81.196.146.74 MAC: [00:25:22:2e:4c:9e]: 192.168.1.4 MAC: [00:30:6e:d2:d6:a7]: 192.168.1.100 |
| 15 | MAC: [00:11:6b:73:05:d8]: 192.168.1.250 MAC: [00:18:38:02:3b:01]: 0.0.0.0 59.1.192.168 MAC: [00:1c:25:36:24:af]: 0.0.0.0 192.168.1.27 MAC: [00:1d:7d:0c:5e:2a]: 0.0.0.0 94.42.192.168 MAC: [00:1e:8c:84:a6:ee]: 0.0.0.0 166.238.192.168 192.168.1.169 |

4.2.2 Modulul „Fingerprint Generation”. Extragerea amprentelor de trafic.

Fig. 4.3 prezintă interfața grafică a modulului „Fingerprint Generation”, care extrage amprenta de referință pentru o adresă MAC.

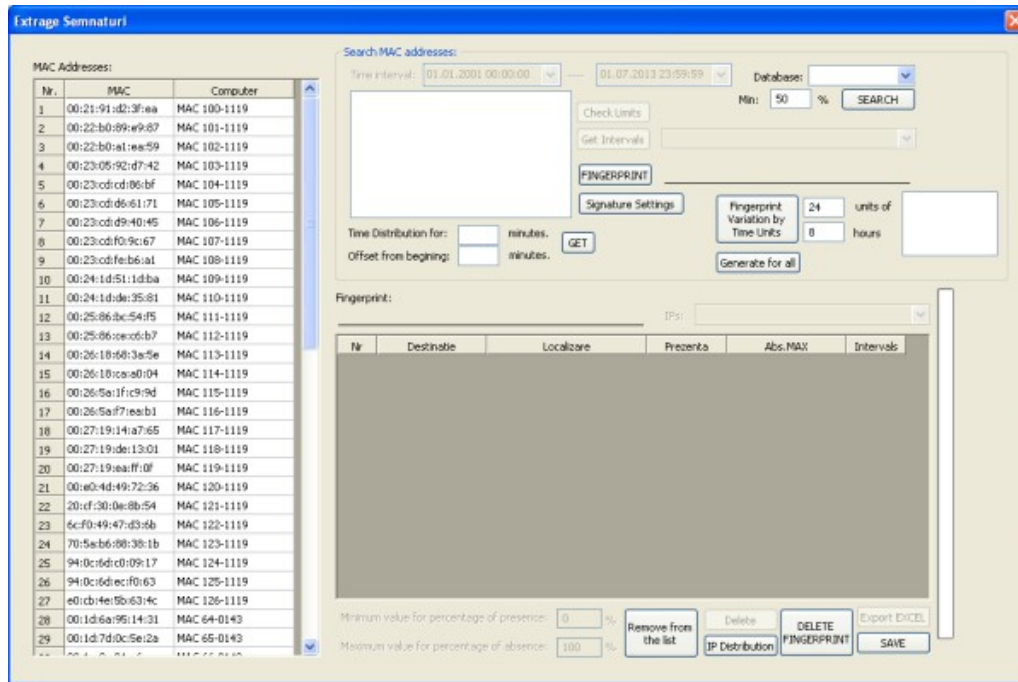


Fig. 4.3 Modulul Fingerprint Generation

Modulul are definite următoarele funcții:

- definirea setărilor pentru extragerea amprentei de trafic;
- detectarea adreselor MAC dintr-o bază de date MySQL, care au trafic semnificativ;
- generarea amprentei de trafic pentru adresa MAC selectată, folosind setările definite;
- memorarea amprentei de trafic;
- ștergerea unei amprente de trafic;
- trasarea unui grafic pentru distribuția traficului către o destinație IP selectată;
- afișarea listei tuturor adreselor MAC, și a amprentelor de trafic aferente (dacă sunt înregistrate);
- generarea unui raport de urmărire a variației amprentei de trafic, pe unități de timp;

Pentru a descrie modul de lucru al funcțiilor, se va parcurge un exemplu concret, pornind de la căutarea adreselor MAC semnificative, până la generarea amprentei de trafic și folosirea ei în timp real. Se consideră o bază de date, care în

cele aproximativ 300 ore înregistrate, conține 232 milioane pachete, repartizate pe 1779547 adrese IP și 2264 adrese MAC.

Tabelul 6 – Adrese MAC semnificative, identificate în procesul de verificare automată a datelor înregistrate prin Packet Recorder

| Adresă MAC | Denumire automată | Adresă MAC | Denumire automată |
|-------------------|--------------------------|-------------------|--------------------------|
| 00:00:ca:f5:7a:92 | MAC 135-1119 | 00:21:91:44:be:ef | MAC 164-1119 |
| 00:0a:e6:cb:4c:b0 | MAC 136-1119 | 00:21:91:75:11:81 | MAC 165-1119 |
| 00:0f:3d:31:ed:ea | MAC 137-1119 | 00:21:91:d2:3f:ea | MAC 166-1119 |
| 00:13:02:7d:67:0a | MAC 138-1119 | 00:22:b0:89:e9:87 | MAC 167-1119 |
| 00:13:8f:f1:6d:be | MAC 139-1119 | 00:22:b0:a1:ea:59 | MAC 168-1119 |
| 00:14:d1:5c:e8:2f | MAC 140-1119 | 00:23:05:92:d7:42 | MAC 169-1119 |
| 00:15:e9:e0:be:a4 | MAC 141-1119 | 00:23:cd:cd:86:bf | MAC 170-1119 |
| 00:15:e9:e3:5e:a4 | MAC 142-1119 | 00:23:cd:d6:61:71 | MAC 171-1119 |
| 00:19:5b:e1:3d:5f | MAC 143-1119 | 00:23:cd:d9:40:45 | MAC 172-1119 |
| 00:19:e0:79:e6:3d | MAC 144-1119 | 00:23:cd:f0:9c:67 | MAC 173-1119 |
| 00:1a:4d:22:a5:a8 | MAC 145-1119 | 00:23:cd:fe:b6:a1 | MAC 174-1119 |
| 00:1b:11:fb:c2:59 | MAC 146-1119 | 00:24:1d:51:1d:ba | MAC 175-1119 |
| 00:1b:11:fe:e3:51 | MAC 147-1119 | 00:24:1d:de:35:81 | MAC 176-1119 |
| 00:1c:c0:60:d7:51 | MAC 148-1119 | 00:25:86:bc:54:f5 | MAC 177-1119 |
| 00:1c:f0:7d:2a:d1 | MAC 149-1119 | 00:25:86:ce:c6:b7 | MAC 178-1119 |
| 00:1c:f0:7e:a9:e1 | MAC 150-1119 | 00:26:18:68:3a:5e | MAC 179-1119 |
| 00:1c:f0:86:d8:df | MAC 151-1119 | 00:26:18:ca:a0:04 | MAC 180-1119 |
| 00:1d:72:05:6b:ee | MAC 152-1119 | 00:26:5a:1f:c9:9d | MAC 181-1119 |
| 00:1d:7d:9a:24:f9 | MAC 153-1119 | 00:26:5a:f7:ea:b1 | MAC 182-1119 |
| 00:1e:33:77:3d:d4 | MAC 154-1119 | 00:27:19:14:a7:65 | MAC 183-1119 |
| 00:1e:58:0b:8b:9b | MAC 155-1119 | 00:27:19:de:13:01 | MAC 184-1119 |
| 00:1e:58:11:d2:0d | MAC 156-1119 | 00:27:19:ea:ff:0f | MAC 185-1119 |
| 00:1e:58:14:45:63 | MAC 157-1119 | 00:e0:4d:49:72:36 | MAC 186-1119 |
| 00:1e:58:14:46:fb | MAC 158-1119 | 20:cf:30:0e:8b:54 | MAC 187-1119 |
| 00:1e:58:18:22:3b | MAC 159-1119 | 6c:f0:49:47:d3:6b | MAC 188-1119 |
| 00:1e:8c:87:1d:fa | MAC 160-1119 | 70:5a:b6:88:38:1b | MAC 189-1119 |
| 00:21:04:1a:4c:f9 | MAC 161-1119 | 94:0c:6d:c0:09:17 | MAC 190-1119 |
| 00:21:04:1c:b4:8a | MAC 162-1119 | 94:0c:6d:ec:f0:63 | MAC 191-1119 |
| 00:21:04:1c:cc:e4 | MAC 163-1119 | e0:cb:4e:5b:63:4c | MAC 192-1119 |

În primul rând, trebuie verificat traficul aferent adreselor MAC, pentru a elimina adresele MAC nesemnificative. Astfel, din totalul de 2264 de adrese MAC, se extrag doar cele care au trafic peste o limită stabilită aproximativ la jumătate din numărul total de minute înregistrate. Rămân astfel doar 58 adrese MAC, denumite automat de către sistem, și menționate în Tabelul 6.

Denumirea este utilă pentru a identifica mai ușor o adresă. Modul de codificare automată nu prezintă importanță în studiul de față, în principiu, se poate folosi orice metodă de numerotare unică.

În continuare se va discuta generarea amprentei de trafic pentru adresa MAC "00:00:ca:f5:7a:92", codificată automat de sistem prin notația „[MAC 135-1119]”.

Pasul 1: - Stabilirea setărilor

Pentru studiul de față s-a folosit următoarele setări:

- amprenta se extrage din 24 ore de trafic efectiv;
- cel puțin 1% procent de prezență;
- intervalul total se împarte în 4 subintervale, din care sunt obligatorii minim două;
- după 10 minute de inactivitate, stația este declarată ca „oprită”.

Pasul 2: - Se caută perioada aferentă celor 24 ore de funcționare efectivă și se extrag înregistrările aferente perioadei

- primul minut evaluat: 1
- ultimul minut evaluat: 3959
- număr total de minute considerate pentru evaluarea curentă: 3959

Pasul 3: - Se identifică eventualele opriri și se reface traficul, astfel încât să se elimine intervalele respective

S-au identificat 3 opriri, așa după cum reiese din Tabelul 7:

Tabelul 7 – Opriri identificate în perioada evaluată

| Număr oprire | De la minutul | Până la minutul | Minute de oprire |
|---------------------|----------------------|------------------------|-------------------------|
| Oprire 0 | 215 | 778 | 564 |
| Oprire 1 | 1533 | 2278 | 746 |
| Oprire 2 | 3163 | 3679 | 517 |
| | | TOTAL: | 1827 |

Se recalculează numărul total de minute considerate pentru evaluarea curentă: 2132.

Pasul 4: - Se extrag IP-urile destinațiilor, care au prezență cel puțin cât s-a stabilit în setările inițiale

Rezultă doar 5 adrese IP. Ele sunt introduse într-o listă, calculându-se inclusiv procentul de prezență.

Pasul 5: - Pentru fiecare IP, se calculează încadrarea în subintervale

Toate cele 5 IP-uri rămân mai departe și rezultă amprenta de trafic din Tabelul 8

Tabelul 8 – Amprentă de trafic formată din cinci destinații IP cu trafic constant

| Nr. crt | Adresă IP | Procent Prezență |
|----------------|------------------|-------------------------|
| 1 | 224.0.0.1 | 47,05% |
| 2 | 40.1.0.0 | 28,71% |
| 3 | 239.255.255.250 | 13,60% |
| 4 | 255.255.255.255 | 4,55% |
| 5 | 239.192.152.143 | 2,39% |

Pentru a dovedi că aceste adrese au trafic constant, se prezintă graficele de distribuție în timp, pentru fiecare în parte, axa absciselor fiind etalonată în minute iar pe ordonată se va marca valoarea „0” dacă în minutul M nu există trafic către destinația urmărită, sau „1” în caz contrar. Zonele hașurate în culoare albastru deschis reprezintă momentele în care stația a fost oprită.

Fig. 4.4 prezintă distribuția în timp a traficului către destinația 224.0.0.1. Se observă prezența traficului într-o manieră constantă, pe toată durata de funcționare a stației.

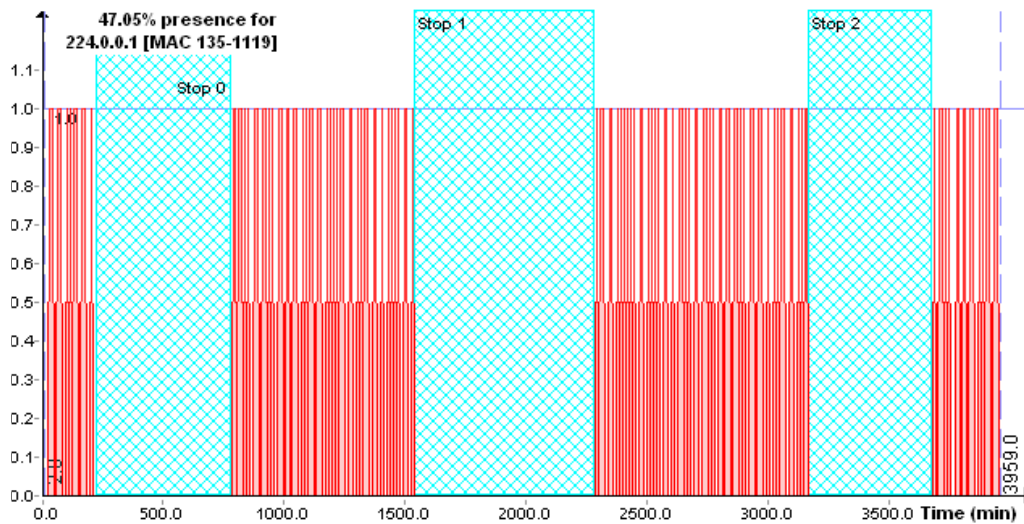


Fig. 4.4 Distribuția în timp, a traficului către destinația 224.0.0.1

În Fig. 4.5, se reprezintă o altă destinație IP. Deși valoarea procentului de prezență este mai mică, totuși se observă și în cazul acesta o repartizare constantă pe toată durata de funcționare.

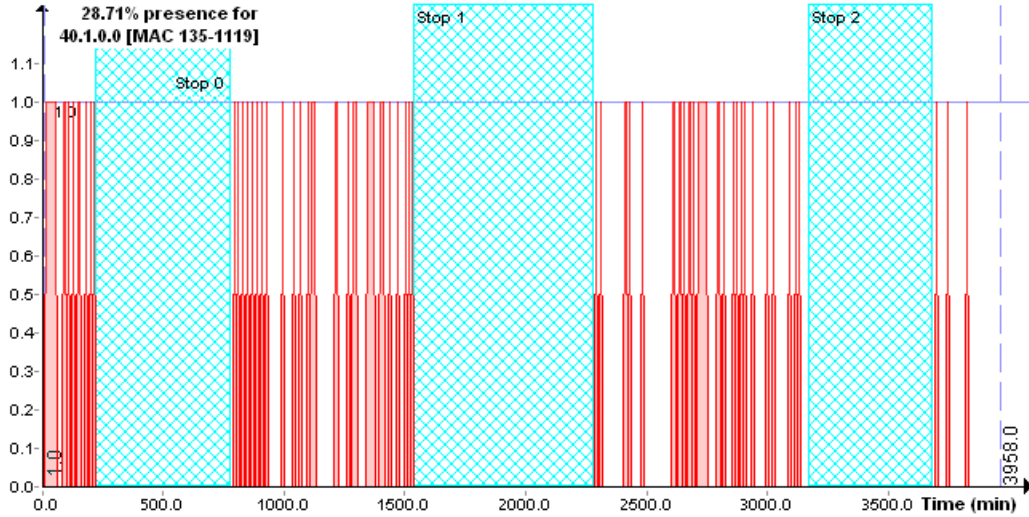


Fig. 4.5 Distribuția în timp, a traficului către destinația 40.1.0.0

Fig. 4.6 prezintă o situație similară, dar procentul de prezență este și mai mic.

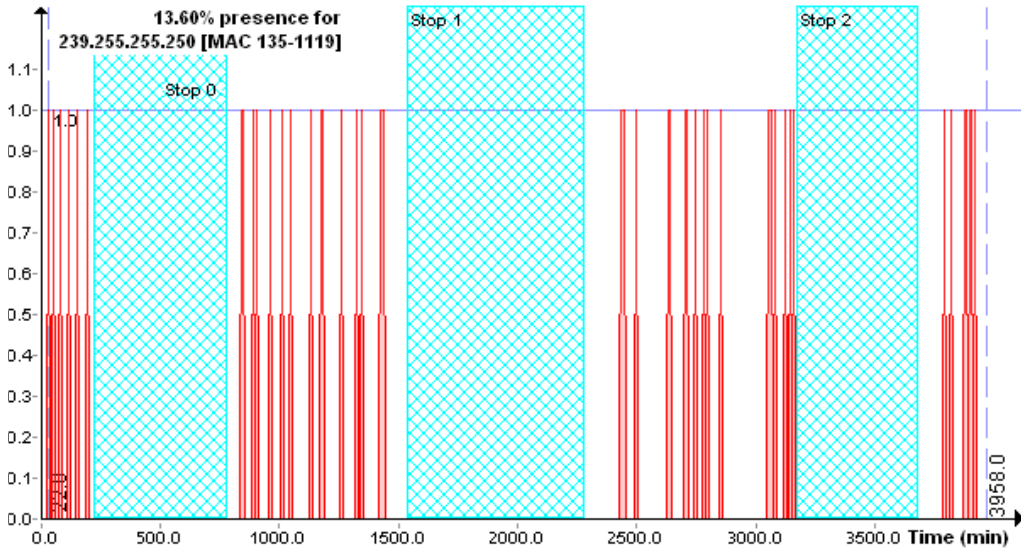


Fig. 4.6 Distribuția în timp, a traficului către destinația 239.255.255.250

În Fig. 4.7, minutele cu trafic către adresa IP urmărită sunt mult mai puține. Totuși, distribuția lor permite să fie încadrată în categoria celor constante.

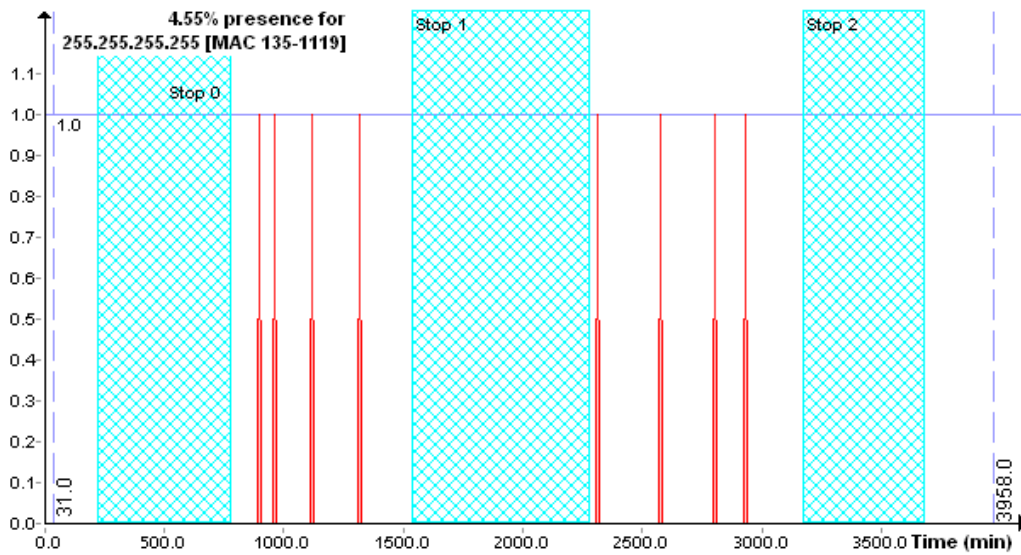


Fig. 4.7 Distribuția în timp, a traficului către destinația 255.255.255.255

Un caz mai aparte este cel reprezentat Fig. 4.8, unde aparent s-ar putea considera un caz de prezență punctuală. Totuși, după cum se va observa în cele ce urmează, adresa IP a destinației urmărite are trafic constant, chiar dacă procentul de prezență este foarte mic.

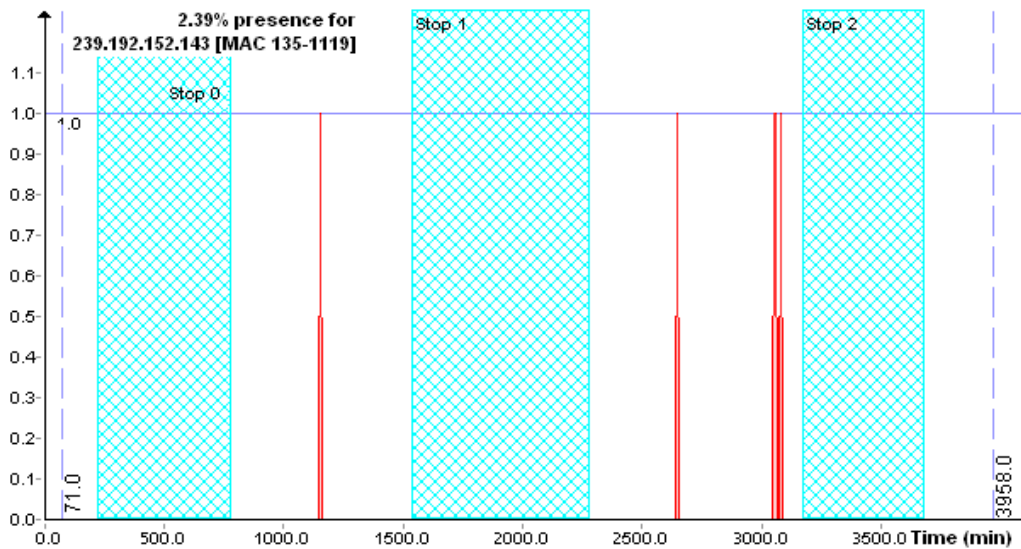


Fig. 4.8 Distribuția în timp, a traficului către destinația 239.192.152.143

În calculul amprentei de trafic s-au folosit datele extrase din trafic pentru o perioadă limitată în timp.

Se dorește să se verifice în ce măsură aceste destinații considerate cu trafic constant, se regăsesc sau nu se regăsesc ulterior în trafic, sau mai mult, dacă ele își păstrează în timp valorile pentru procente de prezență.

În acest sens se va studia modul în care variază amprenta de trafic în timp, prin apelarea unei funcții de generare a variației semnăturii, prezente în modulul „Fingerprint Generation”.

Această variație se determină în felul următor: se notează cu *TU* intervalul de timp folosit pentru extragerea amprentei de referință, și se va căuta să se repete determinarea amprentei pentru următoarele intervale *TU*. Fig. 4.9 prezintă un caz în care s-au verificat amprentele pentru 14 unități de timp consecutive.

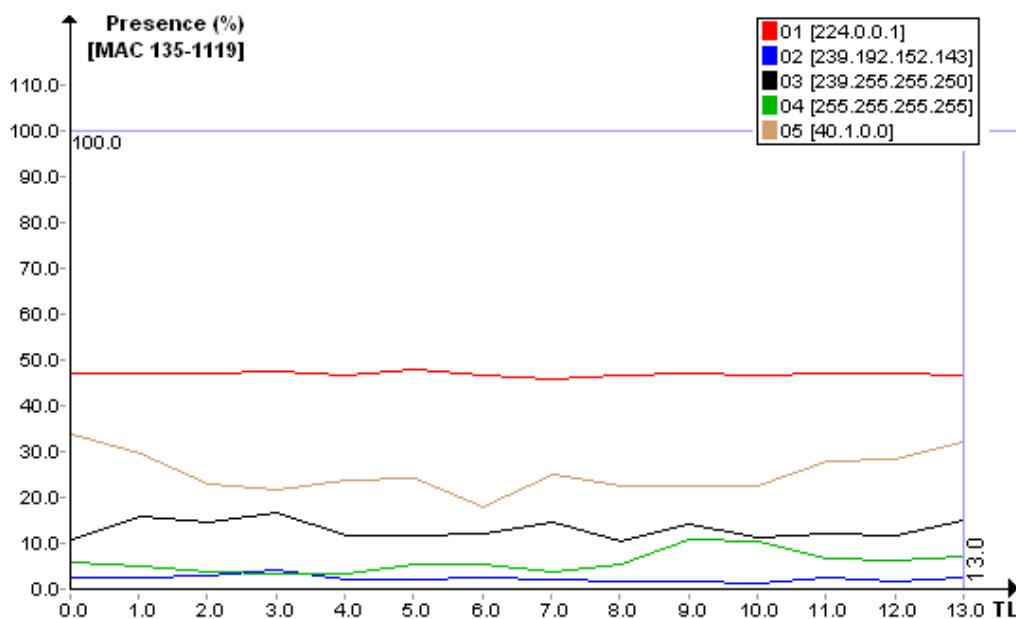


Fig. 4.9 Variația amprentei de trafic pentru 14 unități de timp

După determinarea amprentelor de trafic pentru fiecare unitate de timp, pe grafic se notează valorile procentelor de prezență ale destinațiilor din amprenta de referință, pentru fiecare unitate de timp evaluată. Dacă destinațiile IP au într-adevăr trafic constant, atunci acest lucru trebuie să fie evidențiat pe grafic prin două aspecte:

- adresa IP trebuie să se regăsească în amprentele de trafic ale unităților de timp succesive;
- valoarea procentului de prezență nu trebuie să varieze foarte mult de la o unitate de timp la alta.

Din Fig. 4.9, se observă că cele cinci destinații IP se regăsesc în toate cele 14 unități de timp, adică se întind pe o durată de 112 ore de funcționare efectivă, variațiile fiind mici de la o unitate de timp la alta.

Folosind aceste destinații ca amprentă de trafic, se obține o bună recunoaștere a adresei MAC, după cum se poate observa în Fig. 4.10.

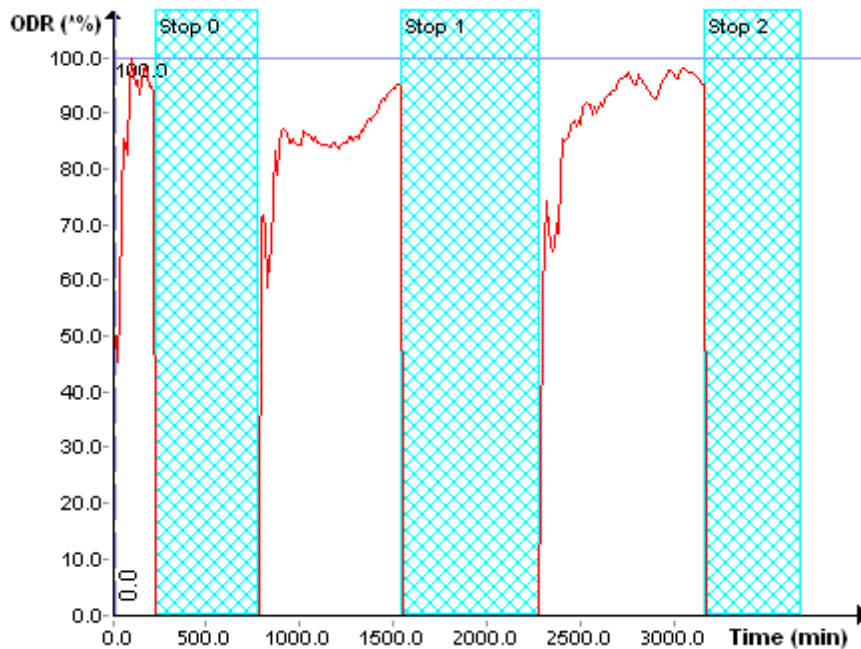


Fig. 4.10 Variația Gradului Global de Recunoaștere pentru aproximativ 3500 minute

Fig. 4.10 prezintă variația Gradului Global de Recunoaștere al stației de-a lungul unei perioade evaluate de aproximativ 3500 minute, folosind amprenta de referință stabilită inițial. Graficul marchează cele trei perioade de oprire ale stației, prin zone hașurate în culoarea albastru.

După fiecare oprire a stației, în momentul în care stația începe din nou să transmită pachete în rețea, modulul de monitorizare începe să calculeze la nivel de minut Gradul Global de Recunoaștere. Acest parametru este reprezentat pe grafic și se observă că ajunge rapid la valori mari, marcând astfel faptul că traficul asociat cu adresa MAC evaluată, provine într-adevăr de la sursa autentică.

4.2.3 Modulul „Fingerprint Variation Report”.

Acest modulul permite observarea variației în timp a amprentei de trafic. Se alege de către utilizator o unitate de timp, notată TU („Time Unit”), și se stabilește câte unități de timp consecutive vor fi evaluate. Pentru fiecare unitate de timp, se va calcula amprenta de trafic aferentă.

Scopul este acela de a observa dacă există destinații IP care apar în amprenta de trafic pe parcursul mai multor unități de timp și care astfel dovedesc existența unui trafic constant către aceste destinații. Pe baza calculelor descrise anterior, se pot înregistra variațiile semnăturilor, pentru prelucrări ulterioare, cum ar fi:

- extragerea unor date statistice referitoare la destinațiile IP;
- desenarea graficelor de prezență ale destinațiilor IP;

- generarea unui raport care prezintă succint rezultatele evaluării destinațiilor IP;
- generarea unui raport cu privire la adresele MAC întâlnite.

| Nr. | MAC | Computer | HUnit | Settings | IP count | expected Units | Real Units | Generation | Observations |
|-----|-------------------|--------------|-------|--|----------|----------------|------------|---------------------|---|
| 85 | 00:1f:cf:13:26:26 | MAC 49-0219 | 8 | minIndic = [0], maxDev = [100.00], signatureRecordTime = [| 6 | 24 | 11 | 06.09.2011 22:08:28 | 1 x 11 TUs, 2 x 9 TUs, 1 x 5 TUs |
| 86 | 00:23:54:a1:8d:55 | MAC 59-0219 | 8 | minIndic = [0], maxDev = [100.00], signatureRecordTime = [| 173 | 24 | 13 | 06.09.2011 22:08:37 | 3 x 13 TUs, 3 x 6 TUs, 1 x 5 TUs, 3 x 4 T |
| 87 | 70:1a:04:7d:cd:a5 | MAC 51-0219 | 8 | minIndic = [0], maxDev = [100.00], signatureRecordTime = [| 33 | 24 | 6 | 06.09.2011 22:08:39 | 3 x 6 TUs, 1 x 5 TUs, 3 x 4 TUs, 2 x 3 TU |
| 88 | 70:1a:04:7d:f7:dc | MAC 52-0219 | 8 | minIndic = [0], maxDev = [100.00], signatureRecordTime = [| 16 | 24 | 7 | 06.09.2011 22:08:42 | 9 x 7 TUs, 1 x 6 TUs, 1 x 4 TUs, 1 x 3 TU |
| 89 | 00:0e:2e:fa:cd:85 | MAC 372-270b | 8 | minIndic = [0], maxDev = [100.00], signatureRecordTime = [| 4 | 24 | 1 | 07.09.2011 17:55:04 | - |
| 90 | 00:0e:2e:fa:cd:85 | MAC 372-270b | 8 | minIndic = [0], maxDev = [100.00], signatureRecordTime = [| 4 | 24 | 1 | 08.09.2011 11:23:39 | - |
| 91 | 00:1e:8c:64:40:a2 | MAC 373-270b | 8 | minIndic = [0], maxDev = [100.00], signatureRecordTime = [| 59 | 24 | 1 | 07.09.2011 17:55:06 | - |
| 92 | 00:1e:8c:64:40:a2 | MAC 373-270b | 8 | minIndic = [0], maxDev = [100.00], signatureRecordTime = [| 36 | 24 | 1 | 08.09.2011 11:23:39 | - |
| 93 | 00:21:85:e5:56:d6 | MAC 374-270b | 8 | minIndic = [0], maxDev = [100.00], signatureRecordTime = [| 12 | 24 | 1 | 07.09.2011 17:55:06 | - |
| 94 | 00:21:85:e5:56:d6 | MAC 374-270b | 8 | minIndic = [0], maxDev = [100.00], signatureRecordTime = [| 8 | 24 | 1 | 08.09.2011 11:23:39 | - |
| 95 | 00:0e:2e:fa:cd:85 | MAC 53-0335 | 8 | minIndic = [0], maxDev = [100.00], signatureRecordTime = [| 2 | 24 | 4 | 06.09.2011 22:08:47 | 2 x 4 TUs |
| 96 | 00:1a:80:0a:75:6e | MAC 54-0335 | 8 | minIndic = [0], maxDev = [100.00], signatureRecordTime = [| 36 | 24 | 10 | 06.09.2011 22:08:57 | 3 x 10 TUs, 4 x 9 TUs, 1 x 6 TUs |
| 97 | 00:23:54:57:84:62 | MAC 55-0335 | 8 | minIndic = [0], maxDev = [100.00], signatureRecordTime = [| 2 | 24 | 6 | 06.09.2011 22:09:19 | 2 x 6 TUs |
| 98 | 00:03:0d:53:ae:7a | MAC 56-0470 | 8 | minIndic = [0], maxDev = [100.00], signatureRecordTime = [| 1 | 24 | 4 | 06.09.2011 22:09:27 | 1 x 4 TUs |
| 99 | 00:03:0d:53:ae:7a | MAC 56-0470 | 8 | minIndic = [0], maxDev = [100.00], signatureRecordTime = [| 1 | 24 | 1 | 07.09.2011 17:11:11 | - |
| 100 | 00:03:0d:53:ae:7a | MAC 56-0470 | 8 | minIndic = [0], maxDev = [100.00], signatureRecordTime = [| 1 | 24 | 6 | 08.09.2011 16:17:40 | 1 x 6 TUs |
| 101 | 00:17:31:d7:a9:26 | MAC 57-0470 | 8 | minIndic = [0], maxDev = [100.00], signatureRecordTime = [| 1 | 24 | 3 | 06.09.2011 22:09:32 | 1 x 3 TUs |
| 102 | 00:17:31:d7:a9:26 | MAC 57-0470 | 8 | minIndic = [0], maxDev = [100.00], signatureRecordTime = [| 1 | 24 | 1 | 07.09.2011 17:12:54 | - |
| 103 | 00:1e:8c:46:52:e2 | MAC 58-0470 | 8 | minIndic = [0], maxDev = [100.00], signatureRecordTime = [| 2 | 24 | 3 | 06.09.2011 22:09:36 | 2 x 3 TUs |
| 104 | 00:1fd0:9a:bd:1f | MAC 59-0470 | 8 | minIndic = [0], maxDev = [100.00], signatureRecordTime = [| 2 | 24 | 4 | 06.09.2011 22:09:43 | 2 x 4 TUs |
| 105 | 00:1fd0:9a:bd:1f | MAC 59-0470 | 8 | minIndic = [0], maxDev = [100.00], signatureRecordTime = [| 2 | 24 | 1 | 07.09.2011 17:13:03 | - |
| 106 | 00:1fd0:9a:bd:1f | MAC 59-0470 | 8 | minIndic = [0], maxDev = [100.00], signatureRecordTime = [| 2 | 24 | 4 | 08.09.2011 16:26:53 | 2 x 4 TUs |
| 107 | 00:24:d2:6c:f7:2c | MAC 60-0470 | 8 | minIndic = [0], maxDev = [100.00], signatureRecordTime = [| 4 | 24 | 1 | 06.09.2011 22:09:52 | - |
| 108 | 00:26:6c:67:86:c3 | MAC 61-0470 | 8 | minIndic = [0], maxDev = [100.00], signatureRecordTime = [| 152 | 24 | 4 | 06.09.2011 22:10:00 | 39 x 4 TUs, 21 x 3 TUs |
| 109 | 00:26:6c:67:86:c3 | MAC 62-0470 | 8 | minIndic = [0], maxDev = [100.00], signatureRecordTime = [| 103 | 24 | 1 | 06.09.2011 22:10:01 | - |
| 110 | 00:08:5d:84:25:44 | MAC 63-0595 | 8 | minIndic = [0], maxDev = [100.00], signatureRecordTime = [| 2 | 24 | 3 | 06.09.2011 22:10:05 | 2 x 3 TUs |
| 111 | 00:08:5d:84:25:44 | MAC 63-0595 | 8 | minIndic = [0], maxDev = [100.00], signatureRecordTime = [| 2 | 24 | 5 | 08.09.2011 17:54:00 | 2 x 5 TUs |
| 112 | 00:09:34:2a:45:34 | MAC 64-0595 | 8 | minIndic = [0], maxDev = [100.00], signatureRecordTime = [| 2 | 24 | 3 | 06.09.2011 22:10:08 | 2 x 3 TUs |

Fig. 4.11 Modulul Fingerprint Variation Report

Fig. 4.11 prezintă interfața grafică a modulului „Fingerprint Variation Report”. Interfața conține un tabel cu adresele MAC. Datele statistice referitoare la destinațiile IP calculează fiecare MAC evaluat, precum și numărul de destinații care se repetă pentru un anumit număr de unități de timp. De exemplu, pentru adresa MAC „00:21:97:1a:7b:fe”, cunoscută în sistem sub denumirea „MAC 425-744a”, evaluată pentru 24 de unități de timp consecutive, a câte 8 ore fiecare unitate de timp, se pot extrage următoarele date statistice:

4 x 24 TUs, 1 x 15 TUs, 1 x 13 TUs, 1 x 10 TUs, 1 x 9 TUs, 1 x 8 TUs, 3 x 7 TUs, 2 x 6 TUs, 2 x 5 TUs, 6 x 4 TUs, 8 x 3 TUs

ceea ce înseamnă:

- 4 IP-uri găsite în 24 unități de timp (4 x 24 TUs)
- 1 IP găsit în 15 unități de timp (1 x 15 TUs)
- 1 IP găsit în 13 unități de timp (1 x 13 TUs)
- ș.a.m.d.

Pentru exemplul anterior sunt 4 IP-uri care sunt prezente în toate unitățile de timp evaluate. Folosirea lor ca amprentă de trafic va genera o bună recunoaștere a adresei MAC.

4.2.4 Modulul „Network Simulator”.

Permite simularea funcționării unei rețele de calculatoare, în care se aplică sistemul de monitorizare și identificare în timp real, pe baza metodei DTF, în vederea validării adreselor MAC întâlnite în trafic. Fig. 4.12 prezintă interfața programului pentru simulator.

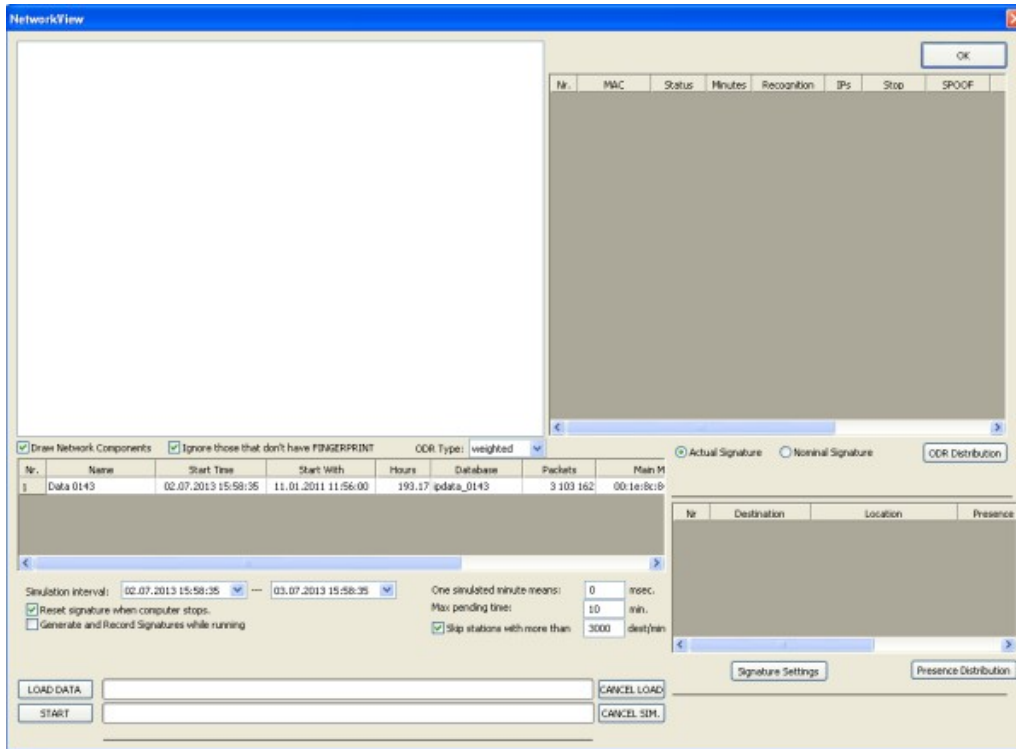


Fig. 4.12 Modulul Network Simulator

Simulatorul are incorporate următoarele funcții:

- folosirea datelor din arhivele alese în Modulul Network Setup cu modificarea momentelor de timp în care aceste arhive încep injectarea datelor în rețea;
- preîncărcarea datelor pentru mărirea vitezei de simulare;
- reprezentarea grafică a rețelei sub forma unor pictograme care sugerează gradul de recunoaștere al stației;
- date actualizate permanent, cu privire la amprentele de trafic și Gradul Global de Recunoaștere;
- particularizarea simulării prin câteva setări, cum ar fi:
 - activarea / dezactivarea reprezentării grafice;
 - ignorarea stațiilor care nu au memorată o amprentă de trafic;
 - stabilirea duratei în timp a unui minut simulat (în milisecunde);
 - setarea numărului maxim de minute de inactivitate, care determină declararea stației ca „oprită”;

- ignorarea sau acceptarea stațiilor care comunică pe minut cu un număr foarte mare de destinații IP (de ordinul miilor);
- generarea amprentelor de trafic în timpul derulării simulării;
- resetarea sau păstrarea amprentelor de trafic în urma opririi stațiilor;
- calcularea Gradului Global de Recunoaștere în manieră standard sau ponderat;
- oprirea forțată a unei stații prezente în rețea (simulatorul va ignora datele provenite de la stația respectivă);
- modificarea adresei MAC a unei stații din rețea, pentru observarea efectelor produse în procesul de identificare în timp real.

Înainte de a porni efectiv simularea, modulul are o facilități de preîncărcare a traficului, din bazele de date MySQL, în memoria simulatorului. Această preîncărcare facilitează programului o mărire a vitezei de lucru și evită anumite întârzieri care ar putea fi generate de selecții multiple din baze de date MySQL de dimensiuni foarte mari.

Trebuie să se menționeze aici faptul că preîncărcarea este necesară datorită faptului că simulatorul procesează datele mult mai rapid decât s-ar procesa în timp real, pentru a permite utilizatorului să observe fenomenele pe durate mari de timp.

Pentru simulare, fereastra programului pune la dispoziția utilizatorului trei zone distincte.

Prima zonă este aferentă reprezentării grafice a rețelei, în cadrul ei, adresele MAC întâlnite în trafic sunt desenate sub formă de pictograme, a căror formă și culoare sugerează gradul de recunoaștere. Se folosesc pictograme diferite pentru stațiile considerate cunoscute față de cele necunoscute, pentru stațiile cunoscute, pictogramele fiind colorate diferit, funcție de gradul de recunoaștere.

A doua zonă este destinată unui centralizator pentru adresele MAC întâlnite în trafic. Pentru fiecare adresă MAC, centralizatorul afișează câteva informații statistice. În primul rând se precizează starea curentă, care poate lua una din valorile: „active”, „stoped” și respectiv „pending”. Starea „pending” se referă la perioada de timp în care stația nu emite trafic, dar încă nu a expirat durata maximă admisă. După expirarea duratei maxime admise pentru „pending”, starea stației devine automat „stopped”.

Tot în centralizator se mai afișează numărul total de minute care au trecut din momentul în care stația a pornit și până în momentul prezent al simulării și numărul total de adrese IP destinație identificate, care oferă o imagine despre traficul generat din cadrul unei stații. Ca observație, se poate menționa în contextul acesta faptul că aplicațiile software de tip „torrent”, instalate pe stațiile client, generează un număr foarte mare de destinații cu care comunică într-un interval foarte scurt.

Cea mai importantă informație afișată în centralizator este Gradul Global de Recunoaștere. O dată cu trecerea fiecărui minut simulat, valoarea este actualizată. Pentru a vizualiza variația Gradului Global de Recunoaștere, programul conține o facilități de desenare a unui grafic cu toate valorile, din momentul începerii simulării și până în prezent.

A treia zonă din simulator permite vizualizarea amprentelor de trafic asociate cu adresa MAC selectată în centralizator. Se permite afișarea amprentei de referință, sau a amprentei actuale, funcție de dorința utilizatorului, exprimată prin selecția corespunzătoare a unor butoane radio. În felul acesta, la orice moment al simulării, utilizatorul poate studia transformările care apar în amprentele actuale și efectul lor asupra Gradului Global de Recunoaștere.

4.3. Concluzii.

Conceperea unui toolbox software pentru studiul metodei DTF reprezintă un suport util întrucât permite pe de-o parte colectarea traficului capturat în rețelele de calculatoare, și mai apoi folosirea acestora pentru extragerea amprentelor de trafic.

Simulatorul oferă un cadru de testare adecvat, folosind ca surse date reale, care sunt prelucrate în aceeași manieră cu sistemul real de monitorizare și control. Fiecare aspect poate fi corect observat și interpretat. Ținând cont de faptul că mediul de testare este unul simulat, se pot aplica metode de testare care în mod normal nu se puteau aplica pe un sistem real, datorită posibilității de apariție a unor efecte nedorite cu consecințe dăunătoare.

Rezultatele obținute cu ajutorul simulatorului atestă avantajele pe care metoda DTF le oferă în domeniul detecției adreselor MAC falsificate, pătrunderile neautorizate fiind detectate și semnalate conform amprentelor de referință generate.

5. REZULTATE EXPERIMENTALE

Capitolul urmărește să demonstreze utilitatea și validitatea metodei DTF, prin intermediul unui experiment, care a dus la obținerea unor rezultate relevante. Experimentul s-a realizat prin intermediul unor teste, care au avut ca scop demonstrarea faptului că se poate stabili o amprentă a stației pe baza traficului de rețea generat de către aceasta [Sas-12a].

5.1. Descrierea testelor.

Pentru a putea verifica validitatea și utilitatea metodei DTF, sunt necesare teste aplicate unui trafic real. Primele teste au avut în vedere un număr mic de calculatoare (2-3). Pentru fiecare IP s-a calculat procentul de prezență și procentul de absență maximă. IP-urile intră în componența amprentei dacă cei doi parametri (PP și PA) se încadrează în limitele admise, limite stabilite manual (LP = 4%, LA = 2%, iar condițiile sunt $PP \geq LP$ iar $PA \leq LA$). Folosirea combinației dintre procentul de prezență și cel de absență maximă, își are limitările ei, după cum s-a discutat în capitolul 3.

Al doilea test s-a realizat pe un număr mult mai mare de calculatoare, folosind o aplicație software care înregistrează traficul la nivelul plăcilor de rețea. Durata testului s-a întins pe câteva luni, adunând în final 99 baze de date MySQL, cu înregistrări încadrate conform Tabelului 9:

Tabelul 9 – Înregistrări ale programului Packet Recorder pe aproximativ 100 calculatoare

| Numărul orelor de funcționare | Total baze de date MySQL |
|--------------------------------------|---------------------------------|
| între 0 – 50 ore | 20 |
| între 50 – 100 ore | 30 |
| între 100 – 150 ore | 12 |
| între 150 – 200 ore | 19 |
| între 200 – 250 ore | 7 |
| între 300 – 400 ore | 7 |
| între 400 – 1000 ore | 3 |
| peste 2000 ore | 1 |

Testul a căutat în principal să verifice dacă se pot identifica în timp destinații IP care apar în amprentele de trafic în mod constant. Pentru a lămurii acest aspect, testul a urmărit extragerea de amprente la intervale succesive de timp, și a verificat dacă există destinații IP care să apară în mai multe, sau chiar în toate intervalele. Concret, s-au aplicat următoarele reguli:

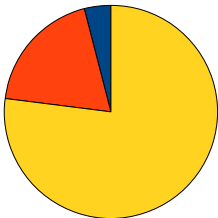
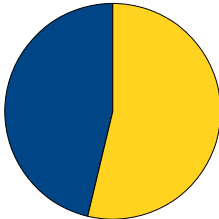
- amprenta de trafic se extrage pentru o unitate de timp (TU = Time Unit), stabilită la 8 ore de funcționare efectivă (1 TU = 8 ore);
- testul este repetat pentru 24 TU, succesive;
- restricții pentru IP-urile care intră în amprentă:

- minim 1% prezență per TU;
- dacă se împarte intervalul minutilor unui TU în 4 intervale egale, IP-ul trebuie să se regăsească în cel puțin 2 intervale;
- stația este declarată ca oprită după 10 minute de inactivitate;
- testul s-a efectuat pentru toate adresele MAC semnificative, descoperite în bazele de date. Pentru ca o adresă MAC să fie considerată semnificativă, trebuie să aibă un număr de pachete mai mare decât cel puțin jumătate din interval.

În concluzie, testul nu și-a propus să calculeze Gradul Global de Recunoaștere și nici variația lui în timp. S-a urmărit doar generarea amprentelor pentru unități de timp succesive, ca ulterior să verifice dacă se observă sau nu adrese IP care se repetă pe mai multe sau chiar pe toate intervalele.

Rezultatele testului pot fi sumarizate ca în Tabelul 10

Tabelul 10 – Observații generale asupra rezultatelor experimentale

| | |
|---|--|
| <p>Din punct de vedere al calculatoarelor pentru care s-au colectat informații, s-au identificat:</p> <ul style="list-style-type: none"> • 4 fără informații • 19 cu informații nerelevante • 77 cu informații relevante |  <p style="text-align: right;"> ■ Deloc ■ Nerelevante ■ Relevante </p> <p style="text-align: center;">Relevanța datelor colectate per calculatoare evaluate</p> |
| <p>Din punct de vedere al adreselor MAC, s-au identificat 845 cu trafic suficient de mare pentru a merita să fie studiate. Din acestea, 454 conțin informații relevante.</p> |  <p style="text-align: right;"> ■ Nerelevante ■ Relevante </p> <p style="text-align: center;">Relevanța datelor colectate per adrese MAC găsite</p> |

Pentru cele 454 adrese MAC, s-au extras o serie de statistici și grafice, pentru a evidenția că într-adevăr, se pot identifica adrese IP cu care calculatoarele comunică în mod constant, pe durate mari de timp. Chiar și în prezența unor aplicații software care generează trafic cu zeci de mii de adrese IP în intervale scurte (de ordinul orelor), metoda DTF dă rezultate foarte bune.

5.2. Rezultate privind variația amprentelor de trafic.

În continuare, se prezintă în detaliu câteva cazuri de studiu cu graficele aferente obținute. Pe grafice, axa OX reprezintă numărul unității de timp, cu convenția că prima unitate de timp se numerează cu 0. Așa cum s-a afirmat deja, 1 TU = 8 ore. Cele 8 ore sunt efectiv ore de funcționare, pauzele fiind eliminate. Axa OY reprezintă procentul de prezență, aferent fiecărei unități de timp. Liniile graficului reprezintă diverse destinații IP, care intră în componența amprentelor de trafic. Pentru a nu se încălca graficul cu foarte multe linii, au fost păstrate maxim 20 de IP-uri, cele care au trafic întins pe cea mai mare durată de timp.

Graficele pot fi clasificate astfel:

- destinații IP prezente pe durate mari de timp, cu variații reduse ale procentelor de prezență;
- destinații IP prezente pe durate mari de timp, dar cu variații mari ale procentelor de prezență.

Fig. 5.1 prezintă graficele este aferente unei adrese MAC întâlnite în trafic pe 18 TU, adică timp de 144 ore de funcționare. Ampretele de trafic extrase pentru fiecare din cele 18 TU, conțin aceleași 5 adrese IP: 105.1.0.0, 192.168.105.127, 255.255.255.255, 94.178.105.127, 94.178.105.3, identificate în fiecare unitate de timp și cu procente de prezență ce variază relativ puțin. Dacă stabilim amprenta de trafic astfel încât să conțină cele 5 destinații, recunoașterea adresei MAC va fi foarte bună.

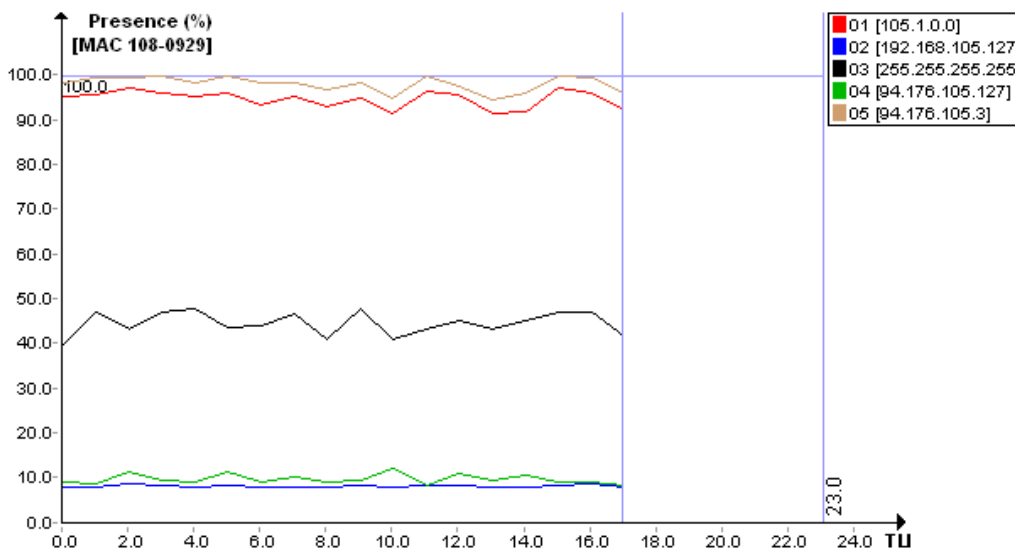


Fig. 5.1 Exemplu de variație a amprentei de trafic

Fig. 5.2 prezintă variația semnăturii pentru o altă stație. Adresa IP 13.35.219.16 este prezentă permanent în trafic, pe durata de 13TU, adică 104 ore, cu un procent de prezență care variază de la un TU la altul, între 91% - 98%. Alte câteva destinații au prezențe între 20% - 30%.

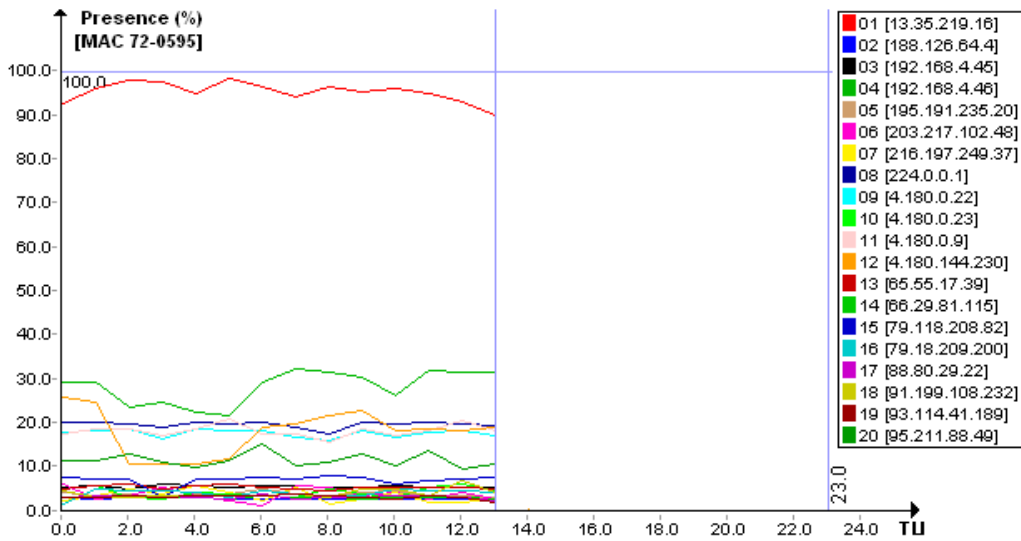


Fig. 5.2 Exemplu de variație a amprentei de trafic pentru 13TU

Fig. 5.3 conține cinci destinații, care toate se regăsesc pe un interval de 13TU, adică 104 ore. Unele dintre ele variază foarte puțin, iar altele mai mult, dar toate se încadrează în categoria destinațiilor cu trafic considerat constant.

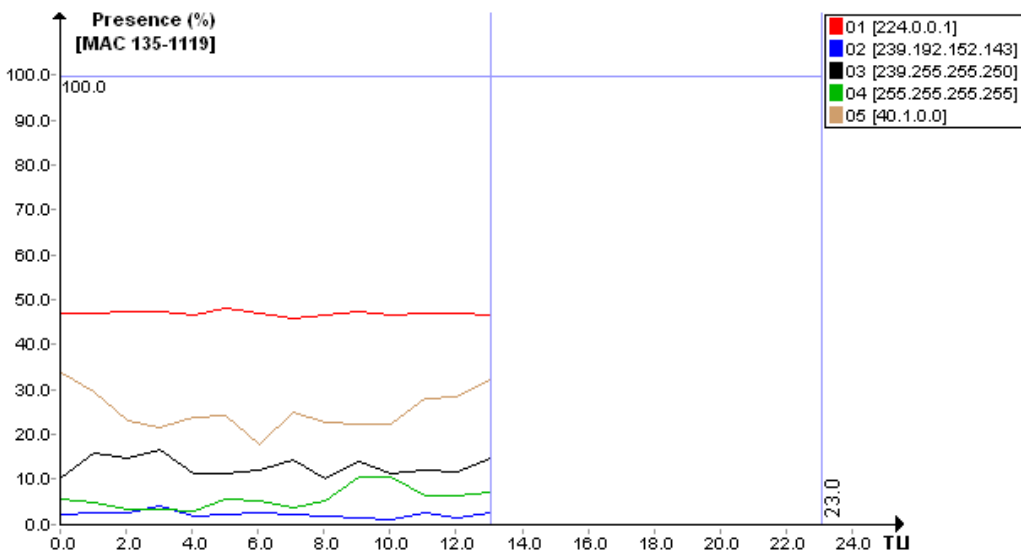


Fig. 5.3 Exemplu de variație a amprentei de trafic pentru 13TU, cu 5 destinații IP

Fig. 5.4 descrie un caz cu șase destinații IP. Cinci dintre acestea sunt cu trafic constant, cuprins între 5% - 20%. O destinație are o variație foarte puternică, începând cu valori de prezență situate aproximativ la 48% și coborând abrupt câteva ore la valori cuprinse între 5% - 20%.

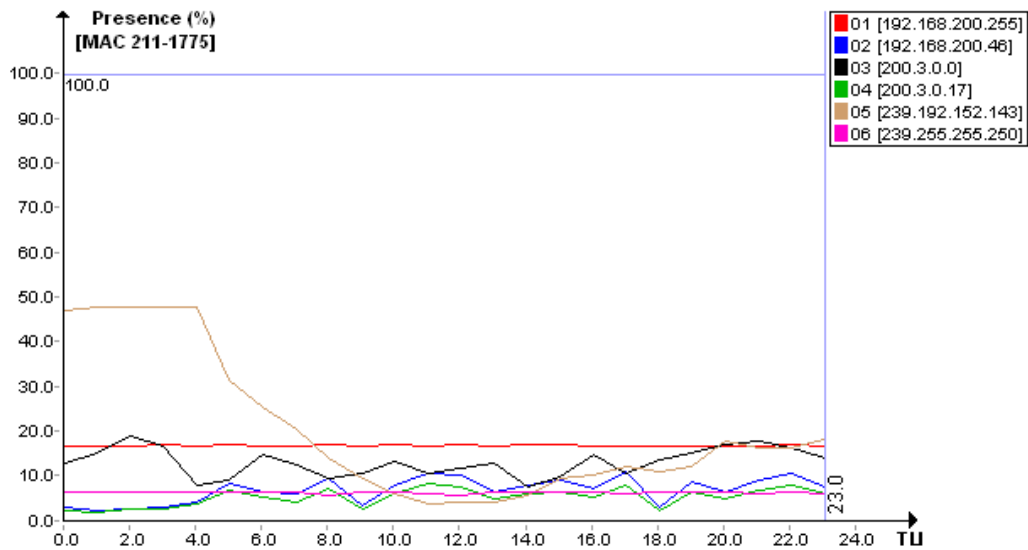


Fig. 5.4 Exemplu de variație a amprentei de trafic pentru 23TU, cu valori mici ale procentelor de prezență

În Fig. 5.5 se observă patru destinații IP cu valori relativ mici de prezență, dar totuși cu un grad ridicat de constanță. O altă adresă are o prezență în jurul valorii de 30%, iar alta variază foarte puternic, între 20% - 83%.

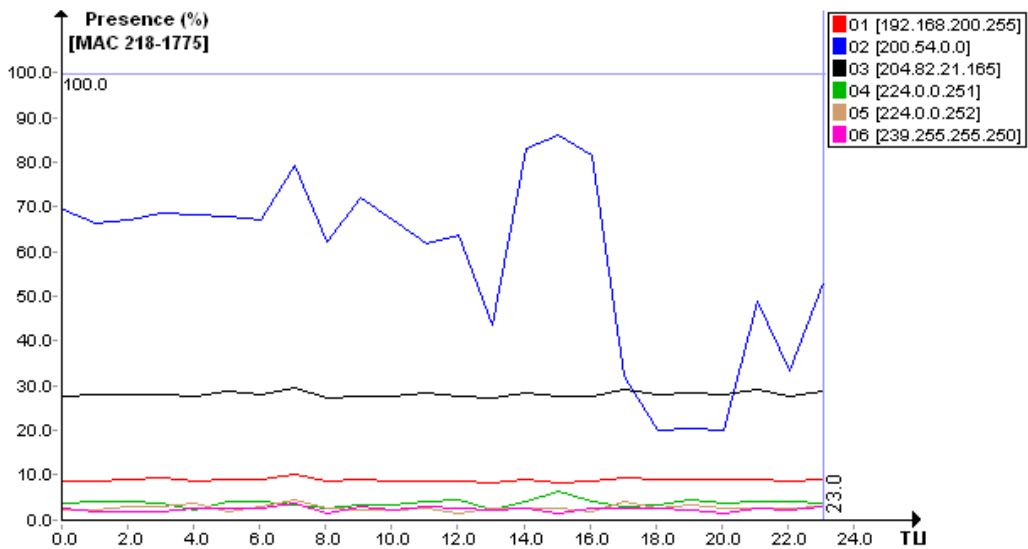


Fig. 5.5 Exemplu de variație a amprentei de trafic pentru 23TU, cu valori mici și medii ale procentelor de prezență

Fig. 5.6 prezintă un caz cu număr mare de destinații cu trafic constant la valori ridicate ale procentului de prezență. Din cele opt adrese IP, șapte au procente de prezență cuprinse în intervalul 85% - 100%. Numai una singura are prezență în

jurul valorii de 10%, dar se poate observa că este constantă, ceea ce reprezintă un mare avantaj.

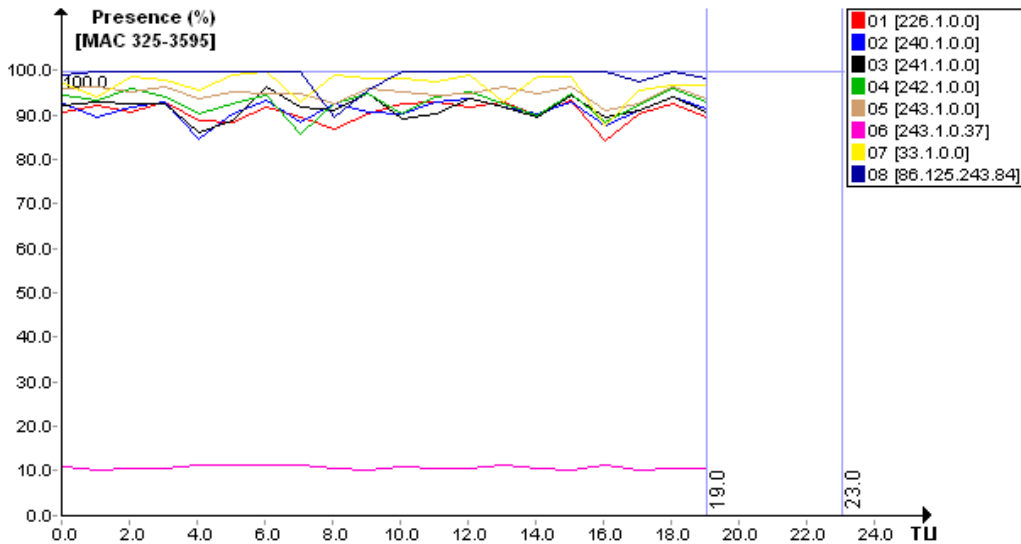


Fig. 5.6 Exemplu de variație a amprentei de trafic cu valori ridicate ale procentelor de prezență

Fig. 5.7 prezintă un caz cu trei categorii de destinații IP. Prima categorie constă în destinații IP cu procent ridicat de prezență, care variază în intervalul 80% - 95%. A doua categorie conține destinații IP cu prezență redusă, sub 10%, dar constantă. A treia categorie conține două adrese IP care se opresc în jurul valorii de mijloc a intervalului și nu mai apar ulterior.

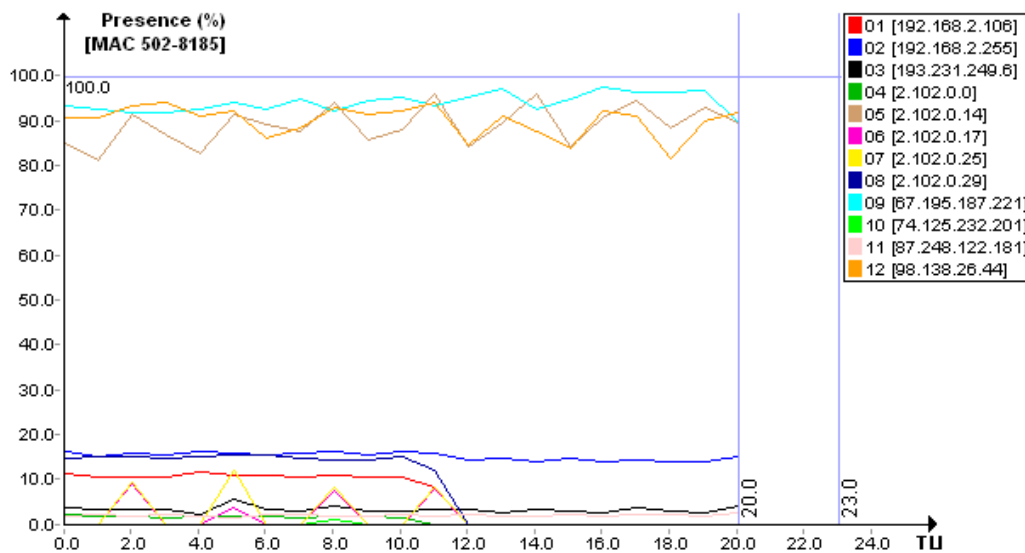


Fig. 5.7 Exemplu de variație a amprentei de trafic pentru 21TU

Următorul tip de variație constă în destinații pentru care procentul de prezență variază mult de la o unitate de timp la alta, dar totuși destinațiile se regăsesc de-a lungul timpului. Adresele pot fi incluse în amprentele de trafic, cu mențiunea că necesită o stabilire atentă a procentului de prezență luat în considerare. Iată câteva situații:

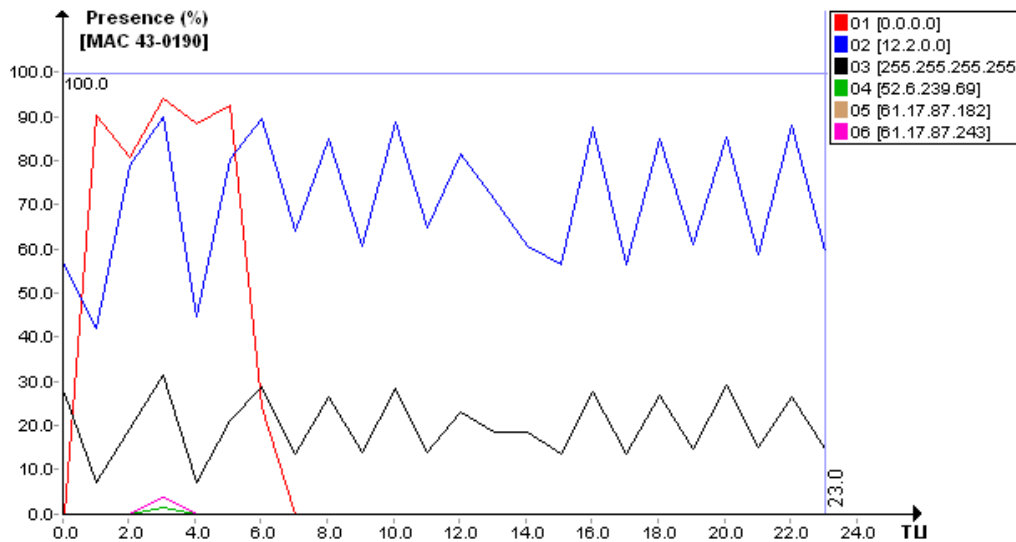


Fig. 5.8 Exemplu de variație a amprentei de trafic cu 2 destinații IP care prezintă trafic constant

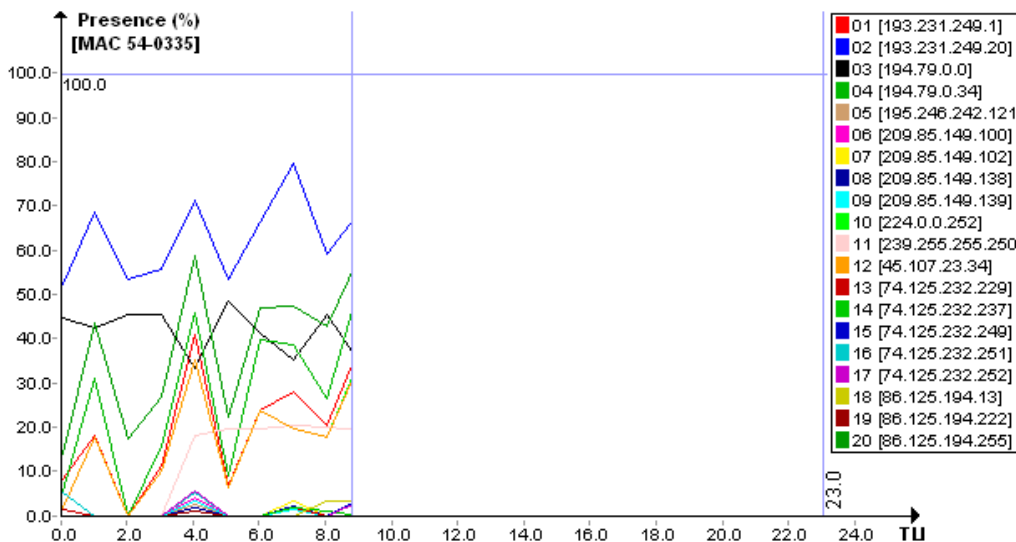


Fig. 5.9 Exemplu de variație a amprentei de trafic pentru 9TU, cu variații mari de la o unitate de timp la alta

Fig. 5.8 prezintă un caz cu câteva destinații IP. Două dintre acestea sunt prezente pe toată durata de 23TU (184 ore), variază puternic, dar se regăsesc pe întreg intervalul evaluat. O altă destinație prezintă valori ridicate ale procentului de prezență, dar numai pentru 5TU (40 ore), după care se oprește.

Fig. 5.9 prezintă un număr mai mare de adrese, urmărite pe o durată de 9TU (72 ore). Variația lor este mare de la o unitate de timp la alta.

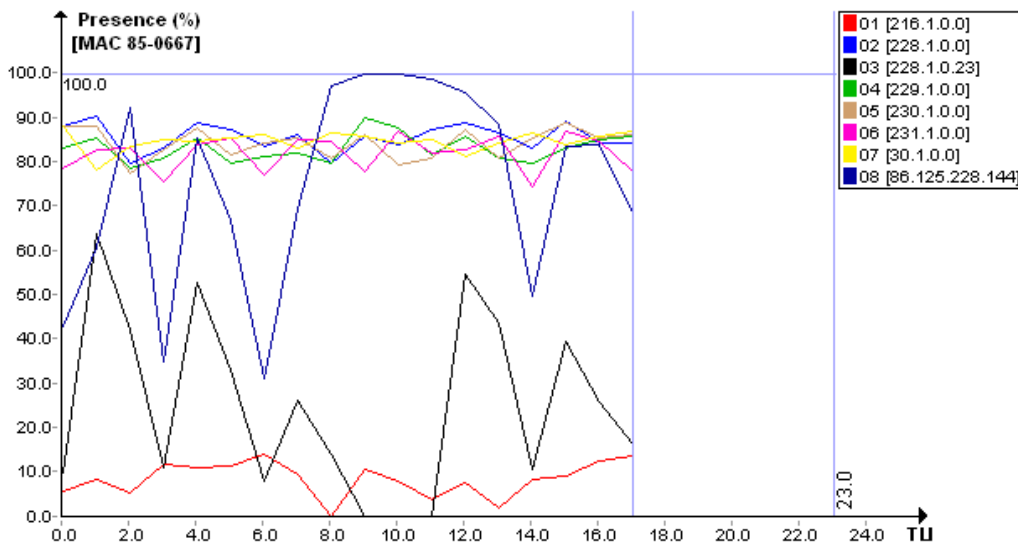


Fig. 5.10 Exemplu de variații puternice ale procentelor de prezență din cadrul amprentei de trafic, de la o unitate de timp la alta

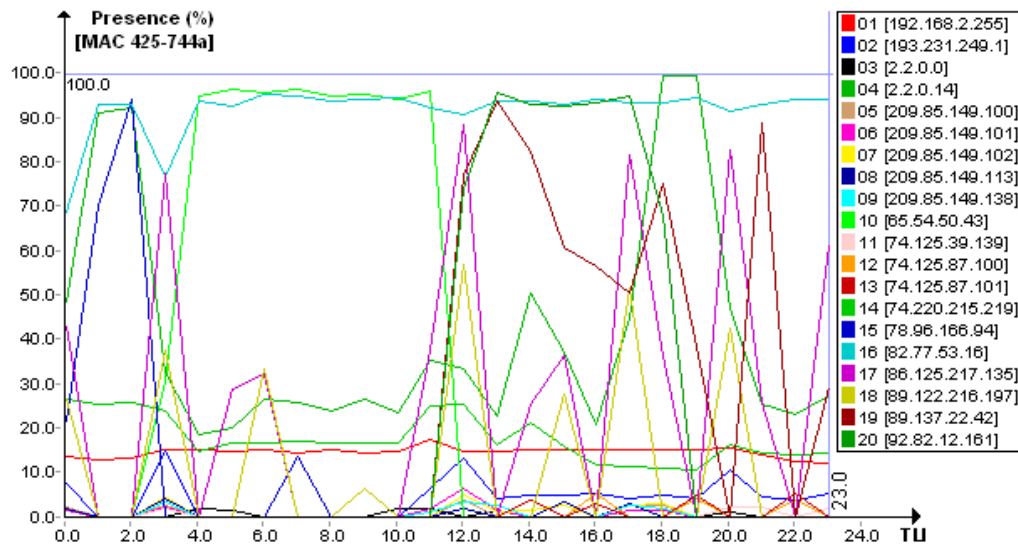


Fig. 5.11 Adresă MAC cu număr mare de destinații care prezintă trafic pe o durată de 23TU, dar cu variații mari ale procentelor de prezență

În Fig. 5.10 se identifică două tipuri combinate de adrese IP. Patru destinații IP au prezență cu variație mică și la valori mari, cuprinse între 80% - 90%, alte două destinații prezintă însă variații mari.

Fig. 5.11 descrie un număr mult mai mare de destinații cu variații puternice. Totuși, ceea ce interesează, este faptul că există adrese IP care se regăsesc în traficul unei stații pe o durată mare de timp. În cazul de față, evaluarea s-a făcut pentru un interval de 23TU (184 ore).

Fig. 5.12 a urmărit un interval de 17TU (134 ore). Și în cazul acestei stații, un număr mare de adrese IP se regăsesc în traficul stației pe o durată mare de timp.

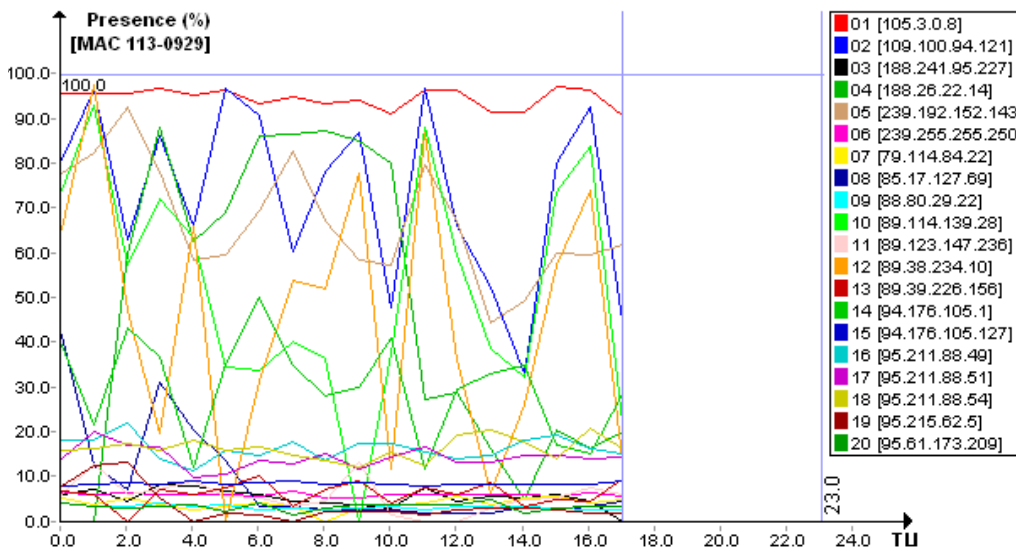


Fig. 5.12 Adresă MAC cu număr mare de destinații care prezintă trafic pe o durată de 17TU, cu variații mari ale procentelor de prezență pentru anumite destinații și constant pentru altele

Fig. 5.13 prezintă patru destinații cu variație puternică. Una dintre ele chiar dispare pentru câteva TU, fapt care o invalidează de la posibilitatea includerii ei în amprenta de referință.

În Fig. 5.14 se observă foarte multe destinații cu prezență constantă, situată între 5% - 15%. Pe lângă acestea, alte două destinații IP variază puternic.

Și în Fig. 5.15 se consideră un interval format din 23TU (184 ore), în care adresele IP cu variație mică se împletesc cu altele care prezintă variații puternice. Se observă de exemplu că una dintre destinații ajunge la o prezență de aproape 100%, dar pentru perioade scurte de timp.

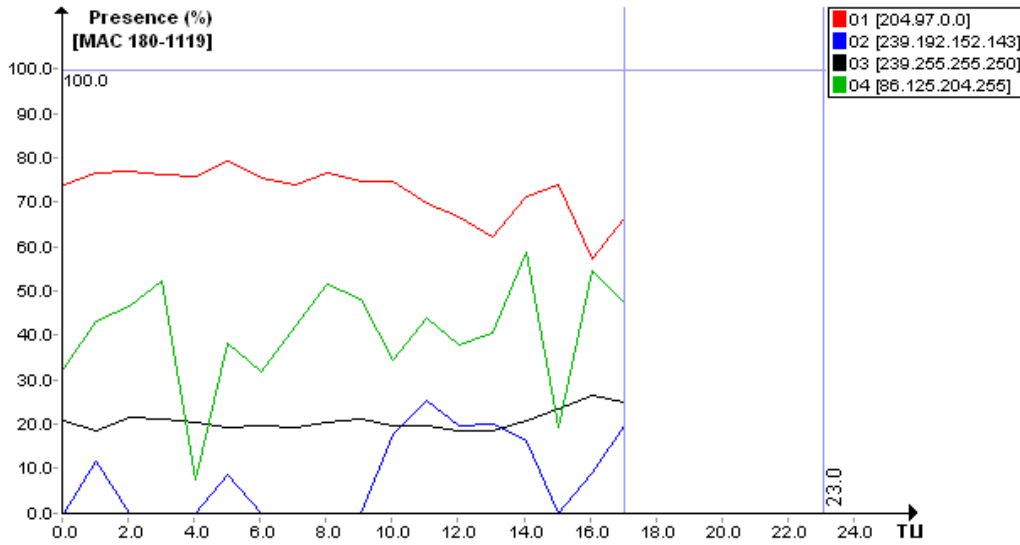


Fig. 5.13 Adresă MAC cu număr mic de destinații care prezintă trafic pe o durată de 17TU, dar cu variații mari ale procentelor de prezență

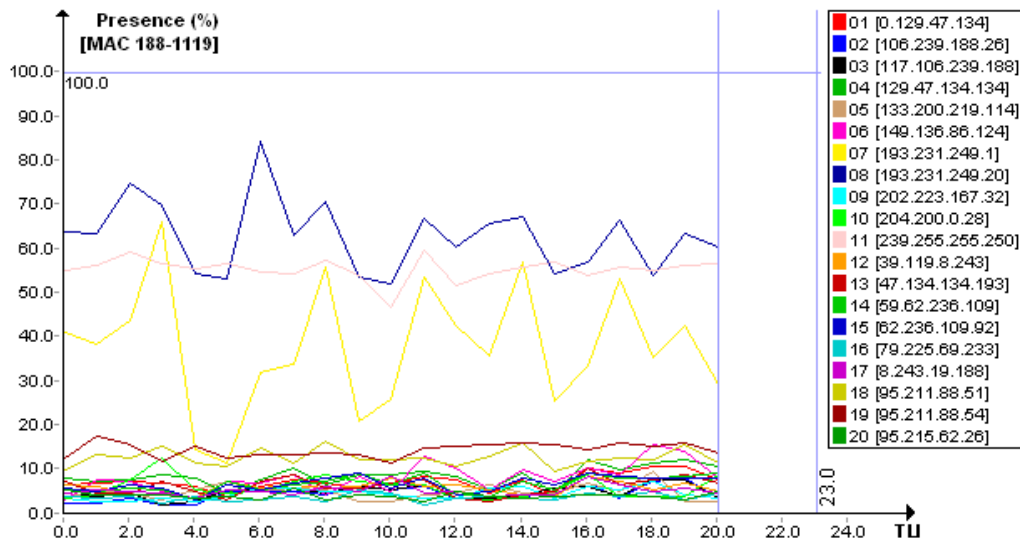


Fig. 5.14 Adresă MAC cu număr mare de destinații care prezintă trafic pe o durată de 21TU, cu variații mari ale procentelor de prezență pentru anumite destinații și constant pentru altele

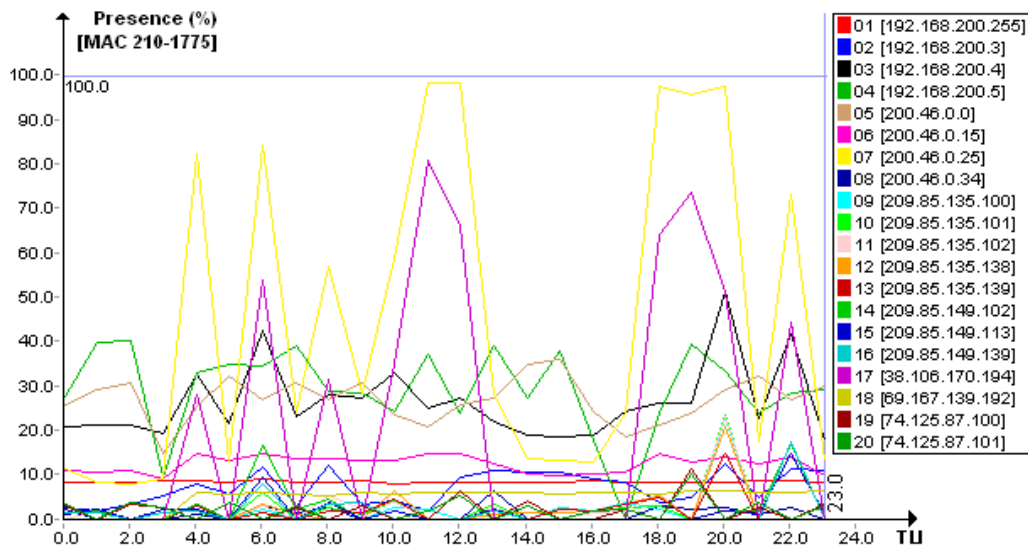


Fig. 5.15 Adresă MAC pentru care destinațiile IP cu variații mari ale procentelor de prezență, se împletesc cu destinații IP cu variații mici

Fig. 5.16 prezintă o structură aparte, cu două destinații IP care prezintă un trafic constant pe toată durata de 23TU (184 ore) și alte trei destinații IP care variază puternic.

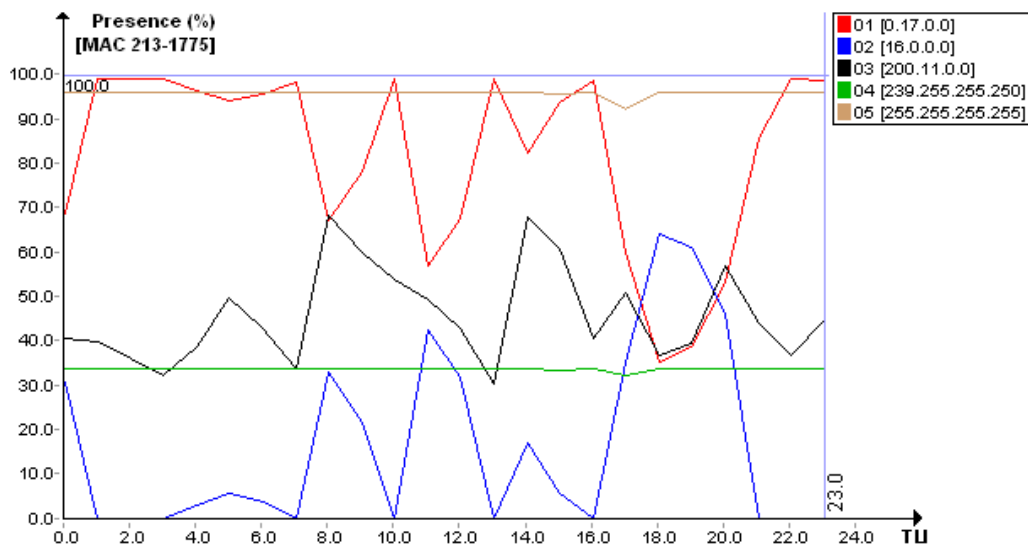


Fig. 5.16 Structură aparte ce conține două destinații IP cu variații foarte mici și altele cu variații foarte mari

Sunt situații, ca cea descrisă în Fig. 5.17, unde adresele cu variații mici sunt aproape absente. Cele mai multe variază puternic, dar se observă că persistă în trafic pe durate mari de timp.

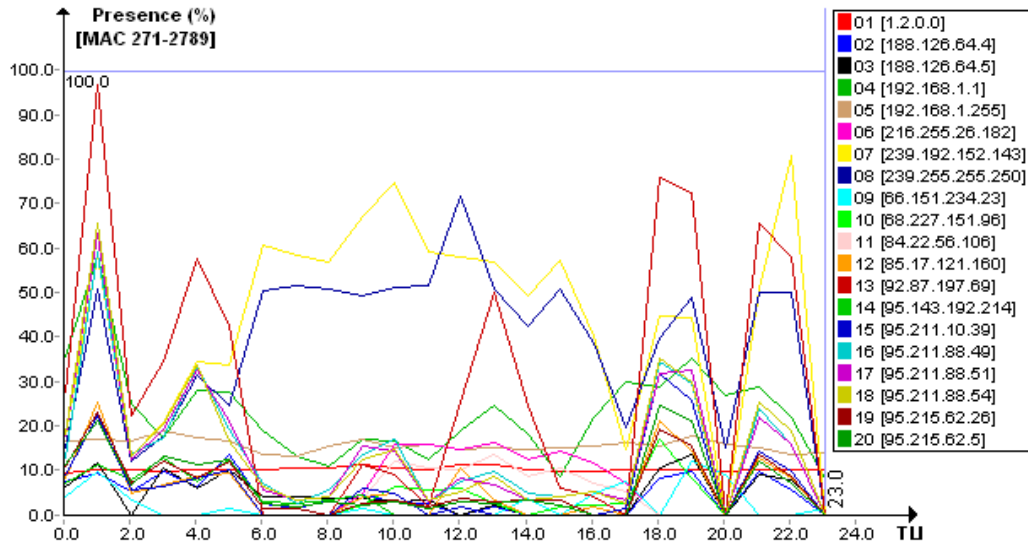


Fig. 5.17 Variația amprentei de trafic pentru o adresă MAC ce conține număr mare de destinații IP

În Fig. 5.18, situația este asemănătoare cu cea din Fig. 5.17, în sensul că variațiile procentelor de prezență sunt mari de la o unitate de timp la alta.

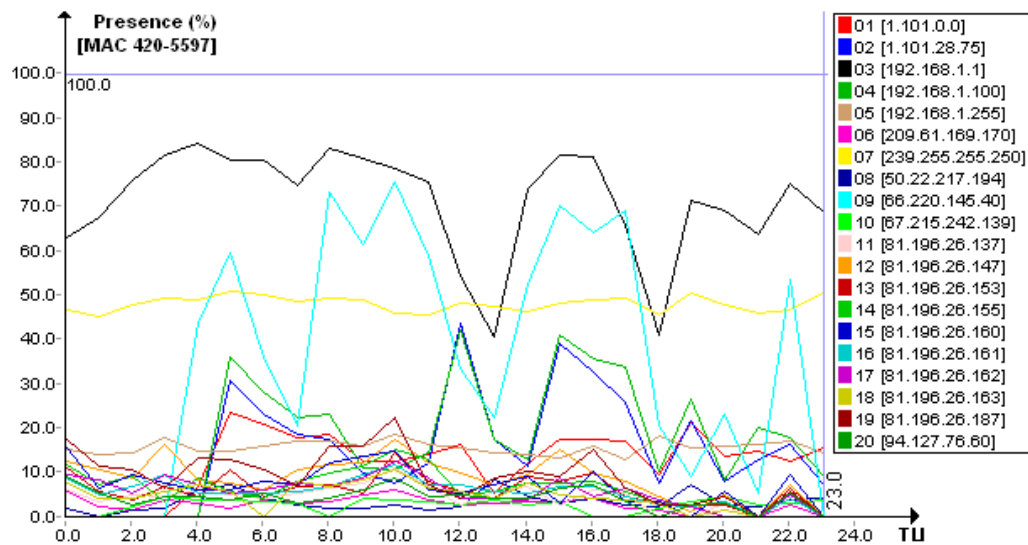


Fig. 5.18 Exemplu de variație a amprentei de trafic ce conține suficiente informații pentru identificarea adresei MAC

Fig. 5.19 prezintă un caz cu o serie de destinații IP cu variații nu foarte mari, situație suficient de bună pentru ca identificarea adresei MAC să se realizeze în mod corespunzător.

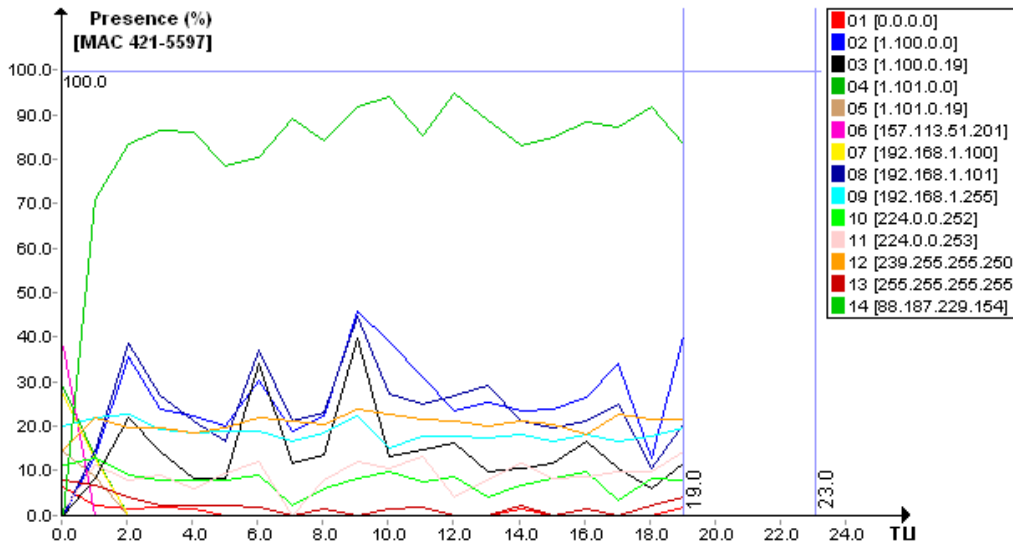


Fig. 5.19 Alt exemplu de variație a ampretei de trafic

Fig. 5.20 aduce în atenție din nou o situație combinată, în care adresele IP cu variații mici se regăesc împreună cu adrese IP cu variații mai mari. Variațiile acestea nu încurcă procesul de recunoaștere a adresei MAC, trebuie doar ca amprenta de referință să fie configurată corespunzător.

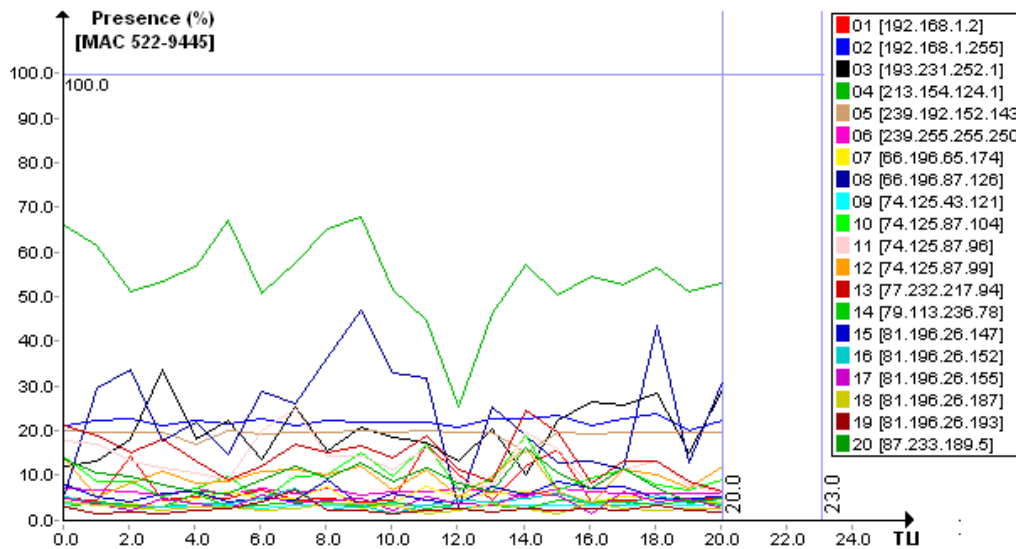


Fig. 5.20 Exemplu de variație a ampretei de trafic, cu procente mici de prezență

5.3. Concluzii.

Rezultatele obținute relevă faptul că în timp, există destinații IP care se păstrează în traficul unei adrese MAC, și pot defini o amprentă de trafic. Ținând cont de durata experimentului și de numărul calculatoarelor, faptul că s-au identificat un număr semnificativ de cazuri în care traficul spre anumite destinații este prezent în mod constant, dovedește utilitatea metodei.

Procentul de prezență al unei destinații IP poate varia în timp mai mult sau mai puțin, dar cel mai important lucru este faptul că adresa poate fi întâlnită în multe unități de timp succesive. Variații mari pentru procentul de prezență complică procesul de stabilire a valorii de referință pentru întregul interval, dar cu o configurare atentă, chiar și aceste situații pot fi transformate în componente ale unor amprente de referință.

Destinațiile IP care prezintă variații mici ale procentelor de prezență, sunt de dorit în componența amprentelor de referință și conferă stabilitate procesului de validare în timp real. După cum s-a putut observa în paragrafele precedente, cazuri de genul acesta sunt frecvente. Astfel, dacă se alege ca amprentă de trafic, destinațiile IP care se repetă de-a lungul unităților de timp, validarea adreselor MAC va fi posibilă cu rate ridicate ale Gradului Global de Recunoaștere.

6. CONCLUZII, CONTRIBUȚII ADUSE ȘI DEZVOLTĂRI PENTRU VIITOR

În cadrul acestui capitol se prezintă concluziile finale și contribuțiile cele mai importante aduse de către autor, atât ca metode cât și ca unelte software de testare. Sunt descrise posibile direcții de dezvoltare pentru viitor, care au ca scop creșterea fiabilității aspectelor prezentate.

6.1. Concluzii finale.

Lucrarea de față este dedicată cercetărilor din domeniul securizării rețelelor de calculatoare împotriva pătrunderilor neautorizate prin falsificarea adreselor MAC. Problemele abordate sunt de actualitate și au o importanță vitală, dat fiind faptul că frecvența și gravitatea atacurilor cibernetice a crescut mult în ultimul timp.

Obiectivul principal al lucrării îl constituie identificarea cât mai rapidă și cât mai exactă a identității unei adrese MAC întâlnite în trafic. Pentru atingerea obiectivului propus, au fost necesare următoarele direcții de cercetare:

- o analiză critică a stadiului actual în domeniul pătrunderilor neautorizate în rețelele de calculare, prin falsificarea adreselor MAC;
- dezvoltarea unei metode noi de detecție a falsificării adreselor MAC, care să valideze identitatea unei stații pe baza comparației dintre amprenta de referință și cea actuală;
- modelarea, implementarea și analizarea fiabilității sistemului de detecție propus.

Abordarea sistemică a detecției adreselor MAC falsificate conferă o formalizare a problemicii studiate, prin care se stabilesc principalele componente ale sistemului și modul în care acestea sunt interconectate. Rețeaua de calculatoare este văzută sub forma unor stații individuale care generează trafic de date. Accesul unei stații în rețea este permis numai pe baza autorizării adresei MAC. Rețeaua este permanent monitorizată și orice încercare de pătrundere a unei stații neautorizate este semnalată rapid.

Analiza critică a stadiului actual în domeniul pătrunderilor neautorizate prin falsificarea adreselor MAC, a dus la obținerea unei imagini de ansamblu cu privire la modul în care este tratată în practică problema falsificării adreselor MAC.

Metodele clasice de detecție încearcă să valideze identitatea unei adrese MAC, fie prin analizarea unor parametrii din cadrul pachetelor de date monitorizate în rețea, fie prin amprentarea echipamentului care emite pachetele de date. Fiecare metodă a fost sintetizată cu atenție, punând în evidență avantajele și dezavantajele pe care le oferă.

Analiza comparativă a metodelor prezentate a luat în calcul răspunsul pe care aceste metode îl au în diverse situații specifice, cum ar fi:

- detectarea unui intrus care vine în rețeaua locală, chiar în locul stației autorizate;
- limitarea metodelor la rețele wired sau wireless;
- necesitatea instalării unui software pe stația client;
- aplicabilitate în absența suprapunerii traficului provenit de la sursa autorizată, cu cel provenit de la sursa neautorizată;
- aplicabilitate în pofida mobilității stației client și trecerii acesteia dintr-o subrețea în alta;
- aplicabilitate în pofida utilizării de către intrus a unui echipament identic cu cel autorizat;
- aplicabilitate pentru echipamente de tip Desktop/Laptop.

Analiza comparativă a dus la concluzia că cele mai multe dintre metodele folosite în prezent pentru validarea adreselor MAC întâlnite în trafic, au valabilitate limitată. Situațiile specifice menționate anterior sunt des întâlnite în trafic, dar din păcate lipsesc abordări care să asigure validarea adreselor MAC în toate aceste situații specifice.

În cadrul tezei, s-a dezvoltat o metodă nouă de detecție a adreselor MAC falsificate, metodă care acoperă toate cazurile menționate anterior. Metoda a fost numită „Destination Traffic Fingerprint” (DTF) și folosește pentru validare o amprentă de referință, alcătuită din adresele IP ale destinațiilor cu care stația comunică în mod constant.

Ampretele sunt reprezentate matematic sub forma unor mulțimi de perechi, unde fiecare pereche este compusă dintr-o destinație IP și procentul de prezență pe care îl are în timp traficul către destinația respectivă.

Domeniul de aplicabilitate al metodei s-a demonstrat a fi suficient de larg, pentru ca algoritmul să poată fi utilizat în practică. Pentru ca metoda să fie utilizabilă pentru o anumită stație din rețea, este necesar ca să se poată genera o amprentă de referință pentru stația respectivă. După cum s-a dovedit în capitolele precedente, modul de utilizare al calculatoarelor, permite în cele mai multe cazuri extragerea unei amprente de referință. Sunt rare cazurile în care nu se poate extrage o amprentă de referință, și aceste cazuri de obicei se întâlnesc în rețele cu acces public, unde o stație este folosită de către un număr foarte mare de utilizatori.

În plus, s-a demonstrat în teza de față faptul că domeniul de aplicabilitate este extins și datorită utilizării pe scară largă a unor tehnologii și servicii, care favorizează aplicarea metodei DTF, cum ar fi:

- utilizarea aplicațiilor software de tip ERP;
- comunicarea între angajați prin intermediul unor servere de e-mail proprii;
- utilizarea rețelelor VPN;
- virtualizare și cloud.

Determinarea traficului constant reprezintă partea cea mai importantă din întreg procesul de validare. Din totalitatea destinațiilor IP cu care o stație comunică în rețea, trebuie filtrate adresele care sunt asociate cu un trafic temporar sau punctual, astfel încât să rămână în final doar cele aferente traficului constant. Evaluarea traficului s-a realizat la nivel de minut, verificându-se nu „cantitatea” de trafic ci prezența sau absența traficului.

În acest context, traficul constant s-a definit ca fiind cel pentru care minutele de prezență sunt relativ constante pe o durată mare de timp. Traficul temporar a fost definit ca fiind traficul pentru care minutele de prezență sunt

regăsite doar în anumite subintervale de timp din intervalul evaluat iar traficul punctual s-a definit ca fiind traficul pentru care minutele de prezență se regăsesc izolat pe axa timpului.

Pentru a caracteriza traficul constant, au fost propuși următorii parametrii:

- Procentul de Prezență;
- Procentul de Absență Maximă;
- Criteriul de prezență pe subintervale egale;
- Puterea ampretei de referință.

Procentul de Prezență s-a stabilit ca fiind raportul dintre numărul de minute în care există trafic către o destinație anume, și numărul total de minute aferente perioadei de evaluare. Acest parametru este foarte important în procesul de stabilire a traficului constant, dar nu este o măsură suficientă datorită faptului că nu oferă informații despre variația sa de-a lungul perioadei de timp evaluate.

S-a demonstrat în lucrarea de față faptul că există situații în care valoarea procentului de prezență este constantă în timp sau variază foarte puțin. Scopul metodei DTF este să determine cu precizie aceste situații și să includă în amprenta de referință destinațiile IP aferente unui astfel de trafic.

Totuși, valoarea procentului de prezență nu este suficientă pentru stabilirea unui trafic ca fiind „constant”. O valoare ridicată a procentului de prezență pe anumite subintervale, ar putea „ascunde” absența traficului în restul timpului și ar putea conduce la o interpretare greșită, însoțită de inserarea în amprenta de referință a unor destinații care nu prezintă trafic constant. Din acest motiv, în caracterizarea traficului constant trebuie să fie obligatoriu să se țină cont de următorii parametrii.

Procentul de Absență Maximă este următorul parametru care poate fi utilizat în scopul determinării traficului constant. Procentul acesta urmărește să determine cât reprezintă cea mai mare „pauză” de trafic, din totalul timpului evaluat și este definit ca fiind raportul dintre numărul maxim de minute în care nu a avut loc trafic către o destinație, și numărul total de minute evaluate.

Parametrul acesta ajută în determinarea traficului constant, în sensul că scoate în evidență anumite cazuri de trafic temporar sau punctual. Totuși, problema principală a acestui indicator este aceea că e puternic influențat de perioada de timp evaluată. Din acest motiv, folosirea Procentului de Absență Maximă în vederea caracterizării traficului constant, nu este o măsură concludentă.

Criteriul de prezență pe subintervale egale este mult mai relevant decât Procentul de Absență Maximă și poate identifica adresele IP cu trafic temporar sau punctual. Criteriul acesta împarte intervalul de timp evaluat într-un număr de subintervale egale și verifică traficul pe fiecare din aceste subintervale. Traficul constant este declarat cel regăsit în toate sau aproape toate subintervalele.

Puterea ampretei de referință este o valoare numerică și reprezintă o măsură asupra calității ampretei de referință. Cu cât valoarea aceasta este mai mare, cu atât calitatea ampretei este mai bună. Evaluarea se poate face prin intermediul unor factori, cum ar fi: stabilitatea, credibilitatea și viteza de validare. Două amprete de referință stabilite pentru aceeași adresă MAC, vor fi comparate pe baza puterii calculate, iar sistemul va păstra pe cea care prezintă valoarea

maximă. Calculul puterii amprentei se realizează prin însumarea procentelor de prezență ale destinațiilor IP din componența amprentei.

Pentru validarea identității adreselor MAC s-a introdus Gradul Global de Recunoaștere, calculat pe baza comparației dintre amprenta de referință și amprenta actuală. Rezultatul este dat sub forma unui procent, care comunică o măsură a recunoașterii adresei MAC. Calculul se poate realiza în manieră standard sau ponderat.

Calculul standard determină un grad individual de recunoaștere pentru fiecare adresă IP care intră în componența amprentei de referință, și apoi stabilește Gradul Global de Recunoaștere ca fiind media aritmetică a gradelor individuale. Gradele individuale sunt stabilite ca raport între procentul de prezență actual cu cel din amprenta de referință.

Calculul ponderat ține cont de valoarea procentului de prezență a fiecărei destinații ce intră în componența amprentei de referință. Gradele individuale intră în calculul Gradului Global cu o anumită pondere, calculată prin intermediul raportului dintre procentul de prezență și valoarea medie a puterii amprentei de referință.

S-a demonstrat în lucrarea de față, faptul că varianta ponderată de calcul a Gradului Global de Recunoaștere este mult superioară calculului standard, întrucât are capacitatea de a oferi rezultate bune chiar și în prezența variațiilor temporare de trafic. Absența temporară a traficului către o destinație cu prezență redusă, poate duce la interpretări greșite în cazul calculului standard.

Modelarea matematică a funcționării metodei DTF, atât pentru determinarea amprentei de referință, cât și pentru validarea adreselor MAC în timpul funcționării, permite o abordare sistemică a problematicii studiate, prezentând formalismele fiecărui subsistem și modul în care aceste subsisteme sunt legate între ele pentru obținerea funcționării de ansamblu. Pentru fiecare bloc din schemă s-a formalizat matematic mărirea sau mărimile de intrare, și s-a determinat modul de calcul al ieșirii.

Modelarea Fuzzy permite identificarea traficului constant pe baza relațiilor și regulilor definite în cadrul unui sistem de tip Mandami, sistem definit cu patru variabile de intrare și o ieșire. Fiecare din cele patru variabile de intrare reprezintă o subdiviziune a intervalului de timp evaluat, și are asociat procentul de prezență calculat pe subintervalul respectiv. Valorile funcțiilor de apartenență, definite: „Continuu”, „Prezență-Ridicată”, „Prezență-Medie”, „Prezență-Mică” și respectiv „Absent”, încadrează valoarea procentului de prezență asociat subintervalului. Regulile definite vor ține cont de aceste valori pentru cele patru subintervale, și vor genera la ieșire răspunsul sistemului, sub forma unei valori care poate fi: „Constant”, „Aproape Constant”, „Variabil”, „Puternic Variabil” și respectiv „Ocazional”.

Toolbox-ul software conceput în vederea dezvoltării metodei DTF, oferă un mediu de simulare foarte util, ce permite observarea tuturor fazelor de lucru, de la generarea amprentei de referință și până la identificarea adreselor MAC. Rezultatele obținute cu ajutorul simulatorului atestă avantajele metodei DTF în domeniul detecției adreselor MAC falsificate.

În final, trebuie remarcat faptul că teza de față aduce contribuții semnificative în domeniul detecției adreselor MAC falsificate, prin conceperea

metodei „Destination Traffic Fingerprint”, o abordare nouă, originală, ce oferă o serie de avantaje, cum ar fi:

- costuri reduse pentru monitorizare și control;
- extragerea amprentei de referință se realizează fără să fie necesară o intervenție directă asupra stației evaluate, ci doar prin monitorizarea traficului într-un punct al rețelei
- extragerea amprentei de referință se poate realiza în timpul normal de funcționare al stației, fără să fie necesară întreruperea activității utilizatorilor;
- detectează atât atacuri provenite din exteriorul rețelei, cât și cele provenite din interior, chiar în locul stației autorizate;
- nu are limitări cu privire la tehnologia de implementare a rețelei (wired sau wireless);
- semnalizează intrusul indiferent dacă acesta încearcă să pătrundă în rețea atunci când stația autorizată este oprită sau când stația autorizată este pornită;
- se poate aplica și pentru utilizatorii mobili, care trec dintr-o subrețea în alta;
- stabilește identitatea adresei MAC, indiferent dacă intrusul folosește un echipament identic sau diferit de cel autentic;

În concluzie, folosirea metodei DTF pentru stabilirea și validarea identității adreselor MAC întâlnite în trafic, reprezintă o abordare atractivă și se recomandă în contextul în care atacurile cibernetice sunt frecvente și duc la consecințe negative uneori deosebit de grave.

Semnalarea din timp a utilizatorilor neautorizați care încearcă să pătrundă în rețea, oferă posibilitatea de reacție rapidă, în vederea localizării intrusului și luarea măsurilor necesare pentru fiecare situație particulară în parte.

6.2. Contribuții originale.

Pornind de la obiectivele declarate, în continuare se prezintă principalele contribuții originale:

- realizarea unei analize sistemice a procesului de detecție a adreselor MAC falsificate;
- elaborarea unui studiu critic al metodelor actuale de detecție a falsificării adreselor MAC și evaluarea acestor metode prin prisma răspunsului pe care îl oferă în diverse situații specifice;
- elaborarea unei noi metode de detecție a adreselor MAC falsificate, pe baza unei amprente de trafic alcătuite din destinațiile IP cu care o stație comunică în mod constant, metodă denumită Destination Traffic Fingerprint (DTF);
- definirea traficului constant, temporar și punctual;

- definirea matematică a procentului de prezență al unei destinații IP;
- definirea matematică a procentului de absență maximă a unei destinații IP;
- definirea criteriului de prezență pe subintervale egale;
- definirea matematică a puterii amprentei de referință și a mediei puterii amprentei de referință;
- definirea calității amprentei de referință, prin stabilitate, credibilitate și viteză de validare;
- definirea matematică a relațiilor ce caracterizează amprenta de referință și amprenta actuală;
- definirea matematică a gradului de recunoaștere a unei destinații, în variantă standard și variantă ponderată;
- definirea Gradului Global de Recunoaștere al unei adrese MAC, în variantă standard și variantă ponderată;
- stabilirea modului de validare a unei adrese MAC, pe baza Gradului Global de Recunoaștere;
- formalizarea matematică a spațiului de adrese IP v.4;
- formalizarea matematică a unui pachet de date din rețea;
- dezvoltarea unui model sistemic destinat determinării amprentei de referință, cu definirea formalismelor subsistemelor componente;
- dezvoltarea unui model sistemic destinat validării în trafic a unei adrese MAC, cu definirea formalismelor subsistemelor componente;
- dezvoltarea unui model Fuzzy pentru determinarea traficului constant;
- analiză comparativă a generării amprentei de referință, în manieră standard respectiv modelare Fuzzy;
- analiza unor servicii/tehnologii care favorizează utilizarea metodei DTF;
- implementare în Matlab a celor două variante (standard și ponderată) de determinare a Gradului Global de Recunoaștere;
- realizarea unei aplicații software numită „Packet Recorder”, care are capacitatea de a capta pachetele din rețea și de a le transforma într-un tipar necesar aplicării metodei DTF;
- dezvoltarea unui simulator de rețea, numit „Network Detector”, care include următoarele funcții importante:
 - alcătuirea unei rețele virtuale cu date provenite din arhivele realizate de Packet Recorder;
 - parametrizarea generării amprentelor de referință;
 - generarea și memorarea amprentelor de referință;
 - generarea unor rapoarte de urmărire a variației amprentelor de-a lungul mai multor unități de timp;
 - generarea unor grafice pentru observarea distribuției traficului către destinațiile IP;
 - simularea unei rețele în care este activă detecția DTF, cu următoarele facilități:
 - selectarea și configurarea datelor care intră în simulator;
 - calculul Gradului Global de Recunoaștere și vizualizarea grafică a gradului de recunoaștere pentru stațiile ce funcționează în rețea;
 - informații actualizate despre amprentele actuale;
 - determinarea amprentelor în timpul derulării simulării;
 - stabilirea modului de calcul al Gradului Global de Recunoaștere, chiar și în timpul simulării;

- oprirea forțată a unei stații (simulatorul ignoră traficul stației respective);
- falsificarea adresei MAC, astfel încât o stație să își poată schimba adresa MAC și în felul acesta să se observe identificarea realizată prin intermediul metodei DTF;
- realizarea unui test experimental pentru validarea strategiei propuse.

6.3. Direcții de cercetare generate de studiile efectuate.

Rezultatele obținute în cadrul acestei teze pot fi dezvoltate prin continuarea cercetării în domeniul abordat, în câteva direcții, dintre care se pot aminti:

- adaptarea automată a amprentelor de referință, în cazul unor schimbări apărute în traficul constant generat de stația în cauză;
- optimizarea calculului Gradului Global de Recunoaștere, prin introducerea altor modele, separat de varianta standard și varianta ponderată;
- reducerea timpului necesar validării identității unei adrese MAC;
- completarea detecției adreselor MAC falsificate, cu algoritmi de localizare a intrusului;
- completarea detecției adreselor MAC falsificate, cu elemente de eliminare automată a intrusului care a pătruns în rețea:

Bibliografie.

- [Ahm-13] A.M.Y. Ahmed, Q. Depei, "An optimization of security and trust management in distributed systems", IACC 2013, ISBN: 978-1-4673-4527-9
- [Ara-10] C. Arackaparambil, S. Bratus, A. Shubina, D. Kotz, „On The Reliability of Wireless Fingerprinting using Clock Skews“, ACM WiSec 2010, ISBN 978-1-60558-923-7
- [Avi-04] Algirdas Avizienis, Jean-Claude Laprie, Brian Randell, Carl Landwehr, „Basic concepts and Taxonomy of Dependable and Secure Computing“, IEEE Transactions on Dependable and Secure Computing, 2004
- [Ban-08] Richa Bansal, Siddharth Tiwari, Divya Bansal, "Non-Cryptographic Methods of MAC Spoof Detection in Wireless LAN", ICON 2008, 978-1-4244-3805-1/08
- [Bar-12] I.B. Barla, D.A. Schupke, G. Carle, "Virtual Network Simulator Architecture", UKSim 2012, ISBN: 978-1-4673-1366-7
- [Bea-09] A. Beach, M. Gartrell, R. Han, „Solutions to Security and Privacy Issues in Mobile Social Networking“, CSE 2009, ISBN 978-1-4244-5334-4
- [Bor-09] K.C. Borries, G. Judd, D.D. Stancil, P. Steenkiste, "FPGA-Based Channel Simulator for a Wireless Network Emulator", VTC 2009, ISBN: 978-1-4244-2517-4
- [Bra-08] S. Bratus, C. Cornelius, D. Kotz, D. Peebles, „Active Behavioral Fingerprinting of Wireless Devices“, ACM, 2008, 978-1-59593-814-5
- [Bri-08] V. Brik, S. Banerjee, M. Gruteser, S. Oh, „Wireless Device Identification with Radiometric Signatures“, ACM MobiCom 2008, ISBN 978-1-60558-096-8
- [Bul-09] D. Bultmann, M. Muhleisen, K. Klagges, M. Schinnenburg, "OpenWNS - open Wireless Network Simulator", EW 2009, ISBN: 978-1-4244-5935-3
- [Bzo-11] P. Bzoch, J. Safarik, "Security and reliability of distributed file systems", IDAACS 2011, ISBN: 978-1-4577-1426-9
- [Car-08] L. Carter, J. Dyal, S. Doshi, R. Bagrodia, "A hardware-in-the-loop (HWIL) network simulator for analysis, and evaluation of large-scale military wireless communication systems", MILCOM 2008, ISBN: 978-1-4244-2676-8
- [Cha-09] G. Chandrasekaran, J. Francisco, V. Ganapathy, M. Gruteser, W. Trappe, „Detecting Identity Spoofs, in IEEE 802.11e Wireless Networks“, IEEE GLOBECOM Proceedings, 2009, 978-1-4244-4148-8
- [Chu-12] L. Chunli, L. Donghui, „Computer Network Security Issues and Countermeasures“, ISRA 2012, ISBN 978-1-4673-2205-8
- [Cor-11] E. Corchado, Á. Herrero, "Neural Visualization of Network Traffic Data for Intrusion Detection", Applied Soft Computing, Volume 11, Issue 2, 2011
- [Del-10] P. De Lutiis, „Managing Home Networks Security Challenges Security Issues and Countermeasures“, ICIN 2010, ISBN 978-1-4244-7443-1
- [Dik-10] T.K. Dikalotis, A.G. Dimakis, T. Ho, "Security in distributed storage systems by communicating a logarithmic number of bits", ISIT 2010, ISBN: 978-1-4244-7890-3
- [Dis-11] S. Distefano, A. Puliafito, "Achieving Distributed System Information Security", CIS 2011, ISBN: 978-1-4577-2008-6
- [Drz-07] L. Drzewiecki, M. Antoniak-Lewandowska, "Flow Simulator - a flow-based network simulator", EUROCON 2007, ISBN: 978-1-4244-0813-9

- [Edm-09] M. Edman, B. Yener, „Active Attacks Modulation-based Radiometric Identification. Technical Report 09-02”, 2009
- [Elk-94] C. Elkan, H.R. Berenji, B. Chandrasekaran, C.J.S de Silva, „The Paradoxical Success of Fuzzy Logic”, IEEE Expert, Volume 9, Issue 4, 1994, ISSN: 0885-9000
- [Esc-08] R. Escola, C. Puzat, A. Chaffiol, B. Yvert, I.E. Magnin, R. Guillaud, "SIMONE: A Realistic Neural Network Simulator to Reproduce MEA-Based Recordings", IEEE Transactions on Neural Systems and Rehabilitation Engineering, Volume 16, Issue 2, ISSN: 1534-4320
- [Esf-10] A. Esfandi, „Challenges and problems in the ERP implementation and its application”, ICCSIT 2010, ISBN 978-1-4244-5537-9
- [Esw-13] T. Eswari, V. Vanitha, "A novel rule based intrusion detection framework for Wireless Sensor Networks", ICICES 2013, ISBN 978-1-4673-5786-9
- [Fek-07] S.P. Fekete, A. Kroller, S. Fischer, D. Pfisterer, "Shawn: The fast, highly customizable sensor network simulator", INSS 2007, ISBN: 1-4244-1231-5
- [Gal-08] E. Galli, G. Cavarreta, S. Tucci, "HLA-OMNET++: An HLA Compliant Network Simulator", DS-RT 2008, ISBN: 978-0-7695-3425-1
- [Gao-10] K. Gao, C. Corbett, R. Benyah, „A Passive Approach to Wireless Device Fingerprinting”, IEEE/IFIP International Conference on Dependable Systems and Networks, 2010, ISBN 978-1-4244-7500-1
- [Gao-11] H. Gao, J. Hu, T. Huang, J. Wang, Y. Chen, „Security Issues in Online Social Networks”, IEEE Internet Computing, Volume 15, Issue 4, ISSN 1089-7801
- [Gau-13] N. Gaurha, D. Mishra, P. Trivedi, "Data Security in Distributed System Using Fully Homomorphic Encryption and Linear", CSNT 2013, ISBN: 978-1-4673-5603-9
- [Goe-09] Shikha Goel, Sudesh Kumar, "An Improved Method of Detecting Spoofed Attack in Wireless LAN", NetCom - First International Conference on Networks and Communications, 978-0-7695-3924-9/09, 2009
- [Gon-07] M.E. Gonzalez, "A Generalized Packet Traffic Simulator for 4G Network Dimensioning Tools", VTC 2007, ISBN: 1-4244-0266-2
- [Gup-10] M. Gupta, S. Malhotra, „Comparison of Security Issues in Wireless Networks”, ICSTE 2010, ISBN 978-1-4244-8667-0
- [Hos-07] H. Hossain, M. Ahmed, A. Al-Nayeem, T.Z. Islam, M.M. Akbar, "Gpnoctsim - A General Purpose Simulator for Network-On-Chip", ICICT 2007, ISBN: 984-32-3394-8
- [STD-802.11] 802.11-1997 - IEEE Standard for Information Technology - Telecommunications and Information Exchange Between Systems-Local and Metropolitan Area Networks-Specific Requirements-Part 11: Wireless LAN Medium Access Control (MAC) and Physical Layer (PHY) Specifications
- [Ish-01] H. Ishihashi, N.Yamai, K. Abe, T. Matsura, „A Protection Method against Unauthorized Access and Address Spoofing for Open Network Access Systems”, IEEE, 2001
- [Jan-08] S. Jana, and S.K. Kaser, "On Fast and Accurate Detection of Unauthorized Wireless Access Points Using Clock Skews", *MobiCom '08, September 14-19, 2008, San Francisco, California, USA*, ACM 978-1-60558-096-8
- [Jan-10] S. Jana, S.K. Kaser, „On Fast and Accurate Detection Of Unauthorized Wireless Access Points Using Clock-Skews”, Mobile Computing, IEEE Transactions on (Volume 9, Issue 3), 2010, ISSN 1536-1233

- [Kal-12] D. Kalbande, C. Shah, A. Nigam, P. Kothawade, „Integrating ERP to accelerate business process agility: A case study and critical research review in Indian pharmaceutical industry”, ICCICT 2012, ISBN 978-1-4577-2077-2
- [Kuf-13] L. Kufel, "Security Event Monitoring in a Distributed Systems Environment", IEEE Security and Privacy, Volume 11, Issue 1
- [Kum-12] A. Kumar, S.K. Kaushik, R. Sharma, P. Raj, "Simulators for Wireless Networks: A Comparative Study", ICCS 2012, ISBN: 978-1-4673-2647-6
- [Lan-12] F. Lanze, A. Panchenko, B. Braatz, A. Zinnen, „Clock Skew Based Remote Device Fingerprinting Demystified”, GLOBECOM 2012, ISBN: 978-1-4673-0920-2
- [Lee-90] C.C. Lee „Fuzzy Logic in Control Systems: Fuzzy Logic Controller.I”, IEEE Transactions on Systems, Man and Cybernetics, Volume 20, Issue 2, 1990, ISSN: 0018-9472
- [Liq-06] Q. Li, W. Trappe, „Relationship-based Detection of Spoofing-related Anomalous Traffic in Ad Hoc Networks”, IEEE Secon 2006 Proceedings, 1-4244-0626-9
- [Loh-08] D.C.C Loh, C. Y. Cho, C. P. Tan, R. S. Lee, „Identifying Unique Devices through Wireless Fingerprinting, ACM, WiSec 2008, 978-1-59593-814-5
- [Mam-77] E.H. Mamdani, „Application of Fuzzy Logic to Approximate Reasoning Using Linguistic Synthesis”, IEEE Transactions on Computers, Volume C-26, Issue 12, 1977, ISSN: 0018-9340
- [Mar-08] A. Martinez, U. Zurutuza, R. Uribeetxeberria, M. Fernandez, J. Iizarraga, A. Serna, I. Velez, „Beacon Frame Spoofing Attack Detection in IEEE 802.11 Networks”, ARES 2008, ISBN 978-0-7695-3102-1
- [MatW] MathWorks, Fuzzy Logic Toolbox
<http://www.mathworks.com/products/fuzzy-logic/>
- [Mel-09] F. Melakessou, T. Engel, "Network Traffic Simulator 2.0: Simulating the internet traffic", OSSC 2009, ISBN: 978-1-4244-4452-6
- [Mie-10] A. Miede, N. Nedyalkov, C. Gottron, A. Konig, N. Repp, R. Steinmetz, "A Generic Metamodel for IT Security Attack Modeling for Distributed Systems", ARES 2010, ISBN: 978-1-4244-5879-0
- [Mil-12] V. Miletic, B. Mikac, M. Dzanko, "Modelling optical network components: A network simulator-based approach", BIHTEL 2012, ISBN: 978-1-4673-4875-1
- [Moh-10] H.S. Mohan, A.R. Reddy, „An Effective Defense against Distributed Denial of Service in Grid”, ICIIC 2010, ISBN 978-1-4244-7963-4
- [Nag-10] V. Nagarajan, V. Arasan, D. Huang, „Using Power Hopping to Counter MAC Spoof Attacks in WLAN”, IEEE CCNC 2010 Proceedings, 978-1-4244-5176-0
- [Nak-12] K. Nakajima, T. Hieda, I. Taniguchi, H. Tomiyama, H. Takada, "A Fast Network-on-Chip Simulator with QEMU and SystemC", ICNC 2012, ISBN: 978-1-4673-4624-5
- [Nao-10] L. Nagowah, M.H.Domun, M. Umar IbnWaliyullah, "The network simulator of tomorrow - JNS", ICCSIT 2010, ISBN: 978-1-4244-5537-9
- [Nat-12] S. Natarajan, T. Wolf, „Security Issues in Network Virtualization for the Future Internet”, ICNC 2012, ISBN 978-1-4673-0008-7
- [NetP] Hewlet Packard Co., Netperf: A Network Performance Benchmark”,
<http://www.netperf.org>
- [Nis-05] R. Nishi, H. Morioka, K. Sakurai, „Trends and Issues for Security of Home-Network Based on Power Line Communication”, AINA 2005, ISBN 0-7695-2249-1

- [Nis-09] T. Nishioka, Y. Sakumoto, H. Osaki, M. Imase, "Design and Implementation of Flow-Level Simulator for a Network with Heterogeneous Flows", SAINT-09, ISBN: 978-1-4244-4776-3
- [Oht-11] M. Ohta, Y. Kanda, K. Fukuda, T. Sugawara, „Analysis of Spoofed IP Traffic Using Time-to-Live and Identification Fields in IP Headers”, WANA 2011, ISBN 978-1-61284-829-7
- [Pin-13] A.K. Pinnaka, D. Tharashasank, V.S.K. Reddy, "Cost performance analysis of intrusion detection system in mobile wireless ad-hoc network", IACC 2013, ISBN 978-1-4673-4527-9
- [Pop-11] F. Pop, A. Arcalianu, C. Dobre, V. Cristea, "Enhanced security for monitoring services in large scale distributed systems", ICCP 2011, ISBN: 978-1-4577-1479-5
- [Pua-11] Somnuk Puangpronpitag and Atthapol Suwannasa, "A Design of Egress NAC using an Authentication Visa Checking mechanism to Protect against MAC Address Spoofing Attacks", ECTI 2011, ISBN: 978-1-4577-0425-3
- [Raz-13] A. Razzaq, A. Hur, H. Ahmad, M. Masood, "Cyber security: Threats, reasons, challenges, methodologies and state of the art solutions for industrial applications", ISADS 2013, 978-1-4673-5069-3
- [Reh-12] A. Rehman, S.M. Bilal, M. Othman, "A performance comparison of open source network simulators for wireless networks", ICCSCE 2012, ISBN: 978-1-4673-3142-5
- [Rit-08] N. Rittammanart, W. Wongyued, M.N. Dailey, „ERP application development frameworks: Case study and evaluation”, ECTI-CON 2008, ISBN 978-1-4244-2101-5
- [Sas-09] E.C. Sasu, O. Proştean, V. Groza, „MSHOSIM – A Tool for Mobile Station Handover Simulation”, SACI 2009, ISBN: 978-1-4244-4478-6
- [Sas-10a] E.C. Sasu, O. Proştean, „Using Constant Traffic to Specific IP Destinations for Detecting Spoofed MAC Addresses in Local Area Networks”, ICCCONTI 2010, ISBN: 978-1-4244-7431-8
- [Sas-10b] E.C. Sasu, O. Proştean, Voicu Groza, „Proving the Efficiency of DTF Method in a Local Area Network”, ICCCONTI 2010, ISBN: 978-1-4244-7431-8
- [Sas-12a] E.C. Sasu, O. Proştean, „Testing DTF Method for Applicability in a Real Environment”, SACI 2012, ISBN: 978-1-4673-1011-6
- [Sas-12b] E.C. Sasu, O. Proştean, „Network Simulation for MAC Spoofing Detection, using DTF Method”, SACI 2012, ISBN: 978-1-4673-1011-6
- [Sas-12c] E.C. Sasu, O. Proştean, „Using Fuzzy Logic to Determine If the Traffic Is Constant or Not in DTF Method”, SOFA 2012, ISBN: 978-3-642-33940-0
- [Sas-12d] E.C. Sasu, „Mathematical Model and Formalization for DTF Method”, SOFA 2012, ISBN: 978-3-642-33940-0
- [Sar-13] V. Saravanan, A. Neeraja, „Security Issues in Computer Networks and Stenography”, ISCO 2013, ISBN 978-1-4673-4359-6
- [Sha-12] S.K. Sharma, P. Pandey, S. Trwari, M.S. Sisodia, "An improved network intrusion detection technique based on k-means clustering via Naïve bayes classification", ICAESM 2012, ISBN 978-1-4673-0213-5
- [She-08] Y. Sheng, K. Tan, G. Chen, D. Kotz, A. Campbell, „Detecting 802.11 MAC Layer Spoofing Using Received Signal Strength”, 978-1-4244-2026-1, IEEE 2008
- [Som-10] R. Sommer, V. Paxon, "Outside the Closed World: On Using Machine Learning for Network Intrusion Detection", IEEE Symposium on Security and Privacy, 2010, ISBN 978-1-4244-6894-2

- [Tan-03] Andrew Tanenbaum, „Computer Networks, Fourth Edition”, Prentice Hall, 2003, ISBN 0-13-066102-3
- [Vuc-11] M. Vucicevic, A. Miljkovic, I. Papp, D. Samardzija, "Event driven wireless network simulator", TELFOR 2011, ISBN: 978-1-4577-1499-3
- [Wan-07] H. Wang, C. Jin, K. Shin, „Defense Against Spoofed IP Traffic Using Hop-Count Filtering”, IEEE/ACM TRANSACTIONS ON NETWORKING, VOL. 15, NO. 1, FEBRUARY 2007
- [Wan-08] S.Y. Wang, C.C. Lin, "NCTUns 5.0: A Network Simulator for IEEE 802.11(p) and 1609 Wireless Vehicular Network Researches", VTC 2008, ISBN: 978-1-4244-1721-6
- [Wax-11] M.C. Waxman, "Cyber-Attacks and the Use of Force: Back to the Future of Article 2(4)", ale Journal of International Law, Vol. 36, 2011
- [Woo-13] S. Woo, J. On, M. Lee, "Behaviour Ontology: A Framework to Detect Attack Patterns for Security", WAINA 2013, 978-1-4673-6239-9
- [Wri-03] Joshua Wright, „Detecting Wireless LAN MAC Address Spoofing”, GCIH, CCNA, 2003
- [Xia-10] G. Xiaoqing, G. Hebin, C. Luyi, "Network intrusion detection method based on Agent and SVM", ICIME 2010, ISBN 978-1-4244-5263-7
- [Xin-11] H. Xinyi, X. Yang, A. Chonka, Z. Jianying, R.H. Deng, "A Generic Framework for Three-Factor Authentication: Preserving Security and Privacy in Distributed Systems", IEEE Transactions on Parallel and Distributed Systems, Volume 22, Issue 8, ISSN: 1045-9219
- [Yan-11] Q. Yanzen, Y. Weiwen, "Improving the security of the distributed enterprise data warehouse system", ISI 2011, ISBN: 978-1-4577-0082-8
- [Zad-62] L.A. Zadeh, „General System Theory”, IRE Transactions on Education, Volume 5, Issue 2, 1962, ISSN 0893-7141
- [Zad-94] L.A. Zadeh, „The role of Fuzzylogic in modeling, identification and control”, Modeling, Identification and Control, Volume 15, Issue 3, 1994
- [Zad-96] L.A. Zadeh, „Fuzzy Logic = computing with words”, IEEE Transactions on Fuzzy Systems, Volume 4, Issue 2, 1996, ISSN 1063-6706
- [Zad-05] L.A. Zadeh, „The concept of a generalized constraint - a bridge from natural languages to mathematics”, IEEE International Workshop on Intelligent Signal Processing, 2005, ISBN 0-7803-9030-X
- [Zad-07] L.A. Zadeh, „A New Frontier in Computation-Computation with Information Described in Natural Language”, IEEE International Workshop on Intelligent Signal Processing, 2007, ISBN 978-1-4244-0829-0
- [Zha-09] X. Zhaoyong, „The Research of ERP Development Based on Network Era”, IFITA 2009, ISBN 978-0-7695-3600-2
- [Zha-12] X. Zhao, "Research on the network intrusion detection method introduced with the view of quantum optimization", FNCES 2012, ISBN 978-1-4673-5033-4

Anexe.

A1. Rezultate obținute pe parcursul stagiului doctoral

Lucrări publicate ca prim autor în cadrul unor conferințe ISI

- Emanuel Ciprian Sasu, Octavian Proștean, „Mathematical Model and Formalization for DTF Method”, 5th International Workshop on Soft Computing Applications, August 22-24, 2012, Szeged – Hungary, pg 391-402, ISBN 978-3-642-33940-0
- Emanuel Ciprian Sasu, Octavian Proștean, „Using Fuzzy Logic to Determine If the Traffic Is Constant or Not in DTF Method”, 5th International Workshop on Soft Computing Applications, August 22-24, 2012, Szeged – Hungary, pg 117-128, ISBN 978-3-642-33940-0
- Emanuel Ciprian Sasu, Octavian Proștean, Voicu Groza, „MSHOSIM – A Tool for Mobile Station Handover Simulation”, 5th International Symposium on Applied Computational Intelligence and Informatics, May 28-29, 2009, Timisoara – Romania, pg 363-367, ISBN 978-1-4244-4478-6

Lucrări publicate ca prim autor în cadrul unor conferințe BDI

- Emanuel Ciprian Sasu, Octavian Proștean, „Network Simulation for MAC Spoofing Detection, using DTF Method”, IEEE 7th International Symposium on Applied Computational Intelligence and Informatics, May 24-26, 2012, Timisoara – Romania, pg 291-296, ISBN 978-1-4673-1011-6
- Emanuel Ciprian Sasu, Octavian Proștean, „Testing DTF Method for Applicability in a Real Environment”, IEEE 7th International Symposium on Applied Computational Intelligence and Informatics, May 24-26, 2012, Timisoara – Romania, pg 285-289, ISBN 978-1-4673-1011-6
- Emanuel Ciprian Sasu, Octavian Proștean, Voicu Groza, „Proving the Efficiency of DTF Method in a Local Area Network”, IEEE International Joint Conferences on Computational Cybernetics and Technical Informatics, May 27-29, 2010, Timisoara – Romania, pg 683-687, ISBN 978-1-4244-7431-8
- Emanuel Ciprian Sasu, Octavian Proștean, „Using Constant Traffic to Specific IP Destinations for Detecting Spoofed MAC Addresses in Local Area Networks”, IEEE International Joint Conferences on Computational Cybernetics and Technical Informatics, May 27-29, 2010, Timisoara – Romania, pg 677-681, ISBN 978-1-4244-7431-8